



# Nuevas Aplicaciones de la L-Serina Hidroximetiltransferasa y la Benzaldehído Liasa en Síntesis Orgánica

Karel Hernández Sánchez



Aquesta tesi doctoral està subjecta a la llicència [Reconeixement- CompartIgual 3.0. Espanya de Creative Commons](#).

Esta tesis doctoral está sujeta a la licencia [Reconocimiento - CompartirIgual 3.0. España de Creative Commons](#).

This doctoral thesis is licensed under the [Creative Commons Attribution-ShareAlike 3.0. Spain License](#).

# **Nuevas Aplicaciones de la L-Serina Hidroximetiltransferasa y la Benzaldehído Liasa en Síntesis Orgánica.**

Instituto de Química Avanzada de Cataluña (IQAC).

Consejo Superior de Investigaciones Científicas (CSIC).

Facultad de Farmacia, Universidad de Barcelona. Departamento de  
Bioquímica y Biología Molecular. Programa de Biotecnología.

**Karel Hernández Sánchez  
2014**

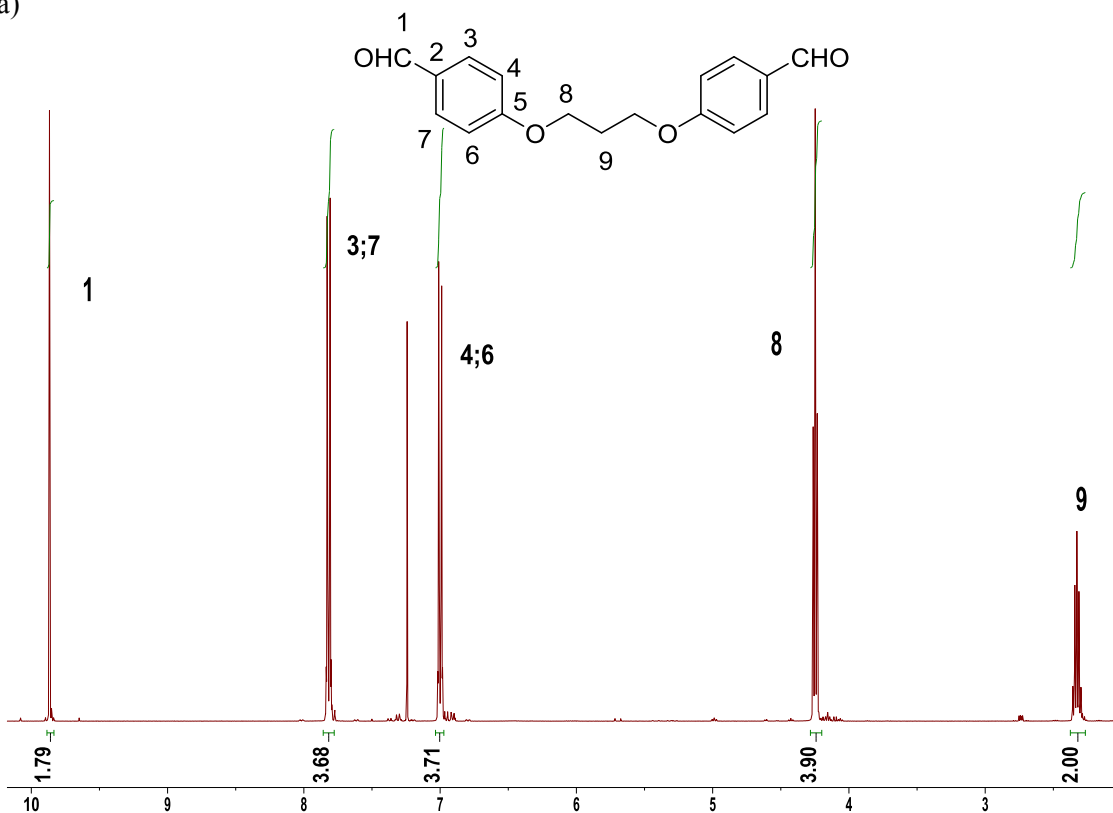
**Contenido**

<b>Figura1S(3.3)</b> Espectros de RMN( $\text{CDCl}_3$ ) de <b>17ab</b> :a) $^1\text{H}$ y b) $^{13}\text{C}$ .....	3
<b>Figura2S(3.3)</b> Espectros de RMN( $\text{CDCl}_3$ ) de <b>17ac</b> :a) $^1\text{H}$ y b) $^{13}\text{C}$ .....	4
<b>Figura3S(3.3)</b> Espectros de RMN( $\text{CDCl}_3$ ) de <b>17ad</b> :a) $^1\text{H}$ y b) $^{13}\text{C}$ .....	5
<b>Figura4S(3.3)</b> Espectros de RMN ( $\text{CDCl}_3$ ) de <b>17ae</b> :a) $^1\text{H}$ y b) $^{13}\text{C}$ .....	6
<b>Figura5S(3.3)</b> Espectros de RMN( $\text{CDCl}_3$ ) de <b>17af</b> :a) $^1\text{H}$ y b) $^{13}\text{C}$ .....	7
<b>Figura6S(3.3)</b> Espectros de RMN ( $\text{CDCl}_3$ ) de <b>17bb</b> :a) $^1\text{H}$ y b) $^{13}\text{C}$ . .....	8
<b>Figura7S(3.3)</b> Espectros de RMN ( $\text{CDCl}_3$ ) de <b>17bc</b> :a) $^1\text{H}$ y b) $^{13}\text{C}$ .....	9
<b>Figura9S(3.3)</b> Espectros de RMN ( $\text{CDCl}_3$ ) de <b>17be</b> :a) $^1\text{H}$ y b) $^{13}\text{C}$ .....	11
<b>Figura10S(3.3)</b> Espectros de RMN ( $\text{CDCl}_3$ ) de <b>17ca</b> :a) $^1\text{H}$ y b) $^{13}\text{C}$ .....	12
<b>Figura11S(3.3)</b> Espectros de RMN( $\text{CDCl}_3$ ) de <b>17cb</b> :a) $^1\text{H}$ y b) $^{13}\text{C}$ .....	13
<b>Figura12S(3.3)</b> Espectros de RMN( $\text{CDCl}_3$ ) de <b>17cc</b> :a) $^1\text{H}$ y b) $^{13}\text{C}$ .....	14
<b>Figura13S(3.3)</b> Espectros de RMN ( $\text{CDCl}_3$ ) de <b>18cb</b> : a) $^1\text{H}$ ; b) $^{13}\text{C}$ ; c) 2D $^1\text{H}$ - $^1\text{H}$ COSY; d) HSQC y e) HMBC.....	15
<b>Figura14S(3.3)</b> Espectros de RMN ( $\text{CDCl}_3$ ) de <b>21bb</b> : a) $^1\text{H}$ ; b) $^{13}\text{C}$ ; c) 2D $^1\text{H}$ - $^1\text{H}$ COSY; d) HSQC y e) HMBC.....	18
<b>Figura15S(3.3)</b> Espectros de RMN ( $\text{CDCl}_3$ ) de <b>21bc</b> : a) $^1\text{H}$ ; b) $^{13}\text{C}$ ; c) 2D $^1\text{H}$ - $^1\text{H}$ COSY; d) HSQC y e) HMBC.....	21
<b>Figura16S(3.3)</b> Espectros de RMN ( $\text{DMSO}-d_6$ ) de <b>22</b> : a) $^1\text{H}$ y b) $^{13}\text{C}$ .....	24
<b>Figura17S(3.3)</b> Espectros de RMN ( $\text{CDCl}_3$ ) de <b>24a</b> :a) $^1\text{H}$ y b) $^{13}\text{C}$ .....	25
<b>Figura18S(3.3)</b> Espectros de RMN( $\text{CDCl}_3$ ) de <b>24b</b> :a) $^1\text{H}$ y b) $^{13}\text{C}$ .....	26
<b>Figura19S(3.3)</b> Espectros de RMN ( $\text{CDCl}_3$ ) de <b>24c</b> : a) $^1\text{H}$ y b) $^{13}\text{C}$ .....	27
<b>Figura20S(3.3)</b> Espectros de RMN ( $\text{CDCl}_3$ ) de <b>24d</b> : a) $^1\text{H}$ y b) $^{13}\text{C}$ .....	28
<b>Figura21S(3.3)</b> Espectros de RMN( $\text{CDCl}_3$ ) de <b>26</b> : a) $^1\text{H}$ y b) $^{13}\text{C}$ .....	29
<b>Figura22S(3.3)</b> Espectros de RMN ( $\text{CDCl}_3$ ) de <b>28</b> : a) $^1\text{H}$ y b) $^{13}\text{C}$ .....	30
<b>Figura23S(3.3)</b> Espectros de RMN( $\text{CDCl}_3$ ) de <b>31</b> : a) $^1\text{H}$ y b) $^{13}\text{C}$ .....	31
<b>Figura24S(3.3)</b> Espectros de RMN ( $\text{CDCl}_3$ ) de <b>34</b> : a) $^1\text{H}$ y b) $^{13}\text{C}$ .....	32
<b>Figura25S(3.3)</b> Espectros de RMN( $\text{CDCl}_3$ ) de <b>38</b> : a) $^1\text{H}$ y b) $^{13}\text{C}$ .....	33
<b>Figura26S(3.3)</b> Espectros de RMN ( $\text{CDCl}_3$ ) de <b>42</b> : a) $^1\text{H}$ y b) $^{13}\text{C}$ .....	34
<b>Figura27S(3.3)</b> Espectros de RMN ( $\text{CDCl}_3$ ) de <b>46</b> : a) $^1\text{H}$ y b) $^{13}\text{C}$ .....	35
<b>Figura28S(3.3)</b> Espectros de RMN ( $\text{DMSO}-d_6$ ) de <b>51a</b> : a) $^1\text{H}$ y b) $^{13}\text{C}$ .....	36
<b>Figura29S(3.3)</b> Espectros de RMN( $\text{DMSO}-d_6$ ) de <b>51b</b> : a) $^1\text{H}$ y b) $^{13}\text{C}$ .....	37
<b>Figura30S(3.3)</b> Espectros de RMN ( $\text{CDCl}_3$ ) de <b>55</b> : a) $^1\text{H}$ y b) $^{13}\text{C}$ .....	38
<b>Figura31S(3.3)</b> Espectros de RMN ( $\text{CDCl}_3$ ) de <b>58</b> : a) $^1\text{H}$ y b) $^{13}\text{C}$ .....	39
<b>Figura32S(3.3)</b> Espectros de RMN ( $\text{CDCl}_3$ ) de <b>61a</b> : a) $^1\text{H}$ y b) $^{13}\text{C}$ .....	40

<b>Figura33S(3.3)</b> Espectros de RMN( $\text{CDCl}_3$ ) de <b>61b</b> : a) $^1\text{H}$ y b) $^{13}\text{C}$ .....	41
<b>Figura34S(3.3)</b> Espectros de RMN ( $\text{CDCl}_3$ ) de <b>67</b> : a) $^1\text{H}$ y b) $^{13}\text{C}$ .....	42
<b>Figura35S(3.3)</b> Espectros de RMN( $\text{CDCl}_3$ ) de <b>68</b> : a) $^1\text{H}$ ; b) $^{13}\text{C}$ ; c) 2D $^1\text{H}$ - $^1\text{H}$ COSY; d) HSQC y e) HMBC.....	43
<b>Figura36S(3.3)</b> Espectros de RMN( $\text{CDCl}_3$ ) de <b>69</b> : a) $^1\text{H}$ ; b) $^{13}\text{C}$ ; c) 2D $^1\text{H}$ - $^1\text{H}$ COSY; d) HSQC y e) HMBC.....	46
<b>Figura37S(3.3)</b> Espectros de RMN ( $\text{CDCl}_3$ ) de <b>70</b> : a) $^1\text{H}$ ; b) $^{13}\text{C}$ ; c) 2D $^1\text{H}$ - $^1\text{H}$ COSY; d) HSQC y e) HMBC.....	49
<b>Figura38S(3.3)</b> Espectros de RMN( $\text{CDCl}_3$ ) de <b>71e,f</b> : a) $^1\text{H}$ ; b) $^{13}\text{C}$ ; c) 2D $^1\text{H}$ - $^1\text{H}$ COSY; d) HSQC y e) HMBC.....	52
<b>Figura39S(3.3)</b> Espectros de RMN( $\text{CDCl}_3$ ) de <b>72e,f</b> : a) $^1\text{H}$ ; b) $^{13}\text{C}$ ; c) 2D $^1\text{H}$ - $^1\text{H}$ COSY; d) HSQC y e) HMBC.....	58
<b>Figura40S(3.3)</b> Espectros de RMN( $\text{CDCl}_3$ ) de <b>73e</b> : a) $^1\text{H}$ ; b) $^{13}\text{C}$ ; c) 2D $^1\text{H}$ - $^1\text{H}$ COSY; d) HSQC y e) HMBC.....	63
<b>Figura41S(3.3)</b> Espectros de RMN( $\text{CDCl}_3$ ) de <b>73f</b> : a) $^1\text{H}$ ; b) $^{13}\text{C}$ ; c) 2D $^1\text{H}$ - $^1\text{H}$ COSY; d) HSQC y e) HMBC.....	67

**Figura1S(3.3)** Espectros de RMN( $\text{CDCl}_3$ ) de **17ab**:a)  $^1\text{H}$  y b) $^{13}\text{C}$ .

a)



b)

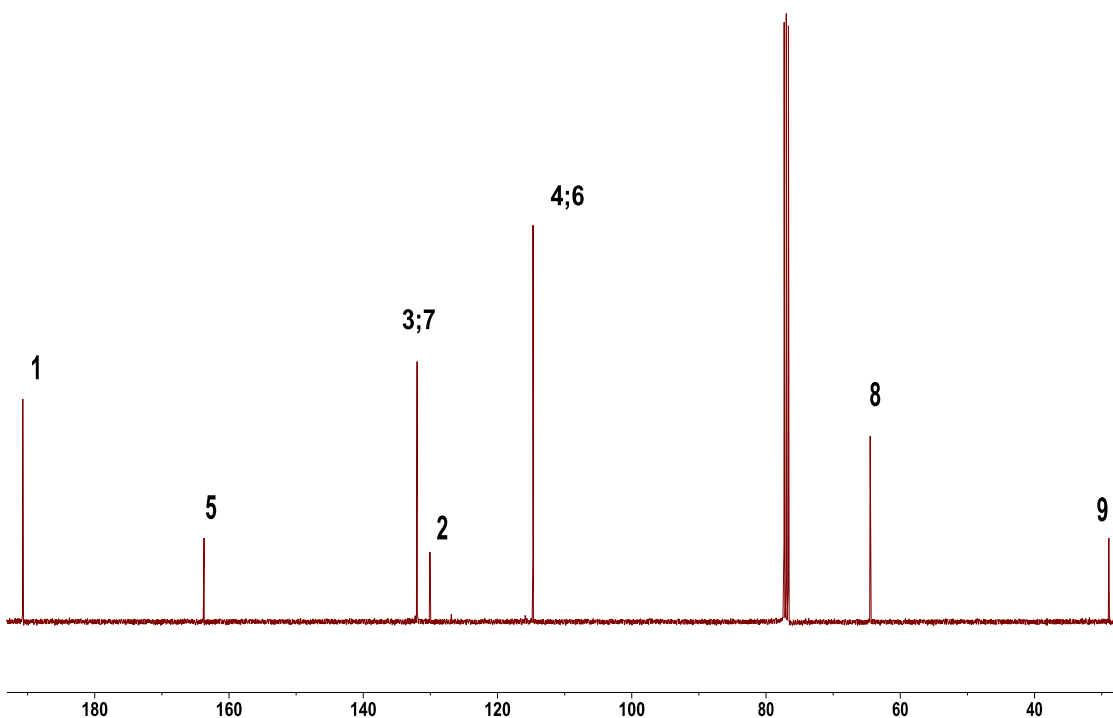
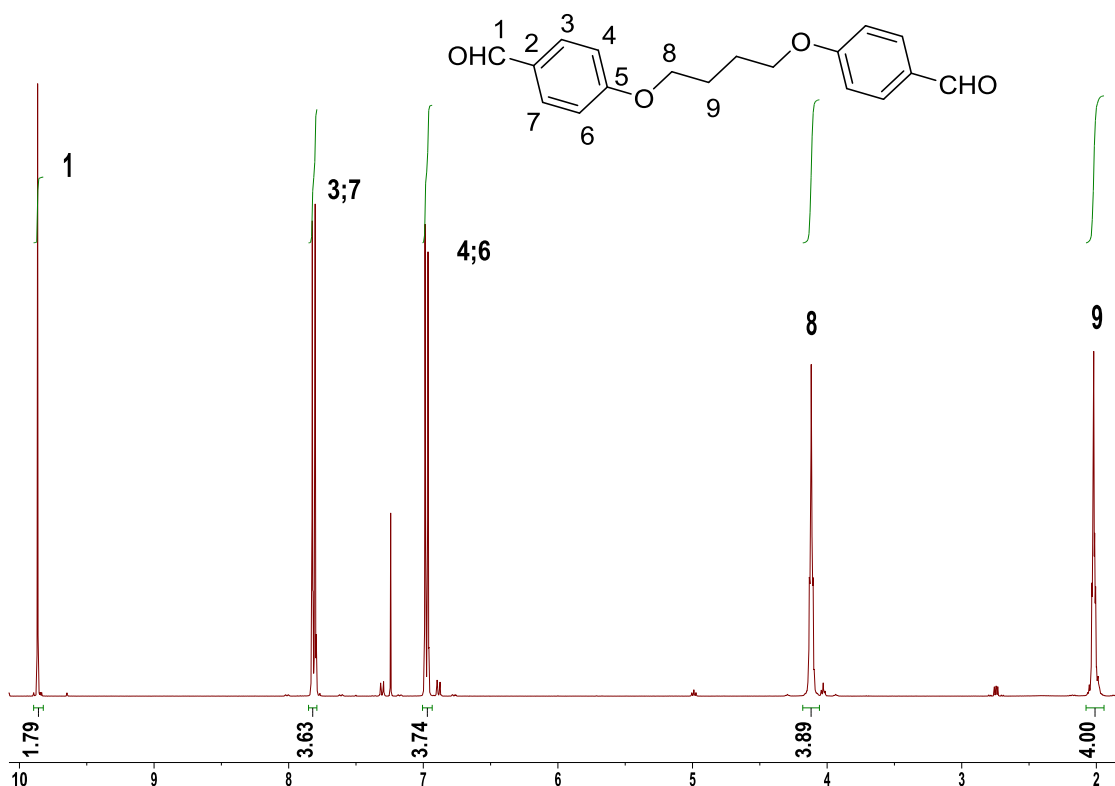
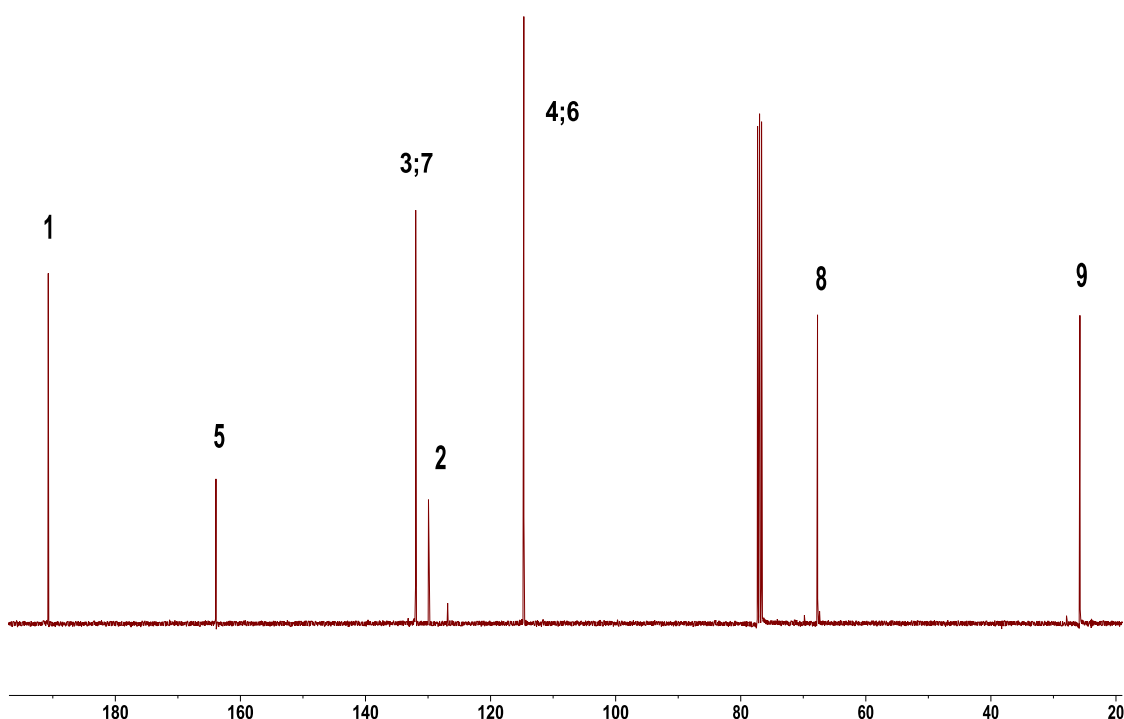


Figura2S(3.3) Espectros de RMN( $\text{CDCl}_3$ ) de **17ac**:a)  $^1\text{H}$  y b) $^{13}\text{C}$ .

a)

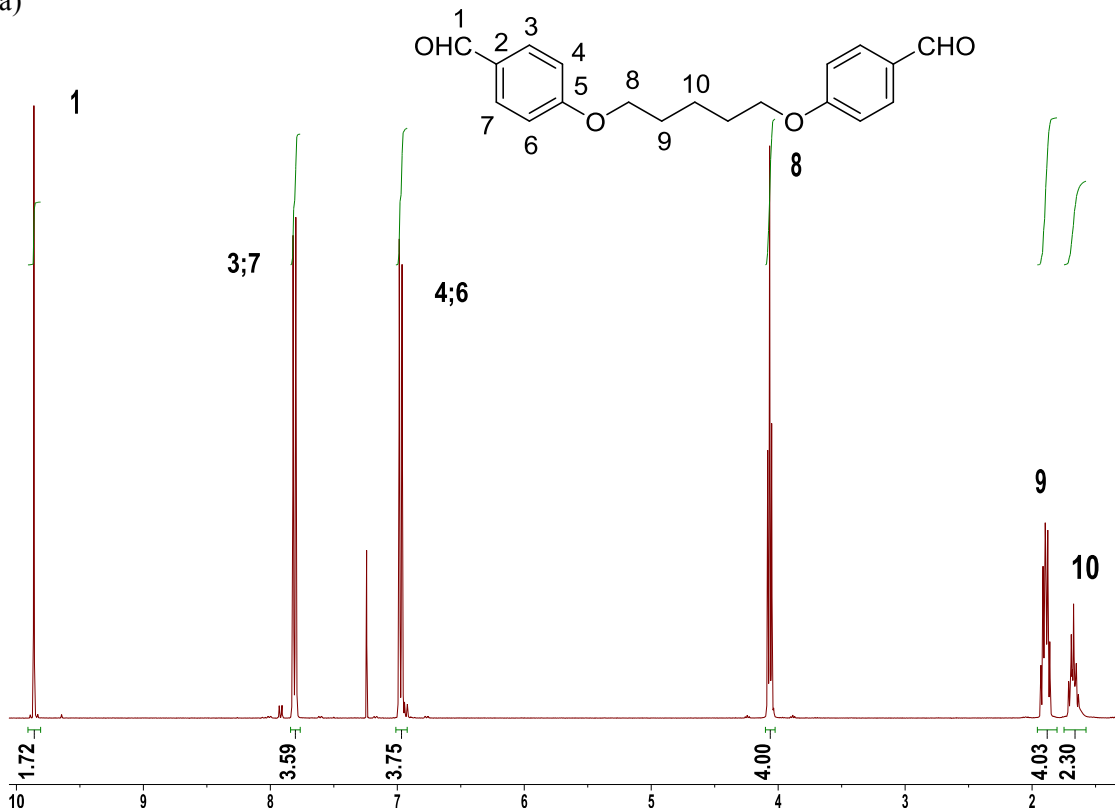


b)

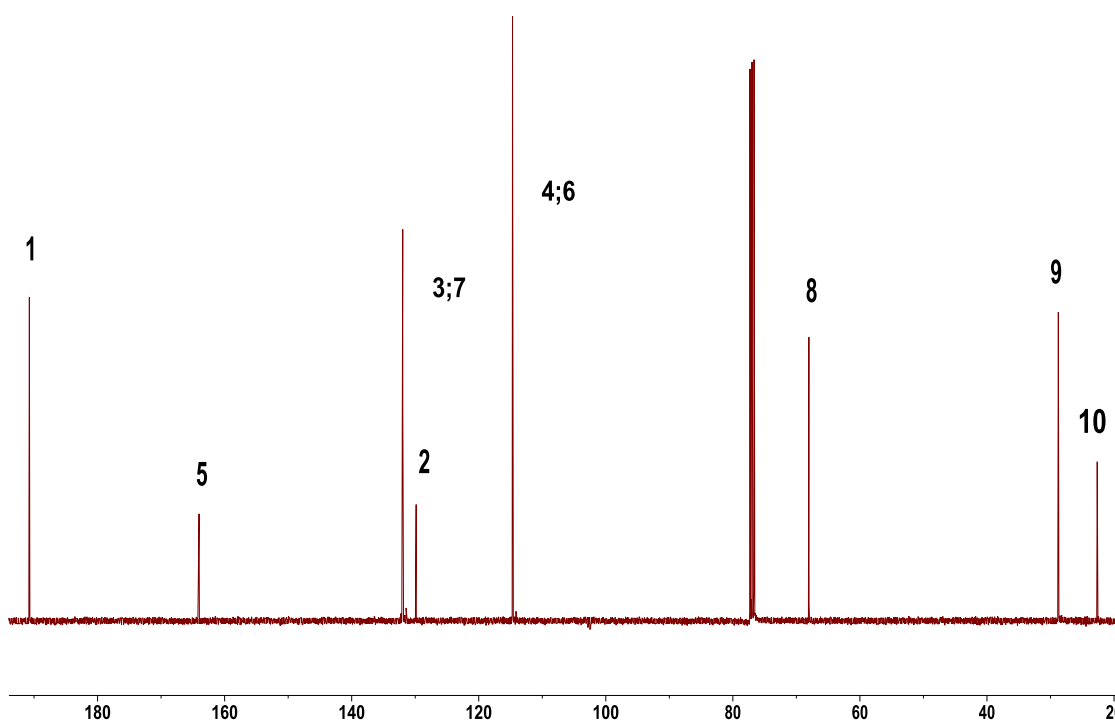


**Figura3S(3.3)** Espectros de RMN( $\text{CDCl}_3$ ) de **17ad**:a)  $^1\text{H}$  y b)  $^{13}\text{C}$ .

a)

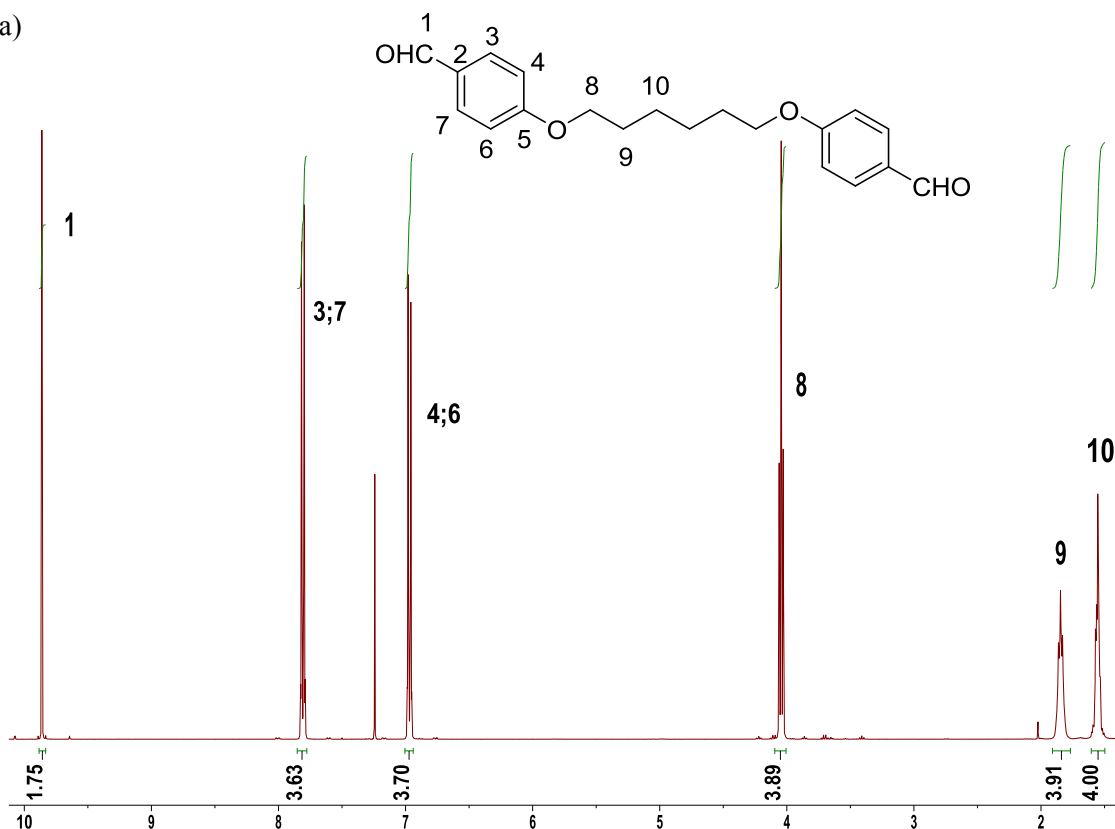


b)

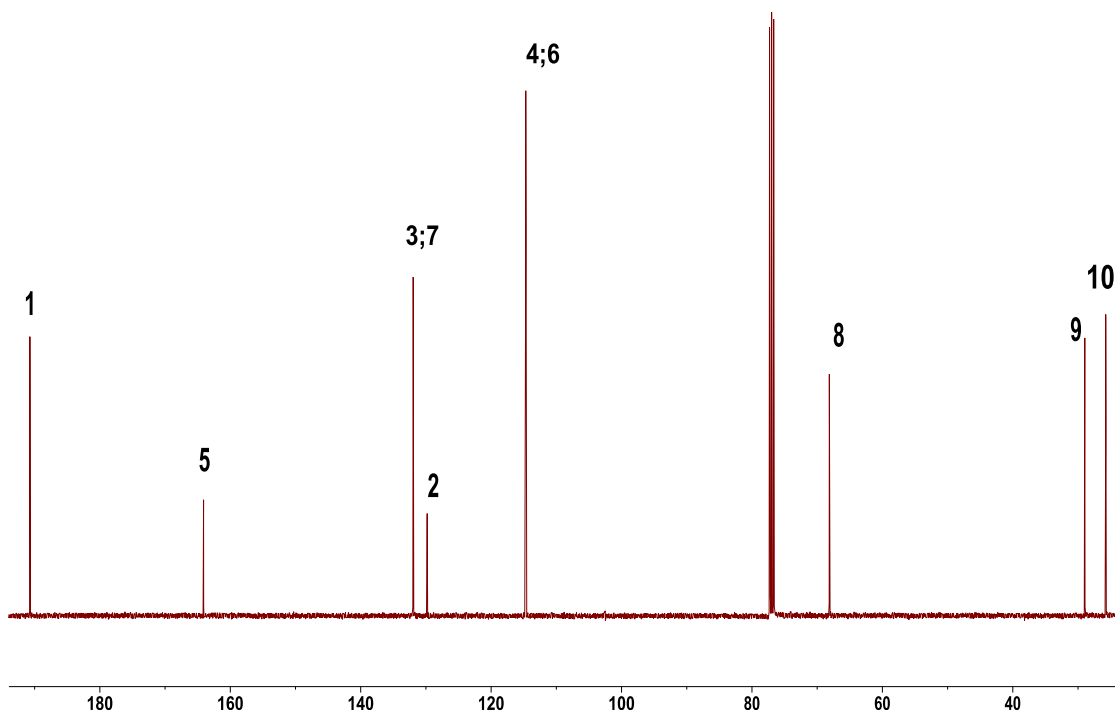


**Figura 4S(3.3)** Espectros de RMN ( $\text{CDCl}_3$ ) de **17ae**: a)  $^1\text{H}$  y b)  $^{13}\text{C}$ .

a)

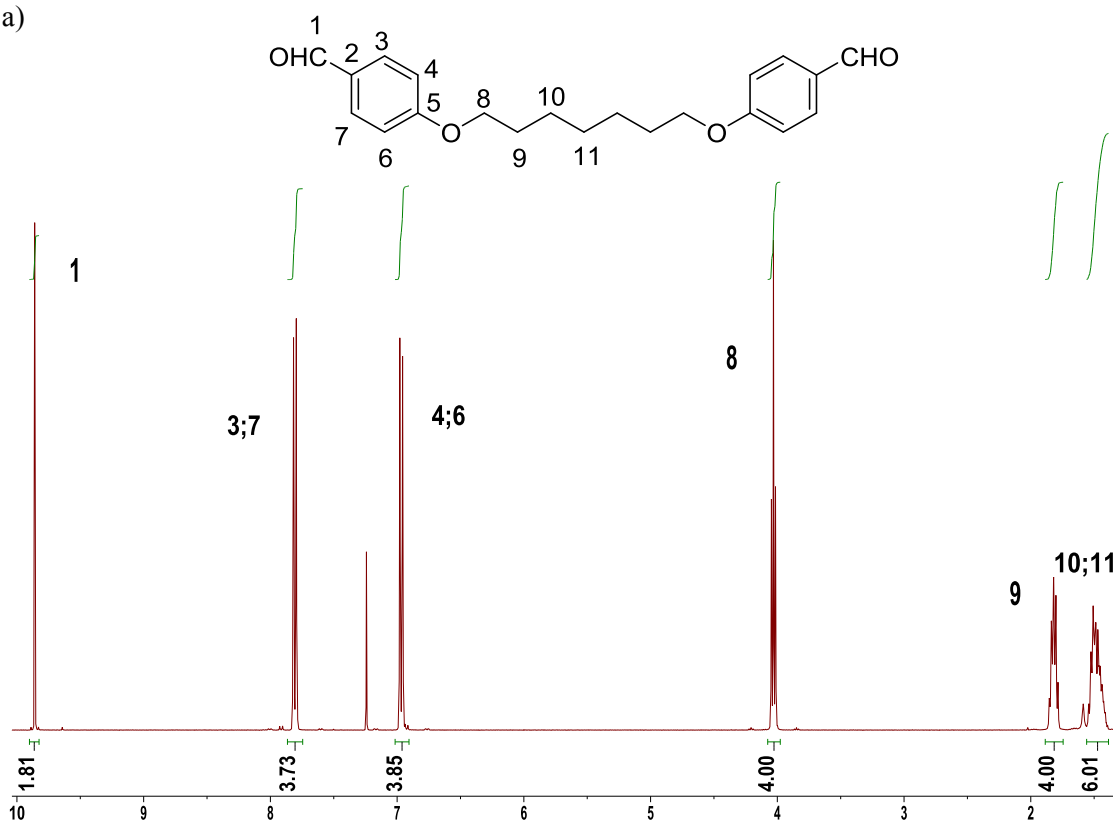


b)

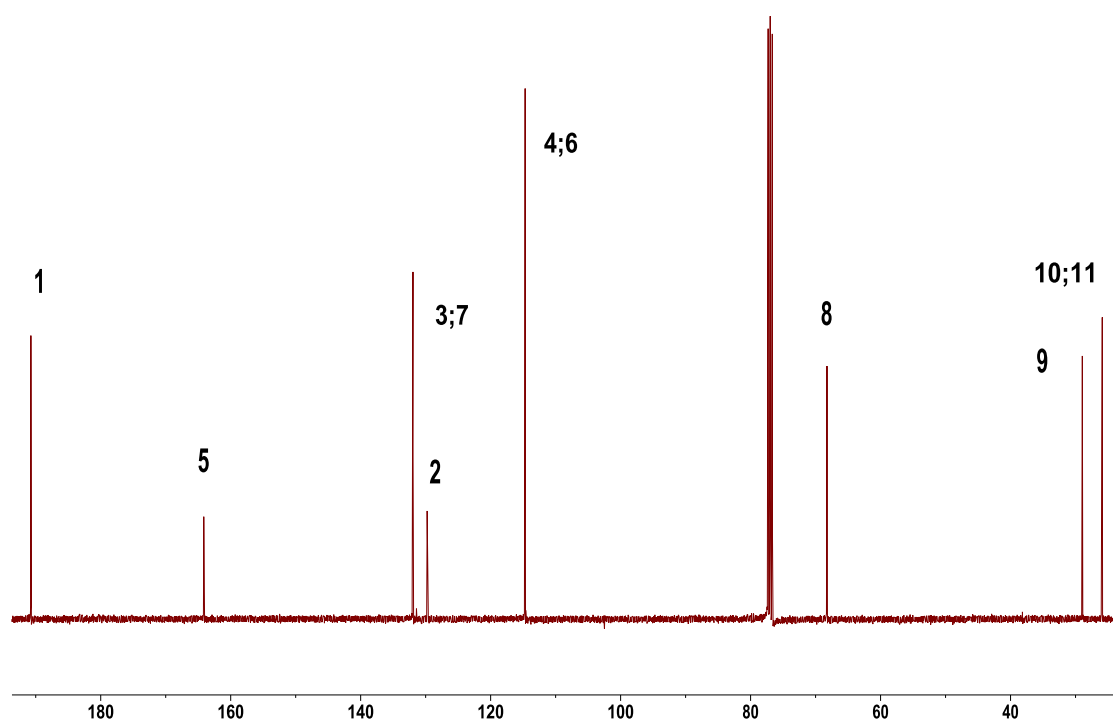


**Figura 5S(3.3)** Espectros de RMN( $\text{CDCl}_3$ ) de **17af**:a)  $^1\text{H}$  y b) $^{13}\text{C}$ .

a)

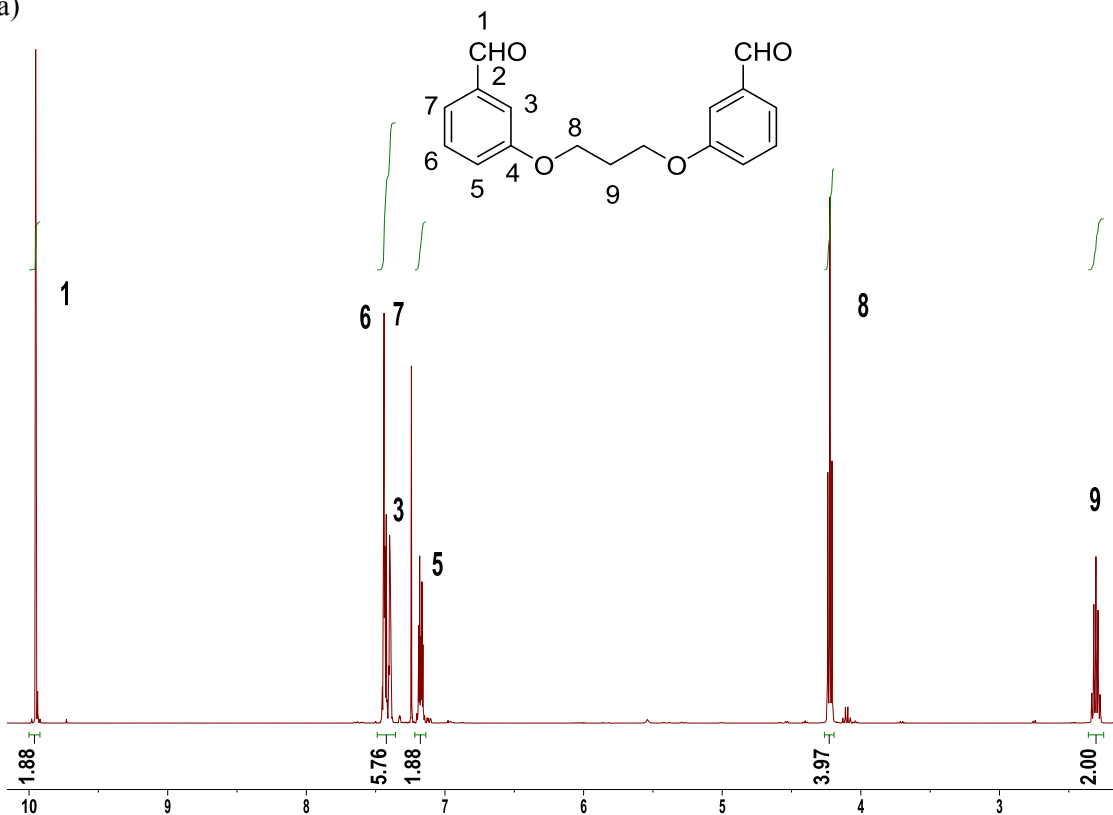


b)

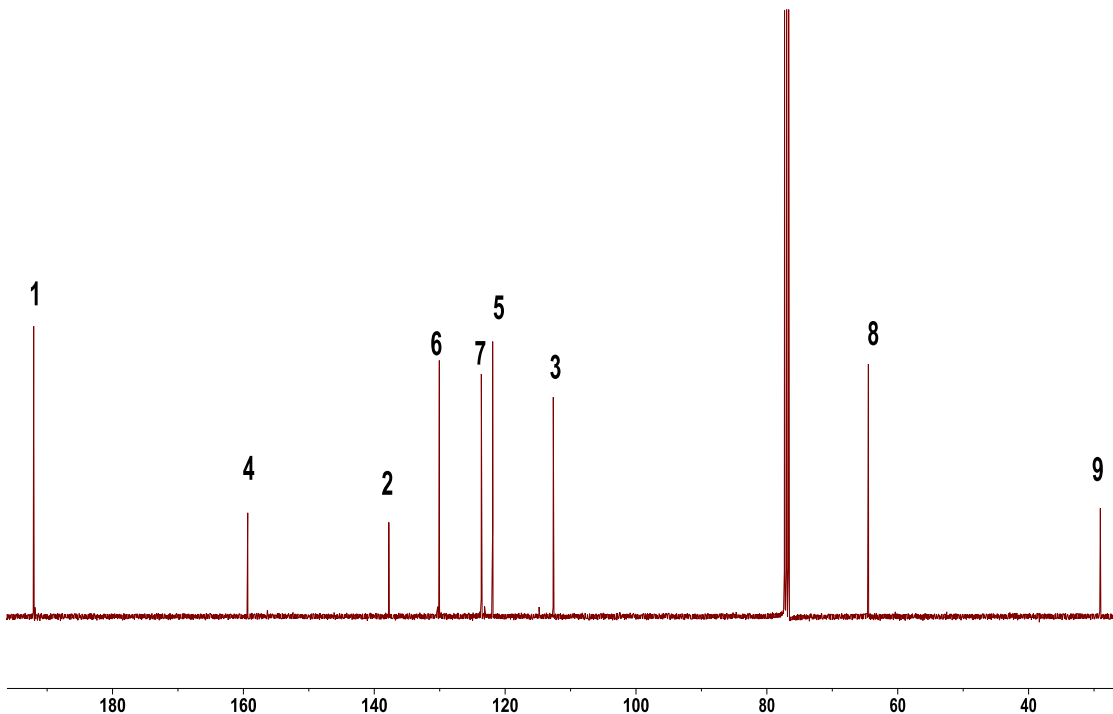


**Figura 6S(3.3)** Espectros de RMN ( $\text{CDCl}_3$ ) de **17bb**:a)  $^1\text{H}$  y b) $^{13}\text{C}$ .

a)

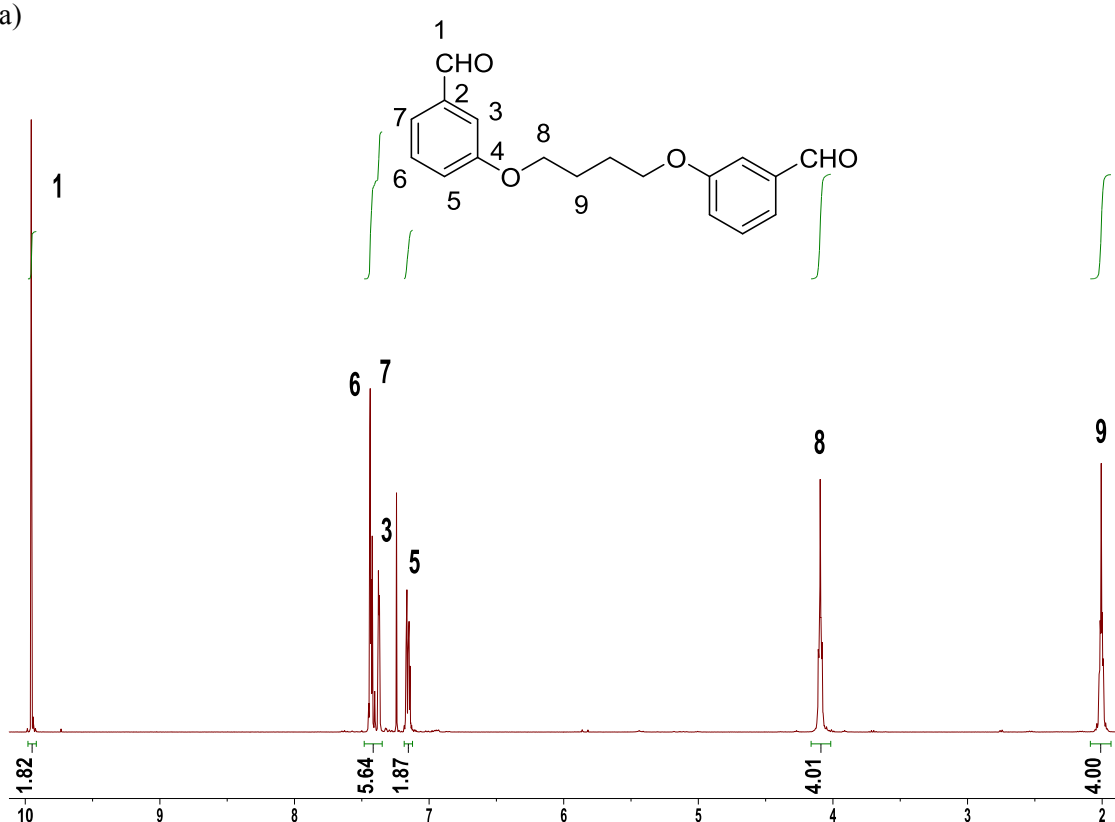


b)

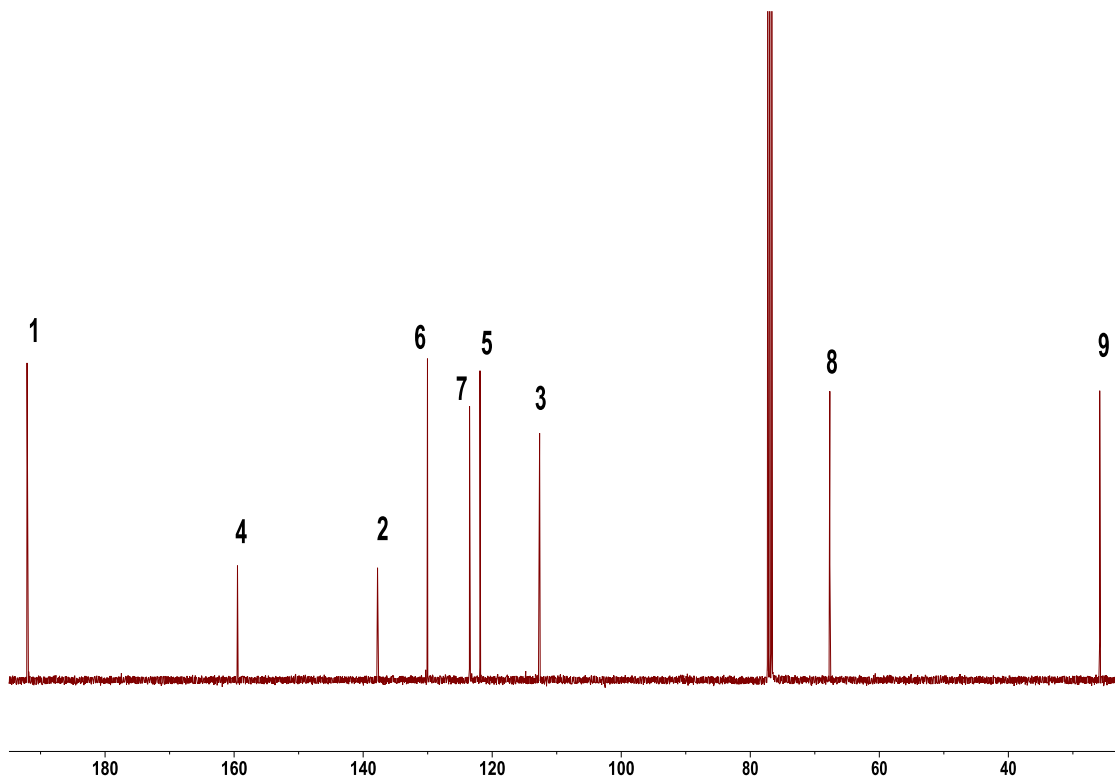


**Figura 7S(3.3)** Espectros de RMN ( $\text{CDCl}_3$ ) de **17bc**:a)  $^1\text{H}$  y b)  $^{13}\text{C}$ .

a)

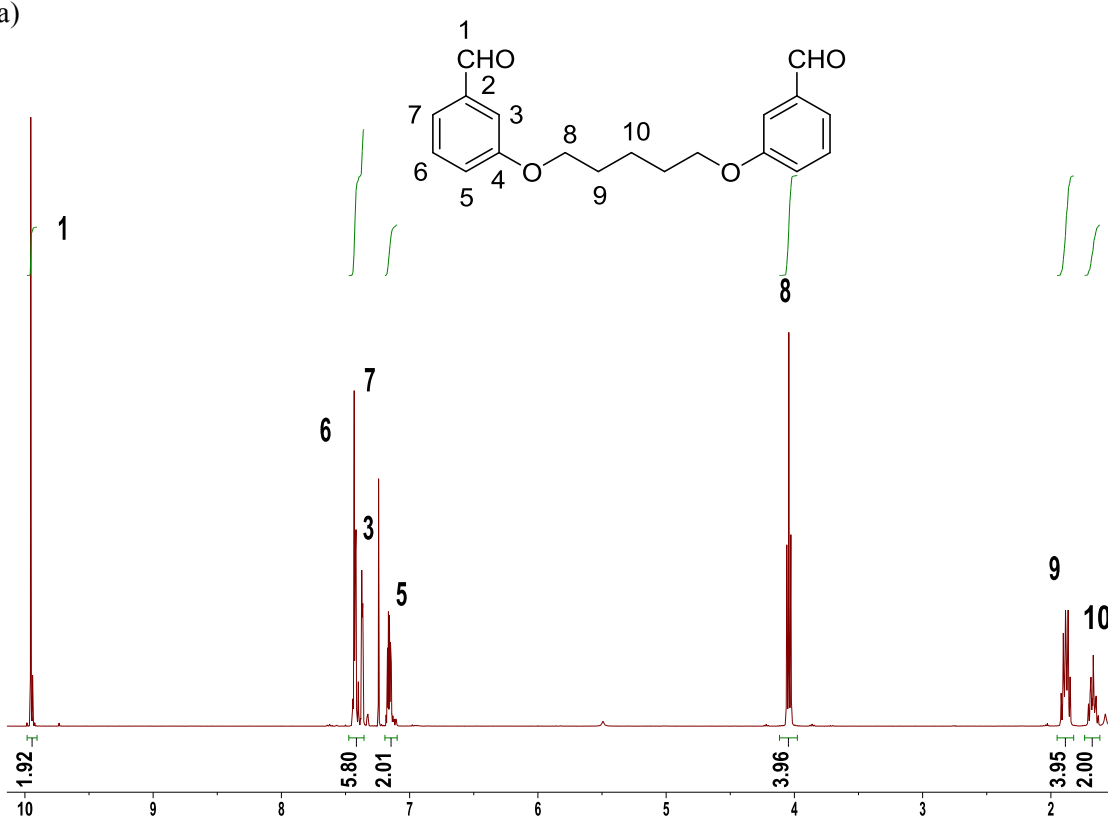


b)

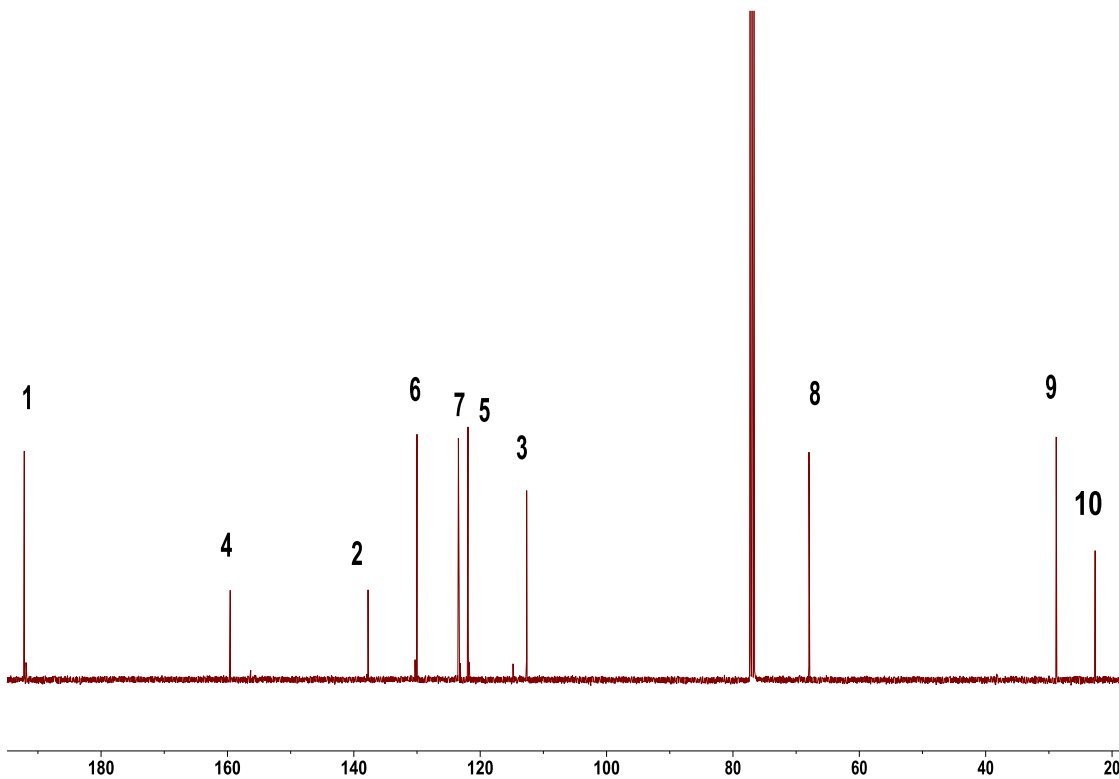


**Figura 8S(3.3)** Espectros de RMN ( $\text{CDCl}_3$ ) de **17bb**: a)  $^1\text{H}$  y b)  $^{13}\text{C}$ .

a)

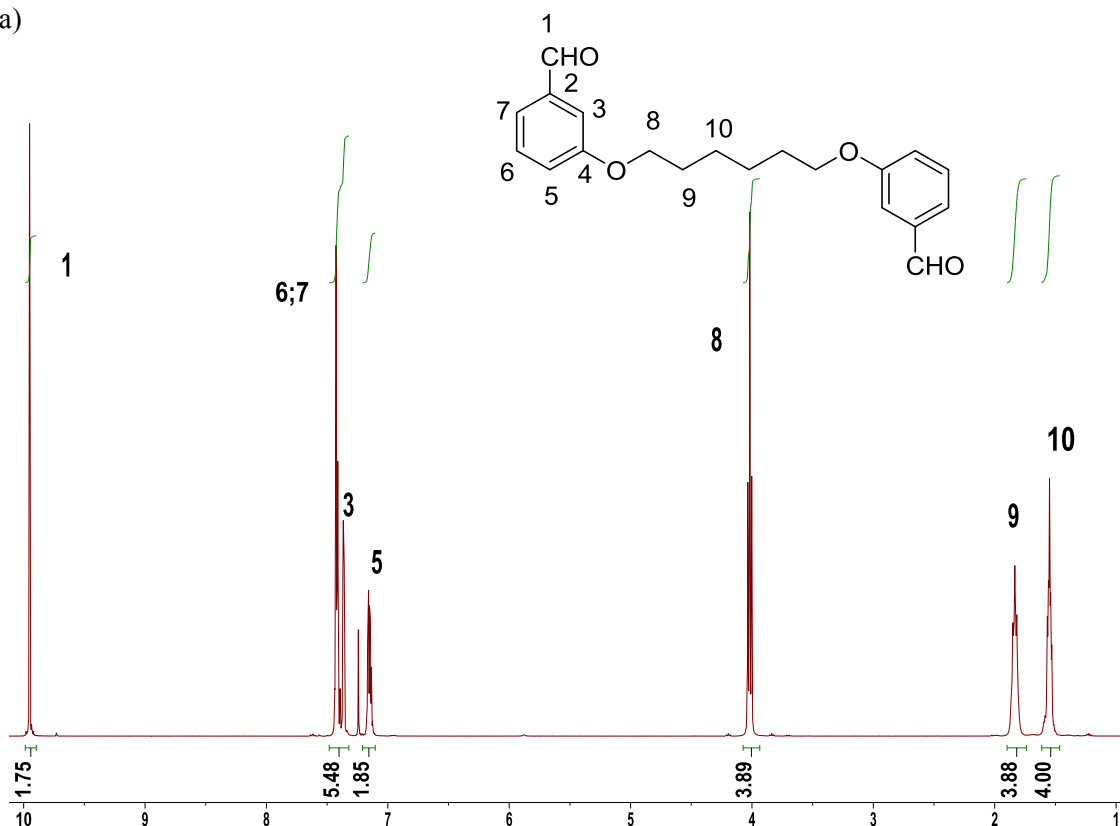


b)

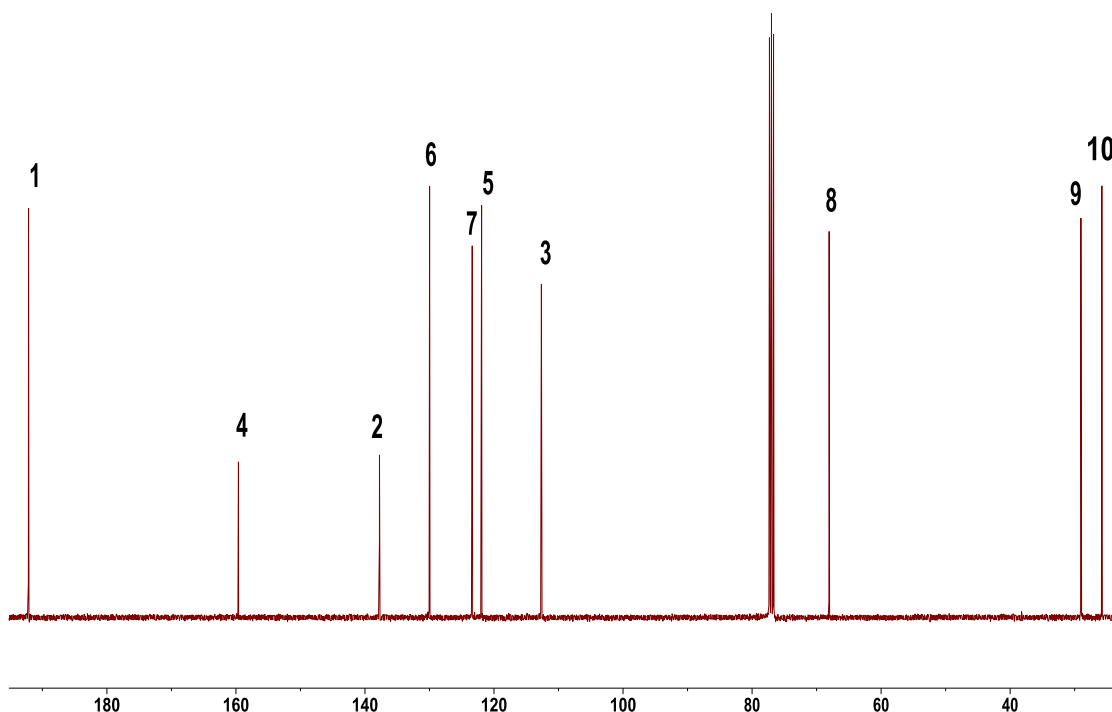


**Figura 9S(3.3)** Espectros de RMN ( $\text{CDCl}_3$ ) de **17be**: a)  $^1\text{H}$  y b)  $^{13}\text{C}$ .

a)

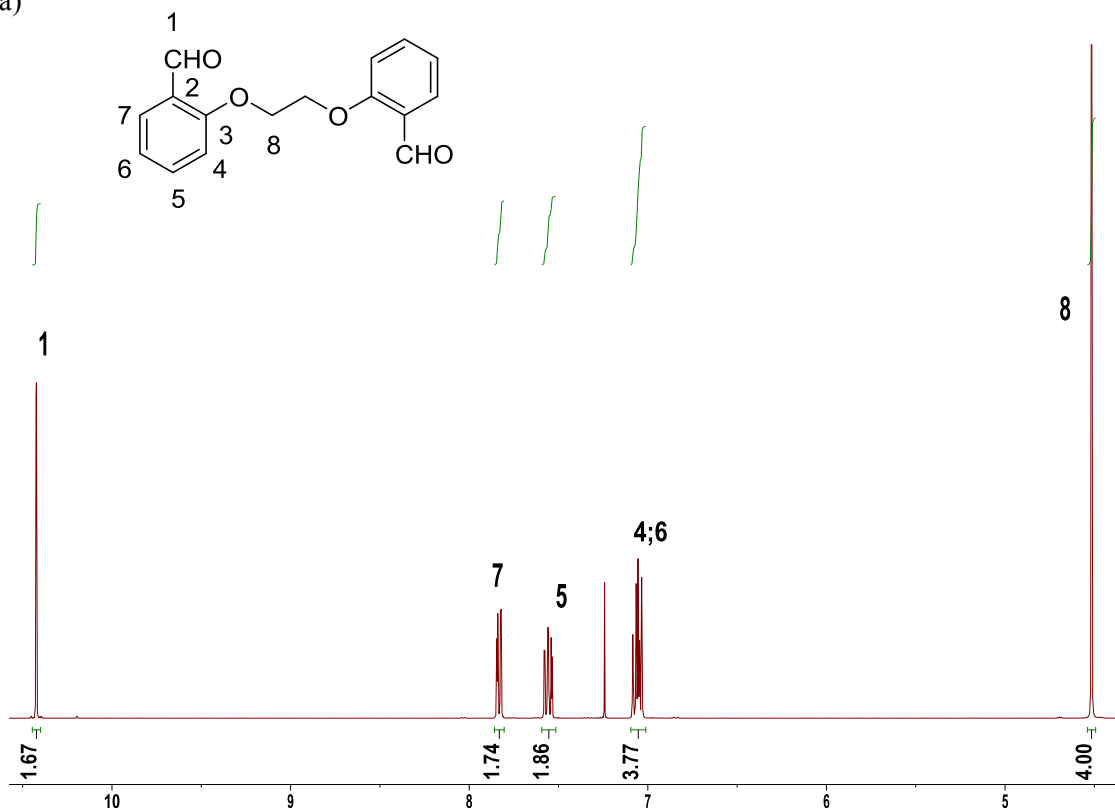


b)

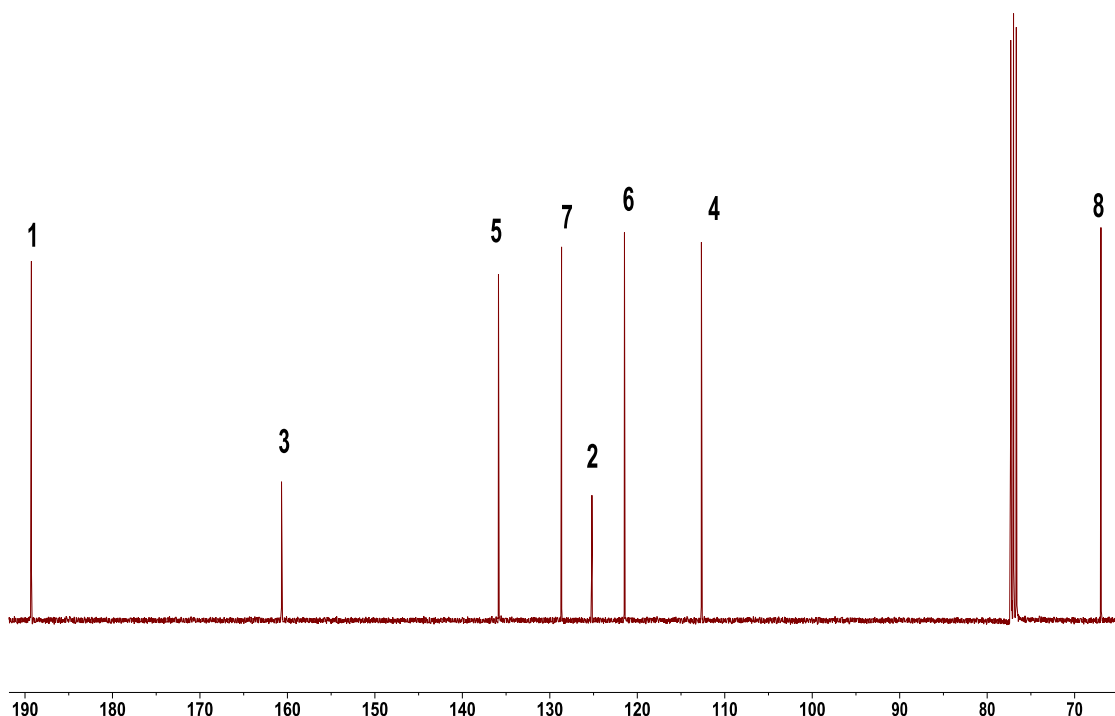


**Figura10S(3.3)** Espectros de RMN ( $\text{CDCl}_3$ ) de **17ca**:a)  $^1\text{H}$  y b) $^{13}\text{C}$ .

a)

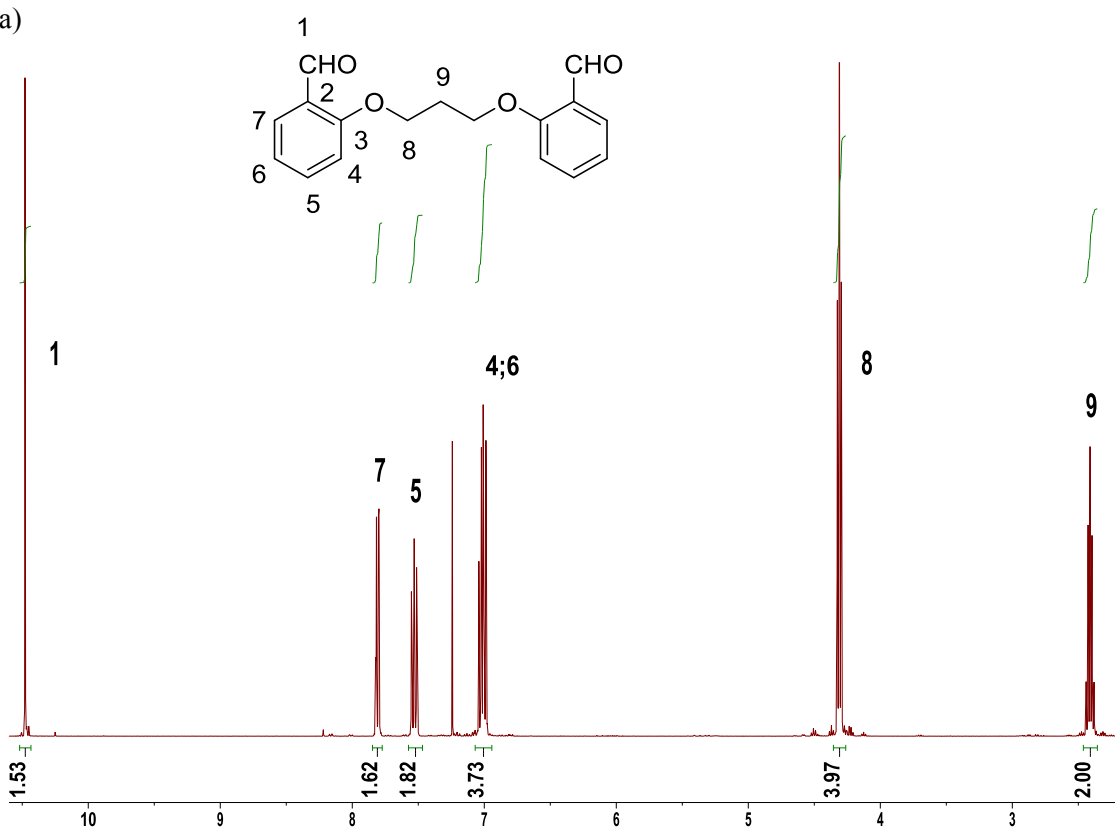


b)

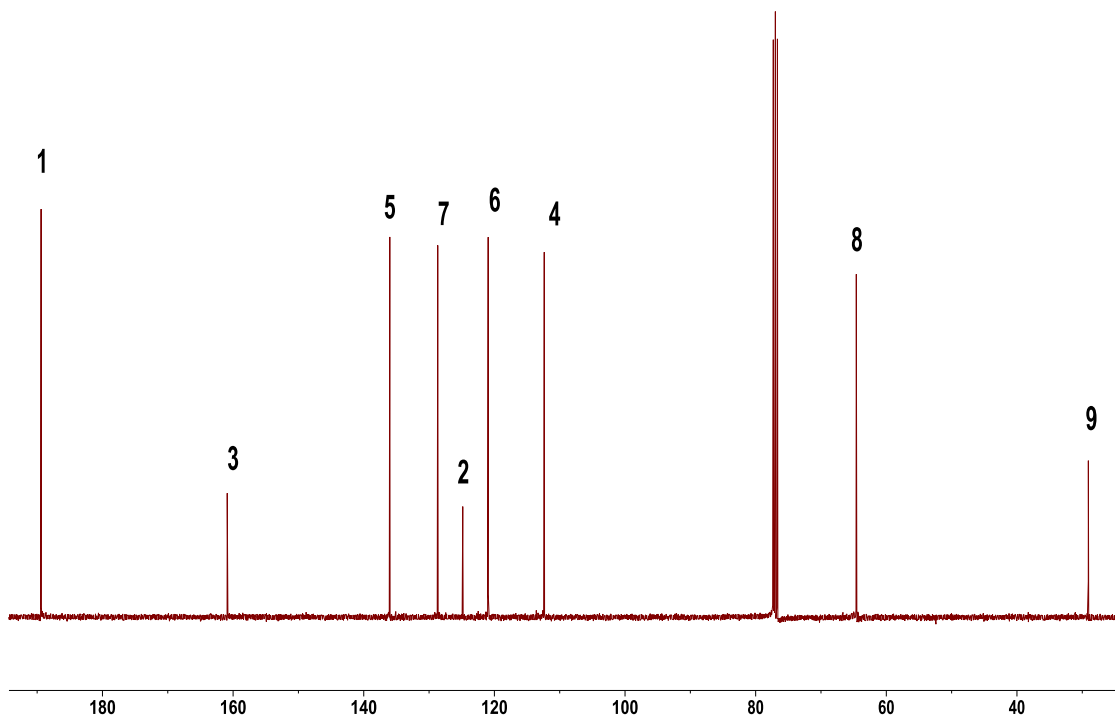


**Figura 11S(3.3)** Espectros de RMN( $\text{CDCl}_3$ ) de **17cb**: a)  $^1\text{H}$  y b)  $^{13}\text{C}$ .

a)

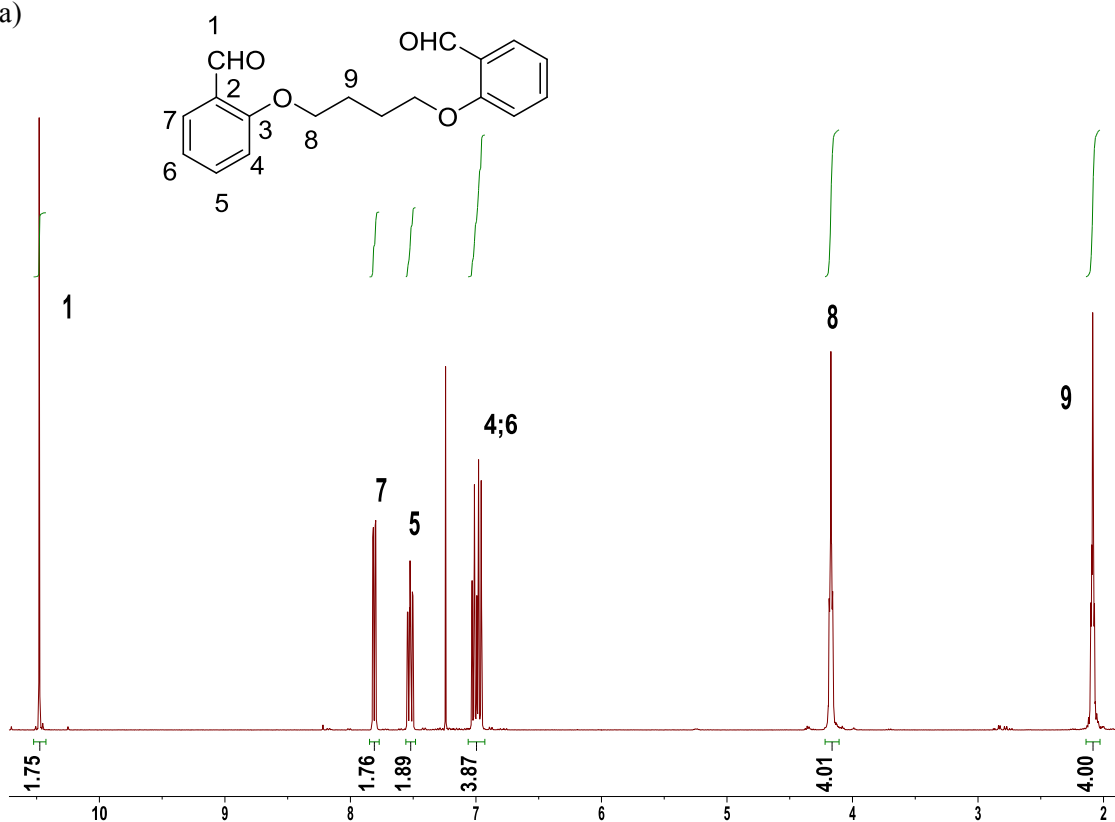


b)

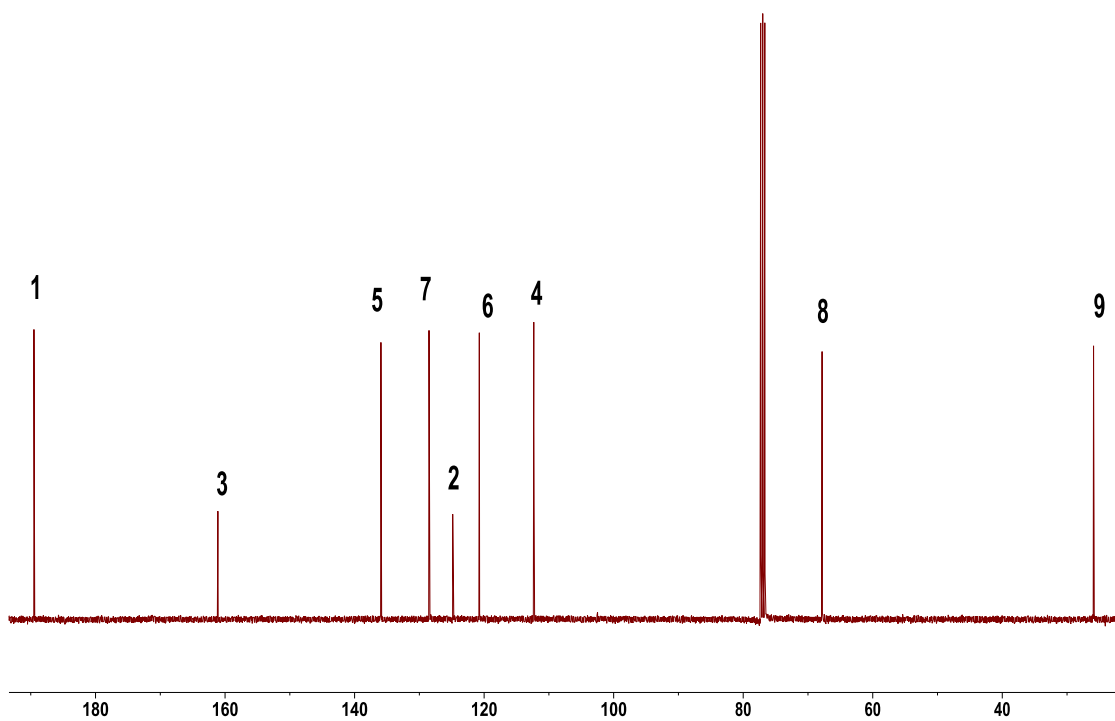


**Figura 12S(3.3)** Espectros de RMN( $\text{CDCl}_3$ ) de **17cc**: a)  $^1\text{H}$  y b)  $^{13}\text{C}$ .

a)

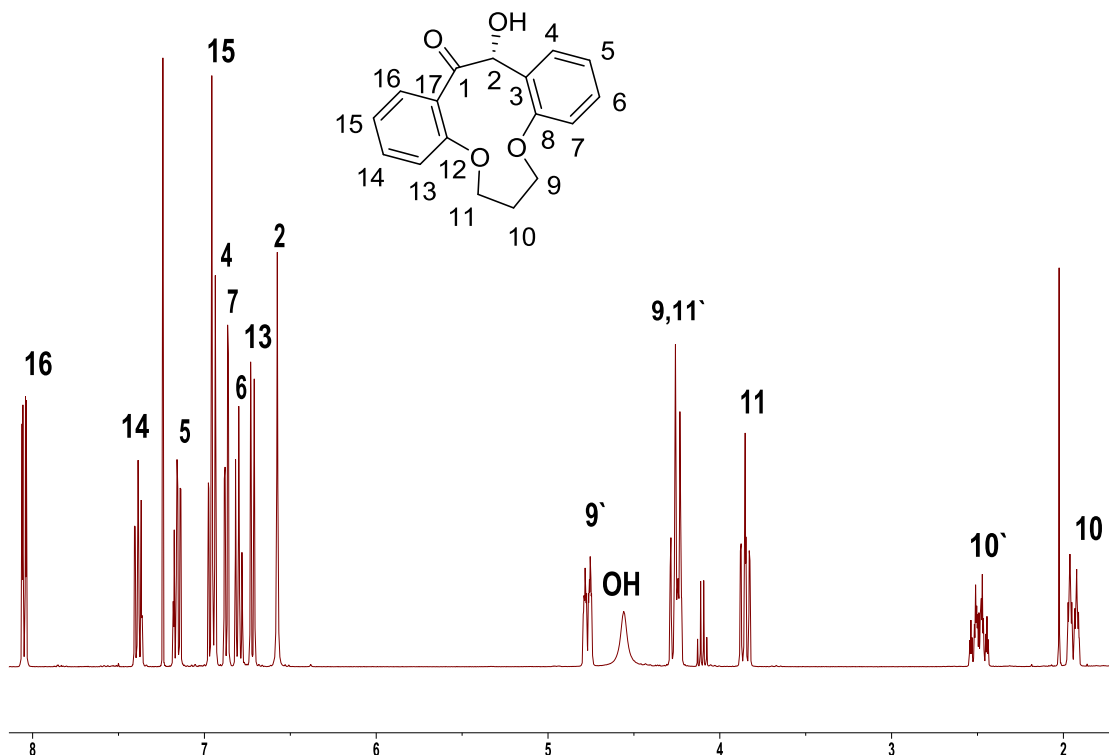


b)

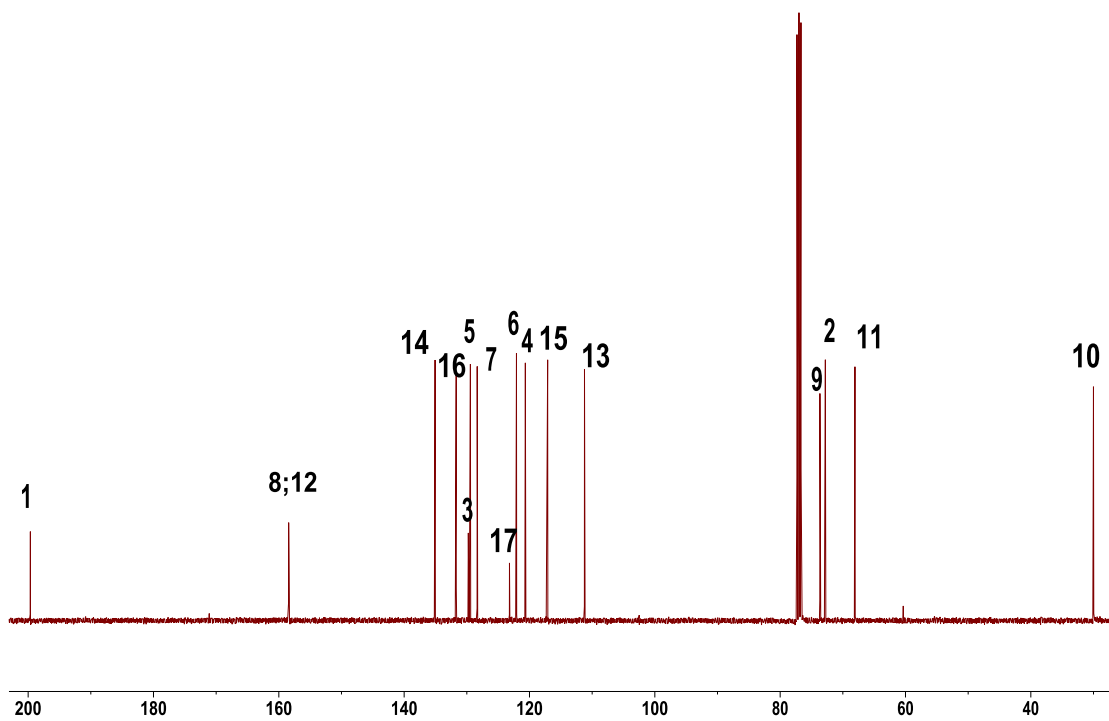


**Figura13S(3.3)** Espectros de RMN ( $\text{CDCl}_3$ ) de **18cb**: a)  $^1\text{H}$ ; b)  $^{13}\text{C}$ ; c) 2D  $^1\text{H}$ - $^1\text{H}$  COSY; d) HSQC y e) HMBC.

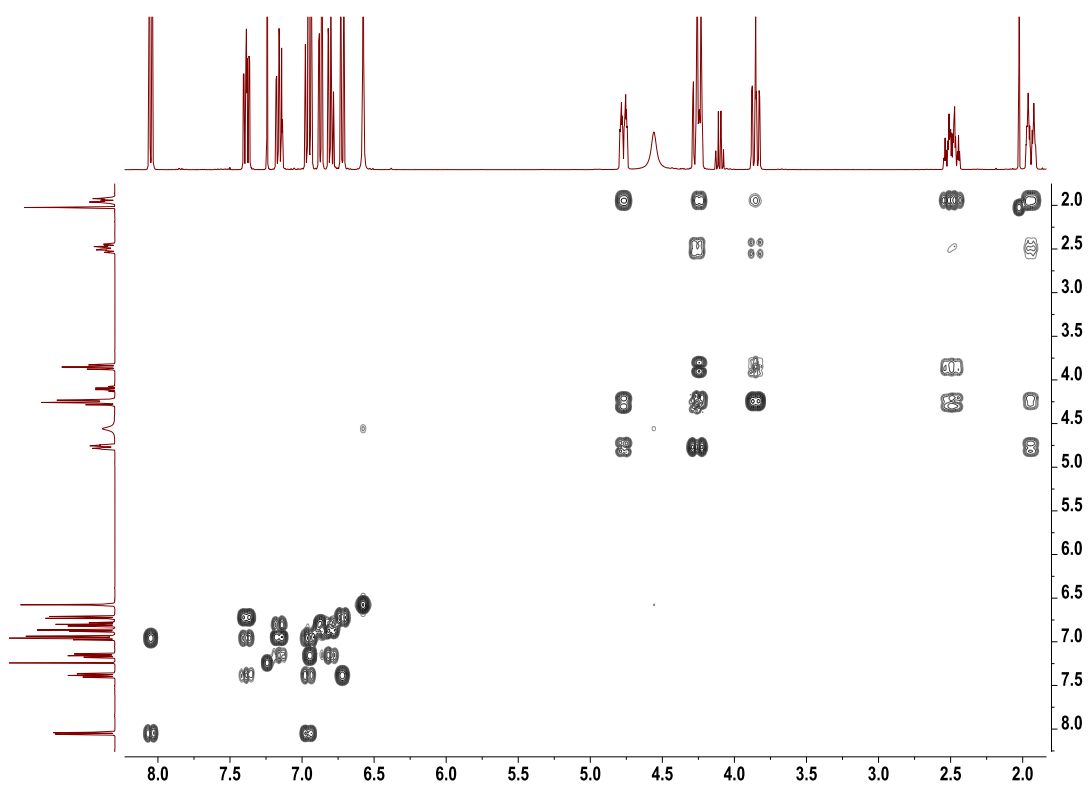
a)



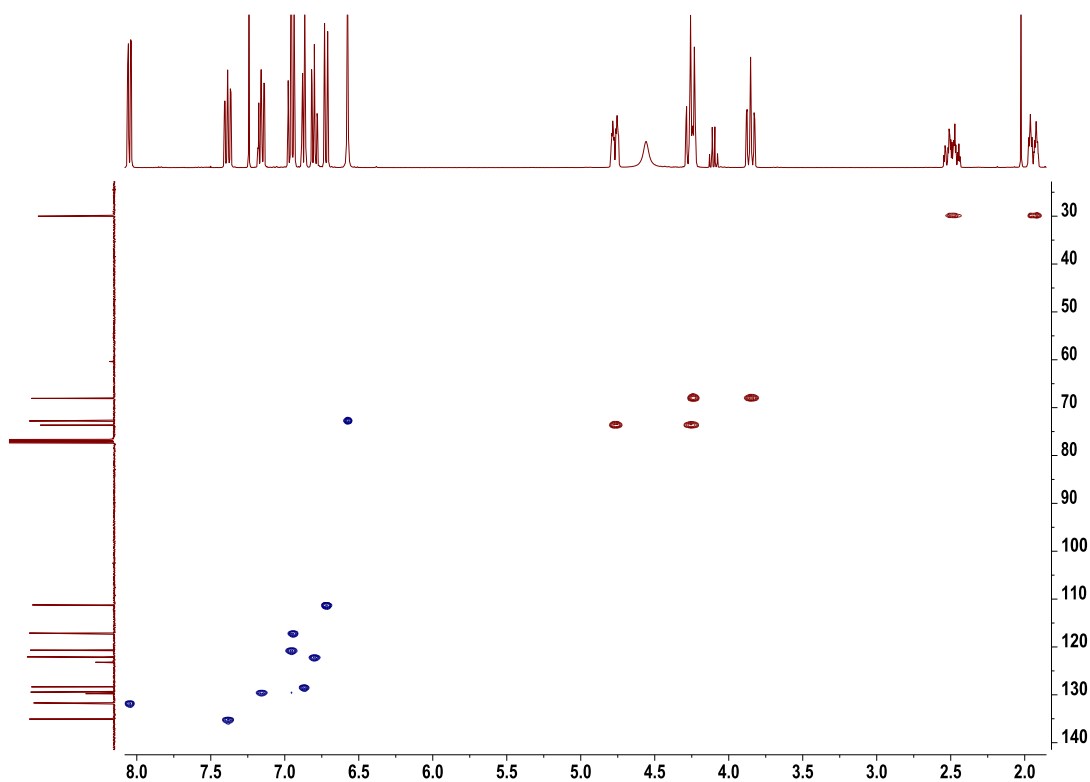
b)



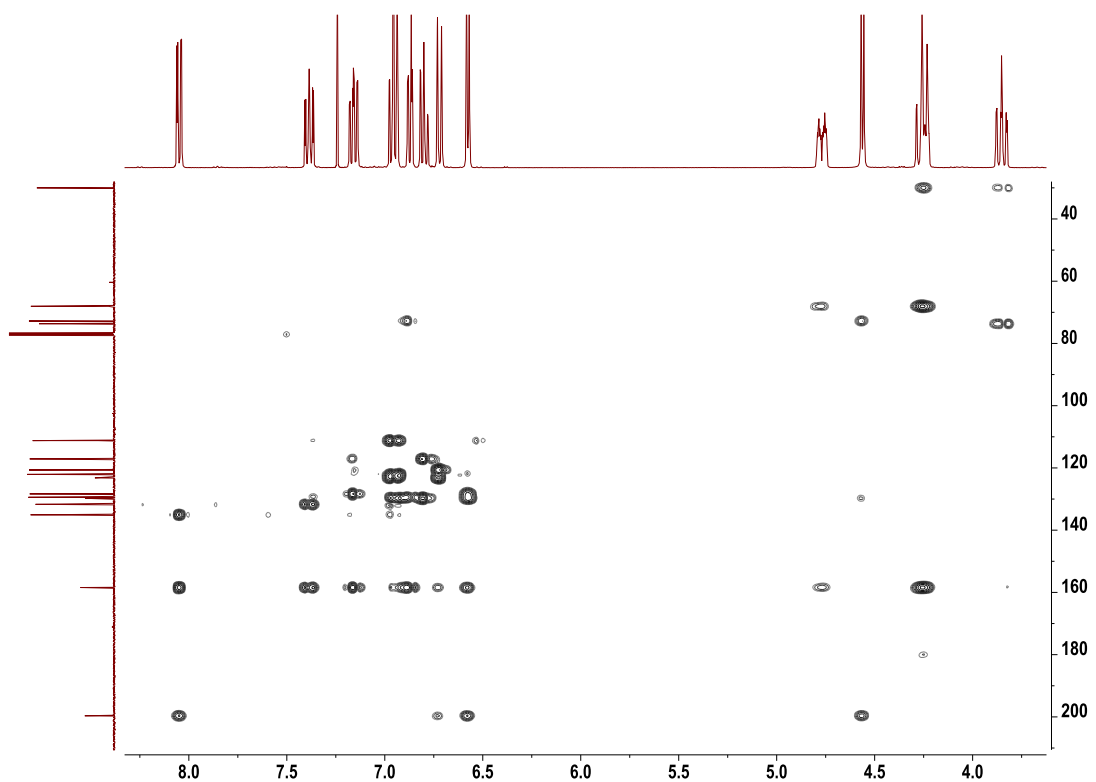
c)



d)

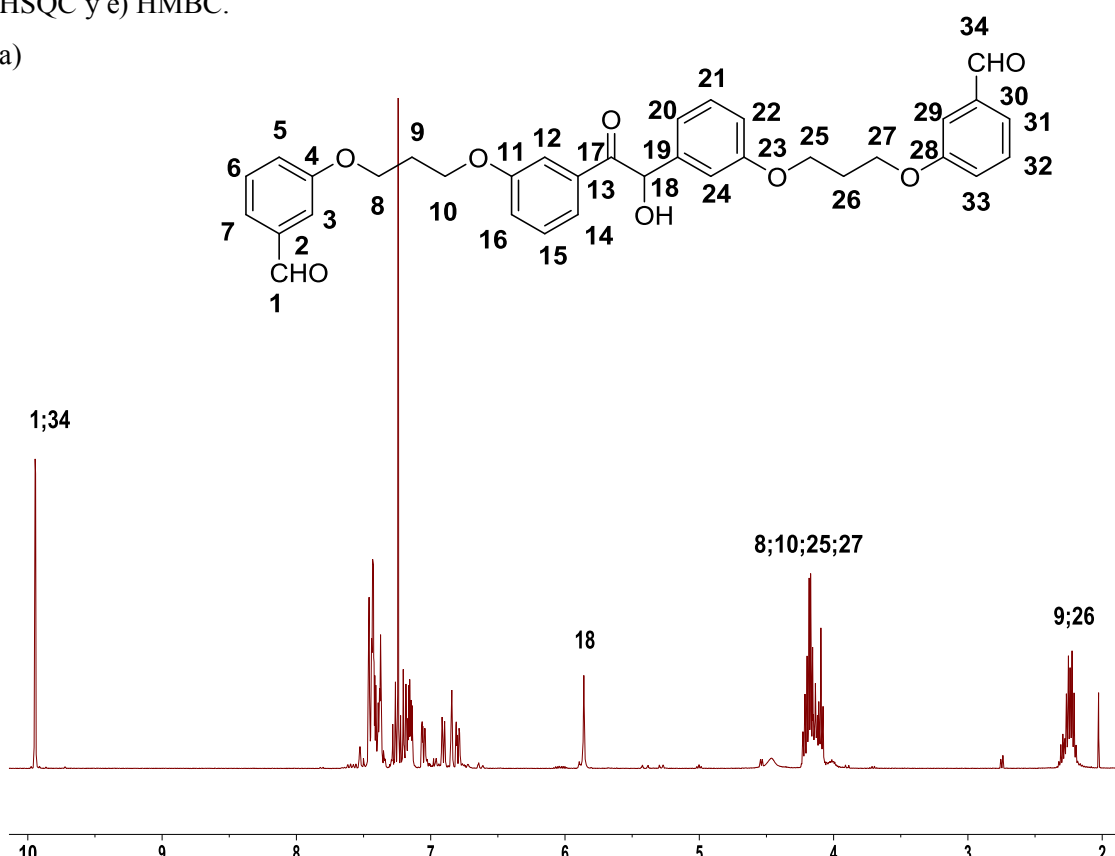


e)

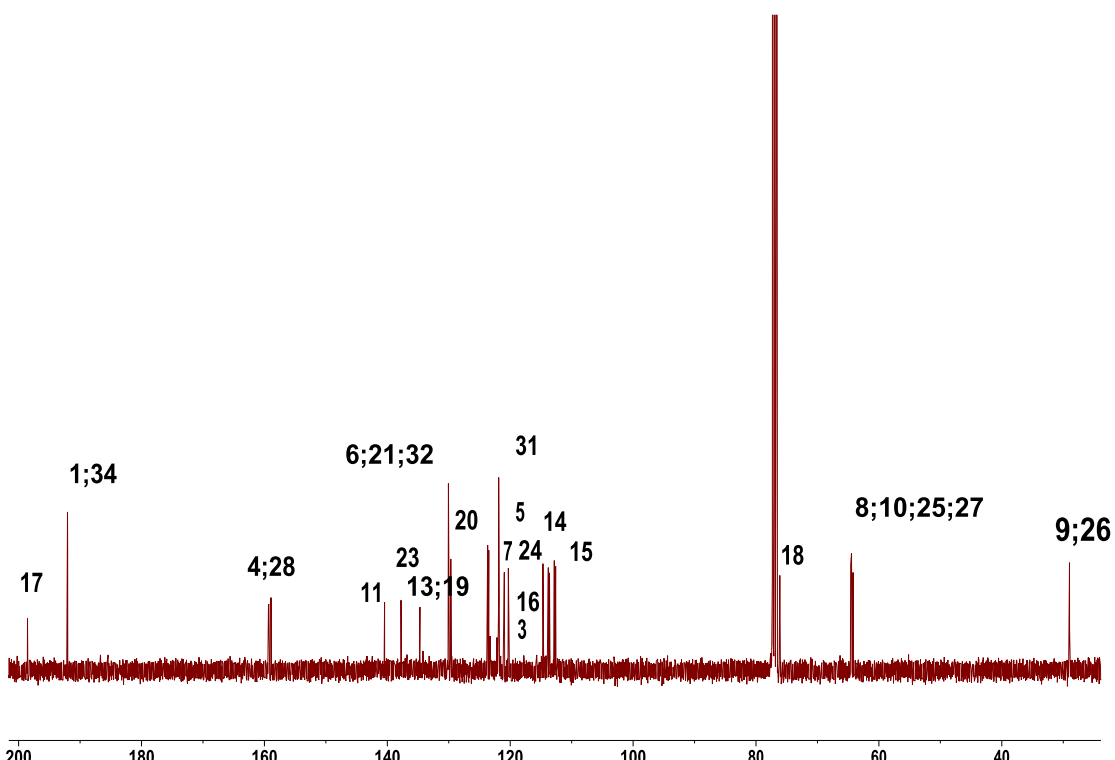


**Figura 14S(3.3)** Espectros de RMN ( $\text{CDCl}_3$ ) de **21bb**: a)  $^1\text{H}$ ; b)  $^{13}\text{C}$ ; c) 2D  $^1\text{H}$ - $^1\text{H}$  COSY; d) HSQC y e) HMBC.

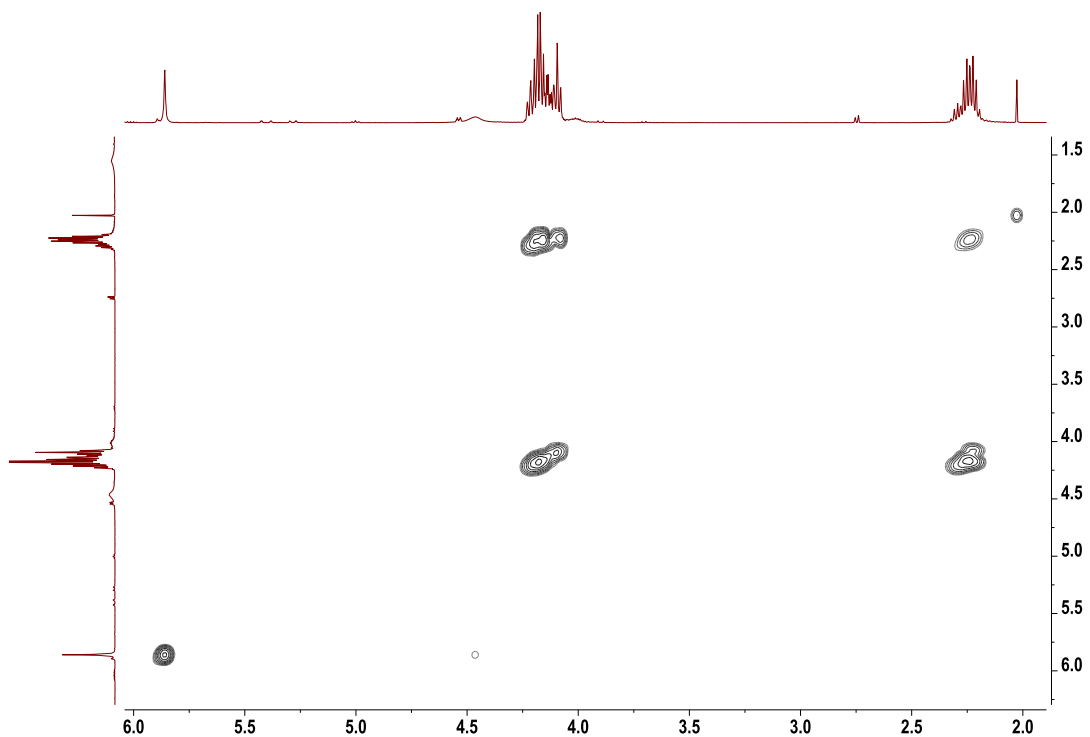
a)



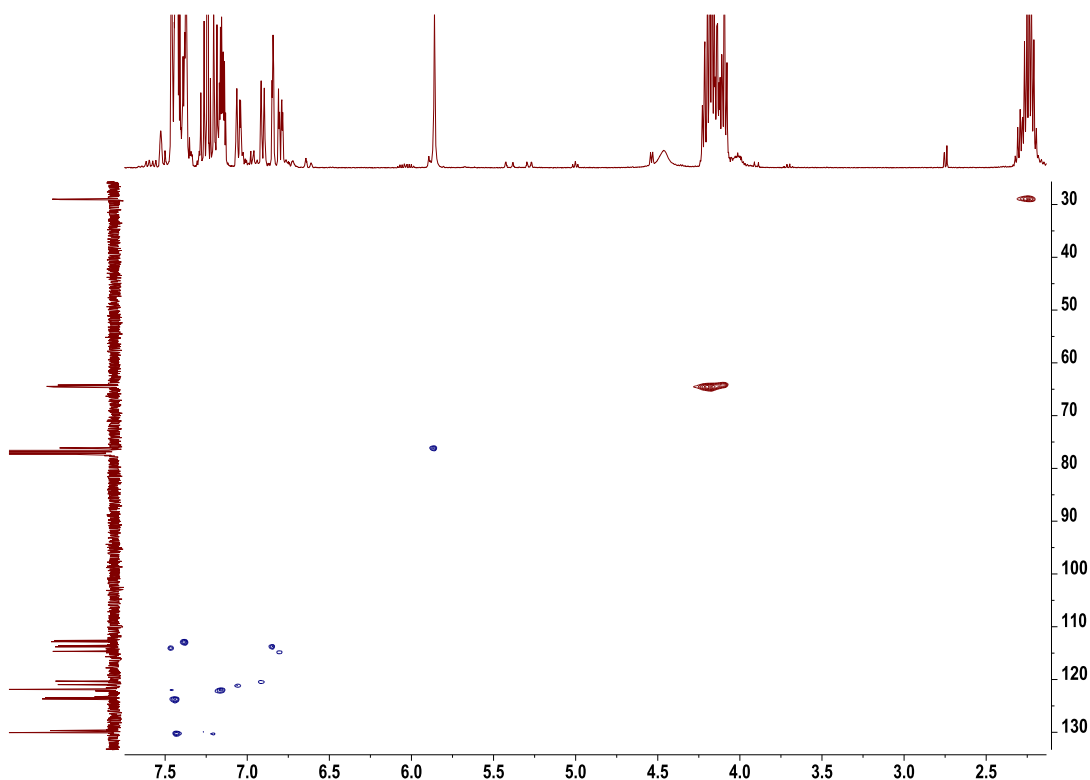
b)



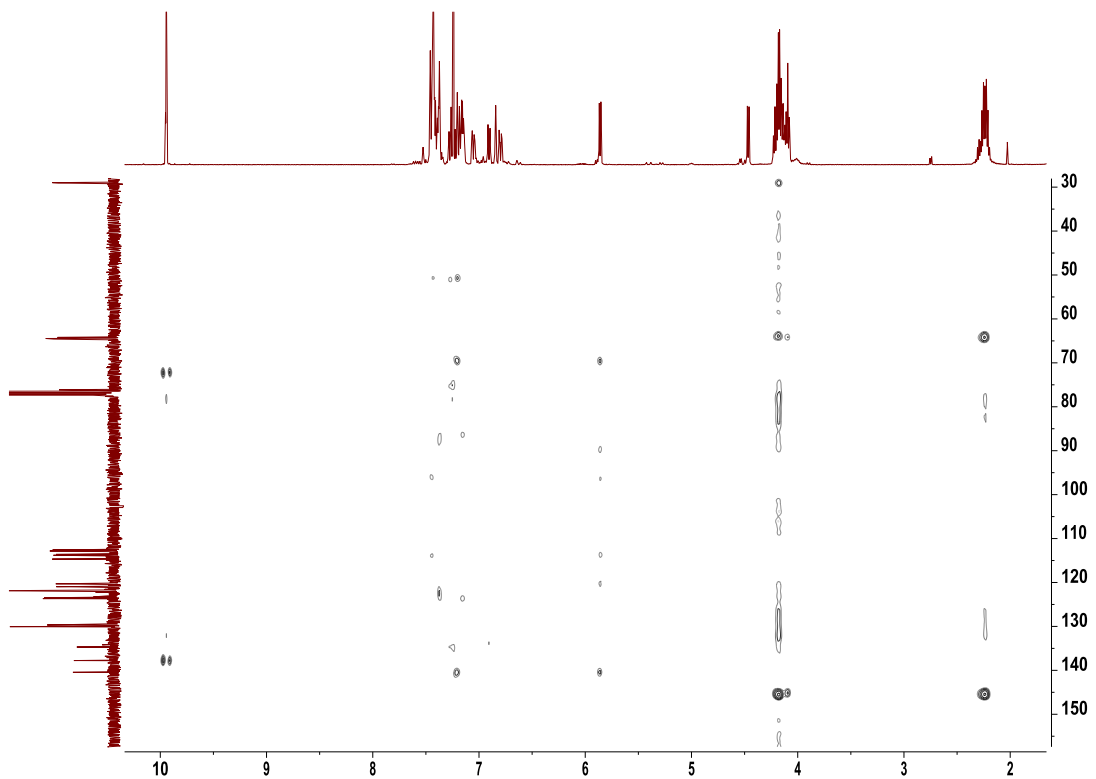
c)



d)

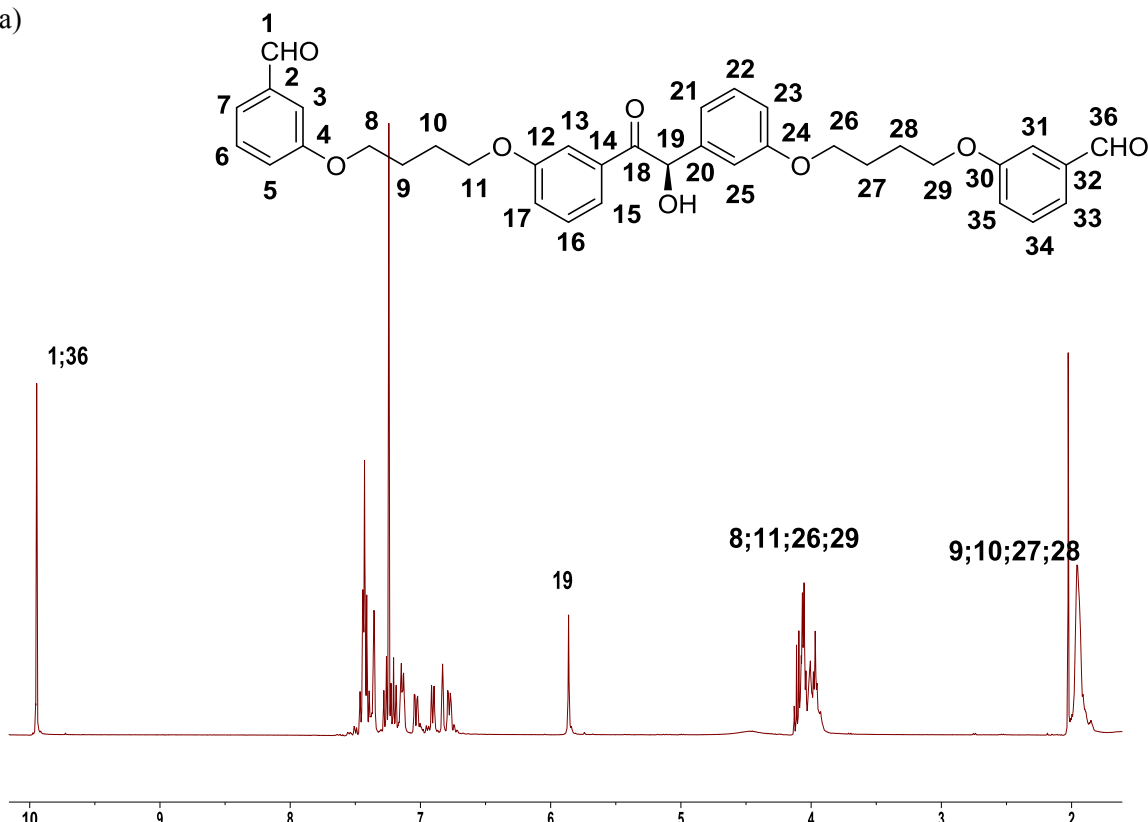


e)

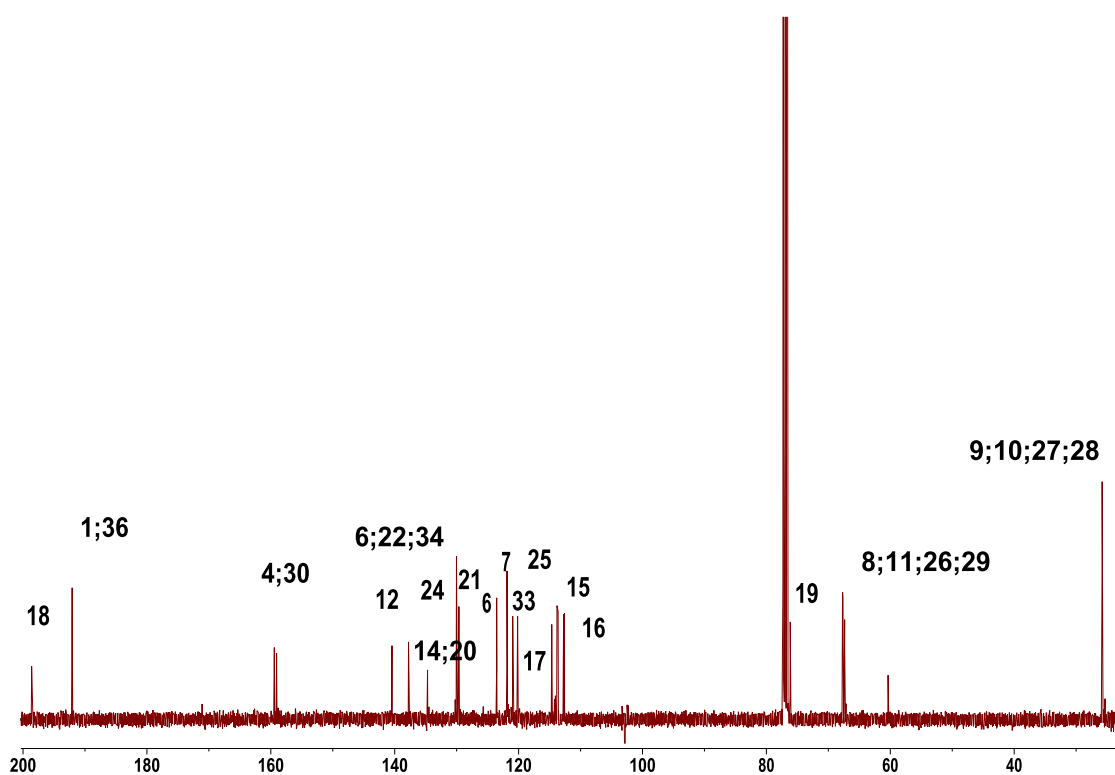


**Figura 15S(3.3)** Espectros de RMN ( $\text{CDCl}_3$ ) de **21bc**: a)  $^1\text{H}$ ; b)  $^{13}\text{C}$ ; c) 2D  $^1\text{H}$ - $^1\text{H}$  COSY; d) HSQC y e) HMBC.

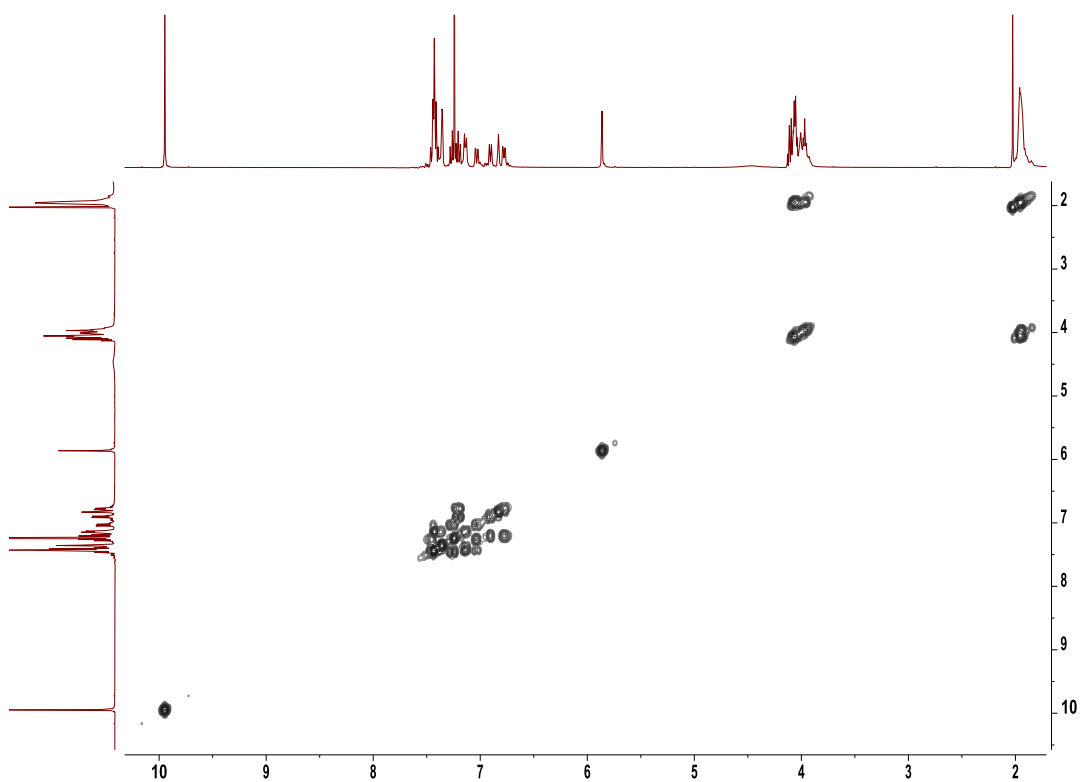
a)



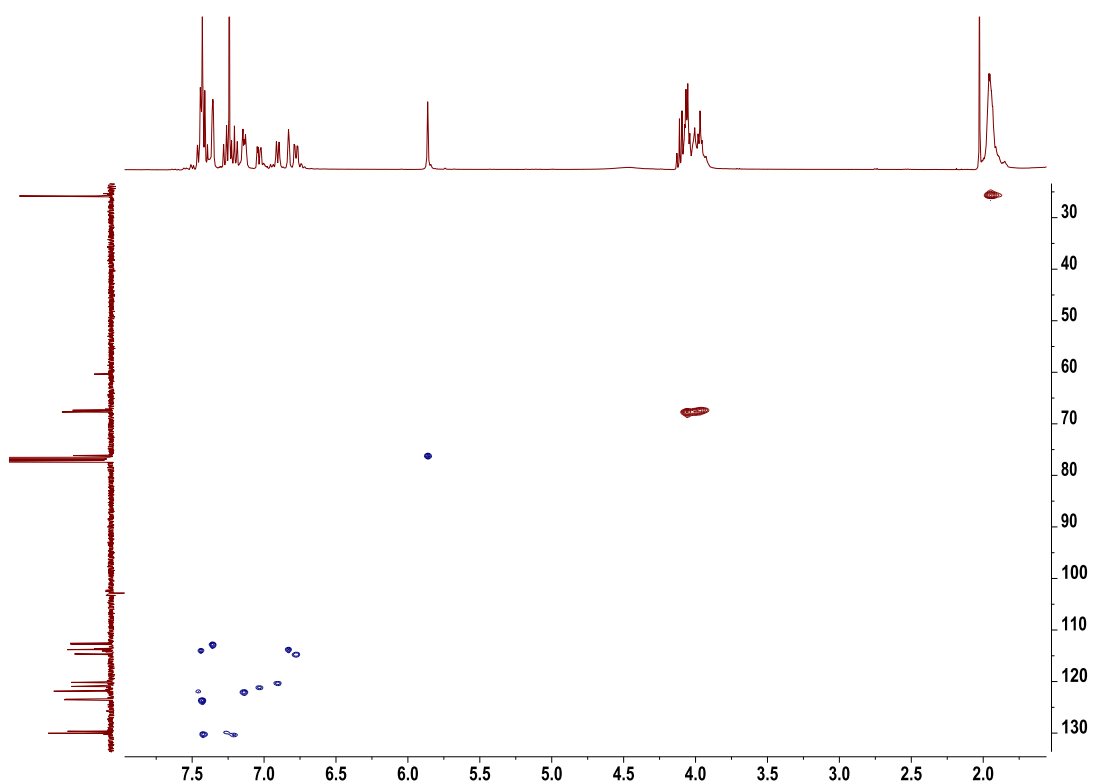
b)



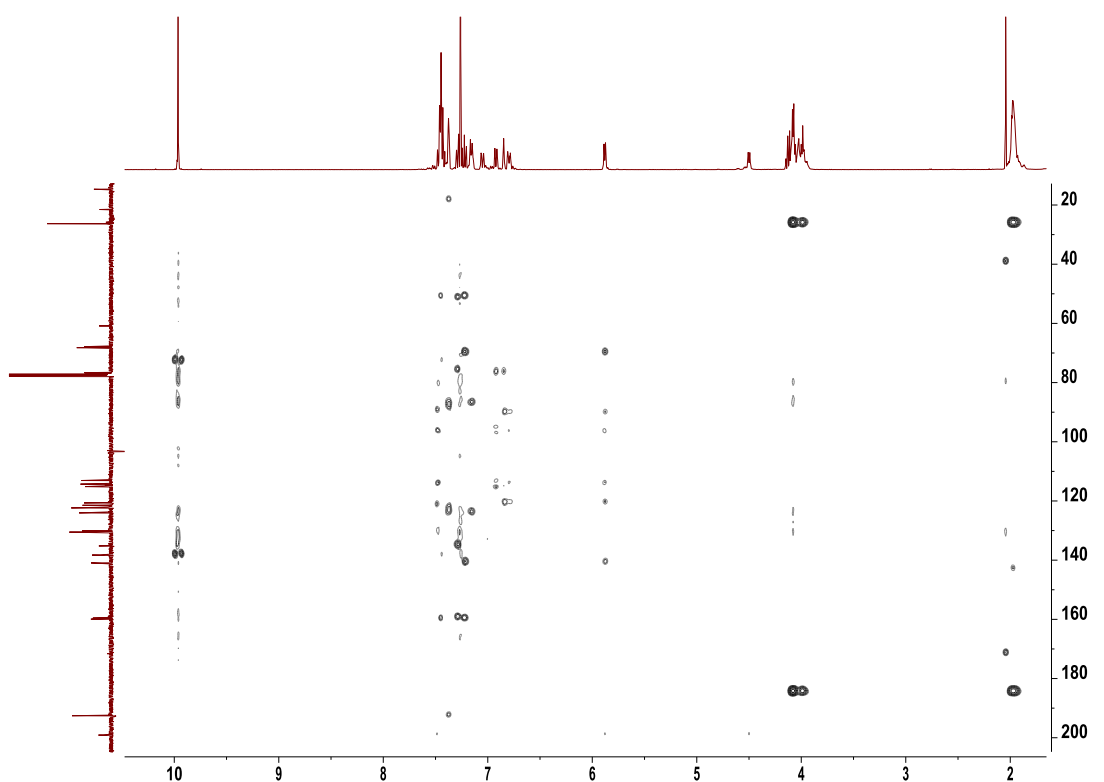
c)



d)

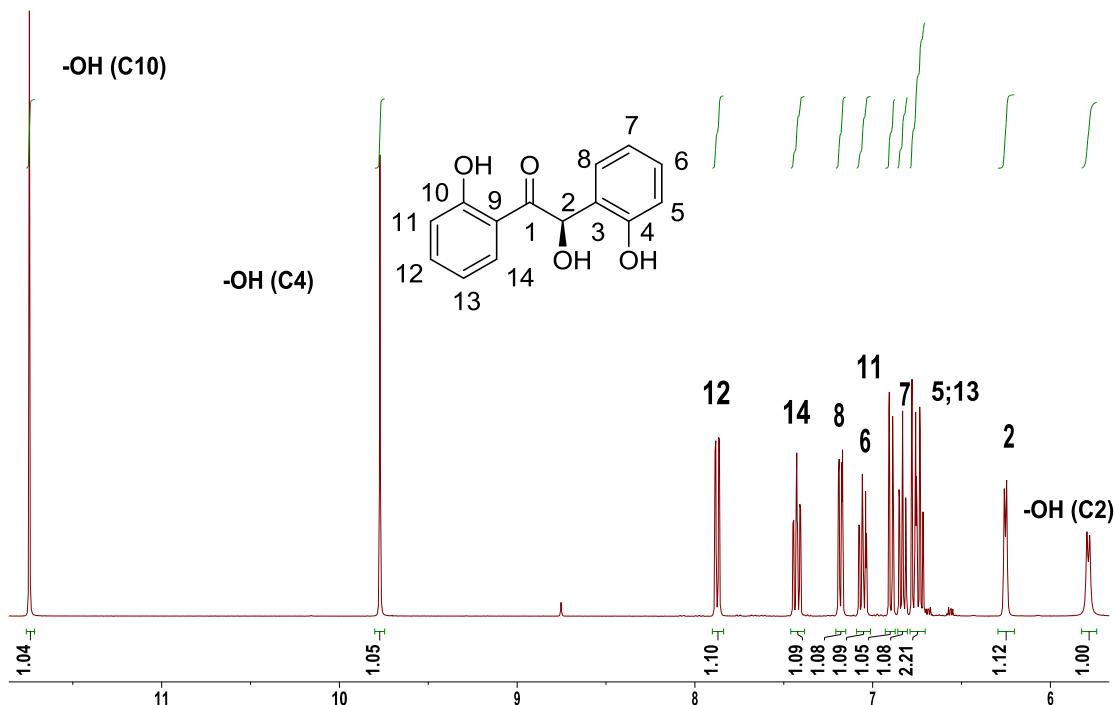


e)

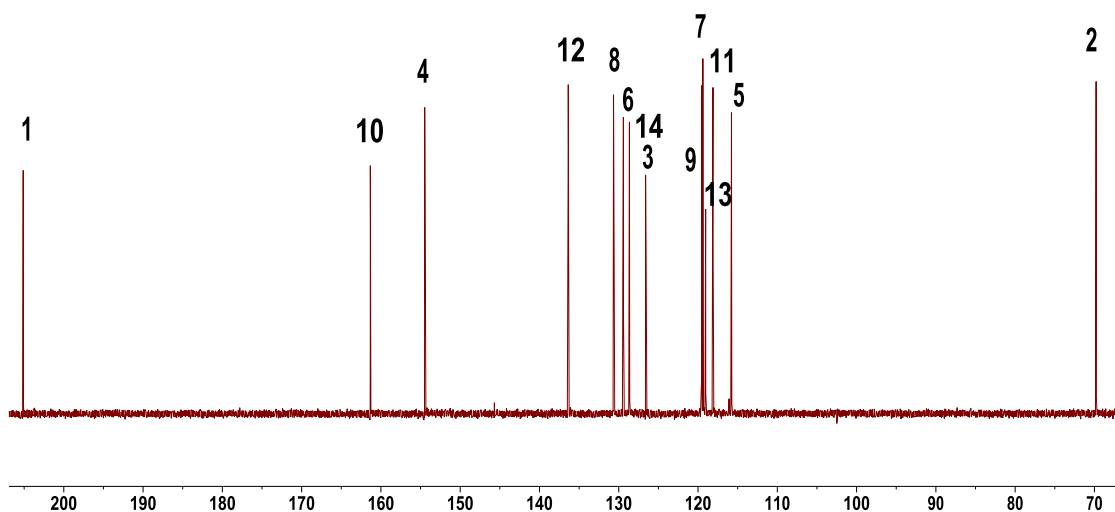


**Figura 16S(3.3)** Espectros de RMN (DMSO-*d*<sub>6</sub>) de **22**: a) <sup>1</sup>H y b) <sup>13</sup>C.

a)

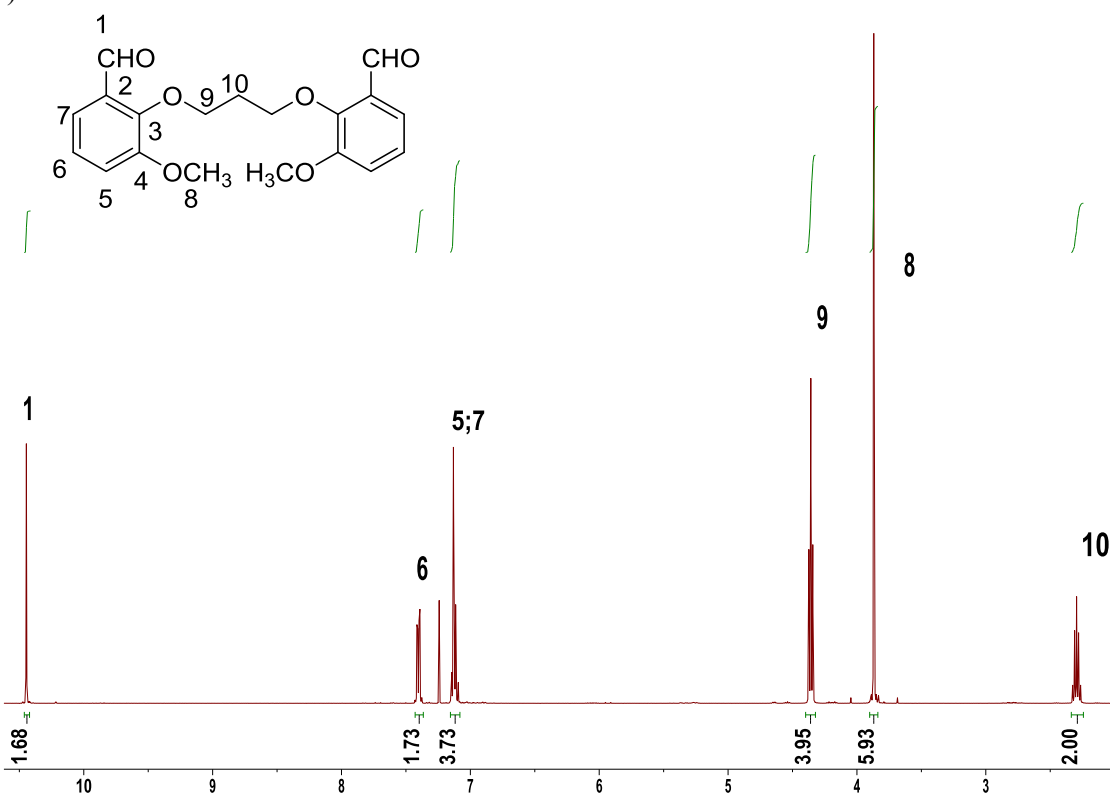


b)

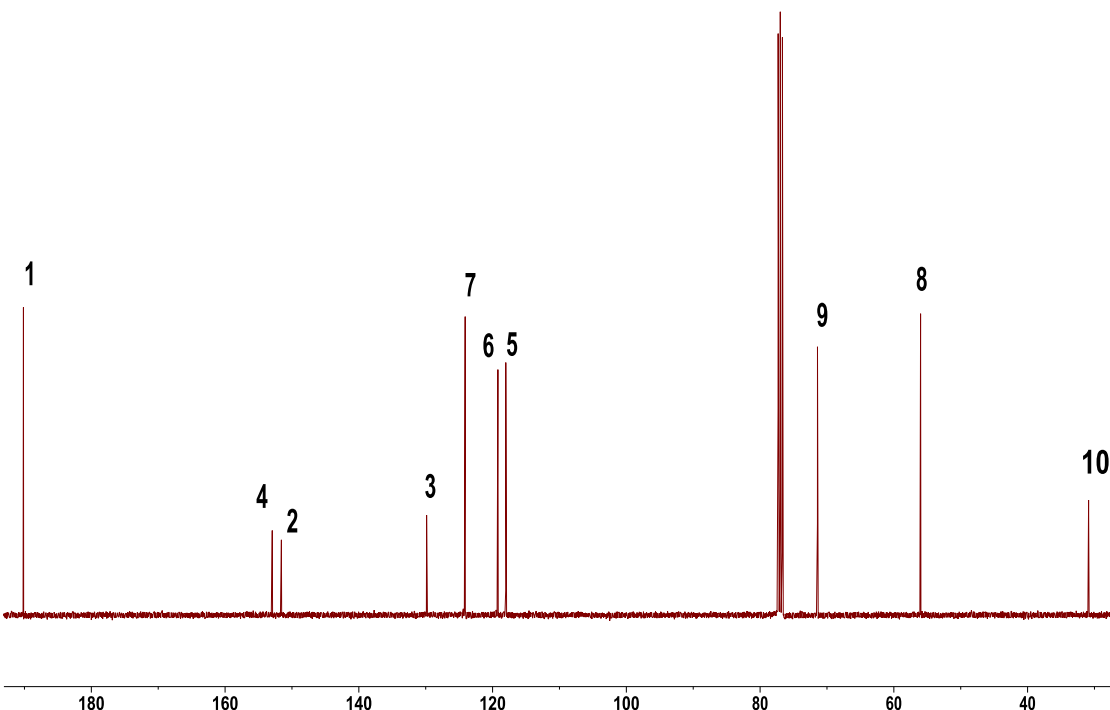


**Figura 17S(3.3)** Espectros de RMN ( $\text{CDCl}_3$ ) de **24a**: a)  $^1\text{H}$  y b)  $^{13}\text{C}$ .

a)

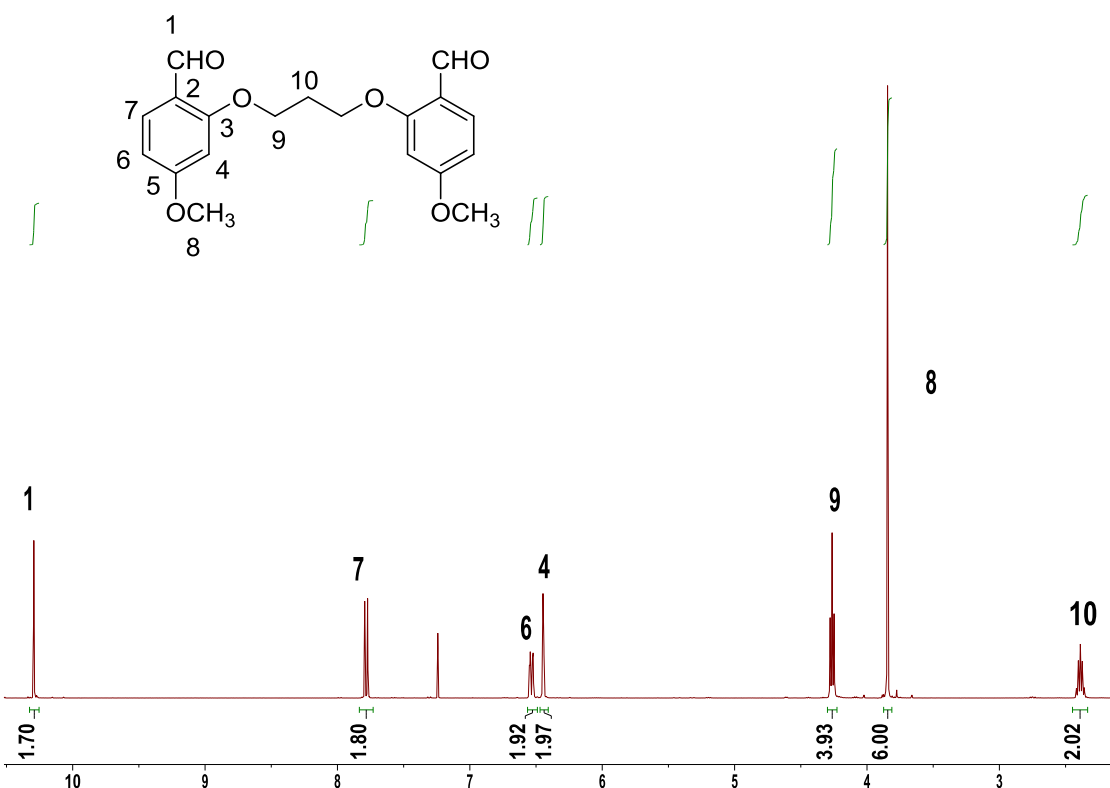


b)

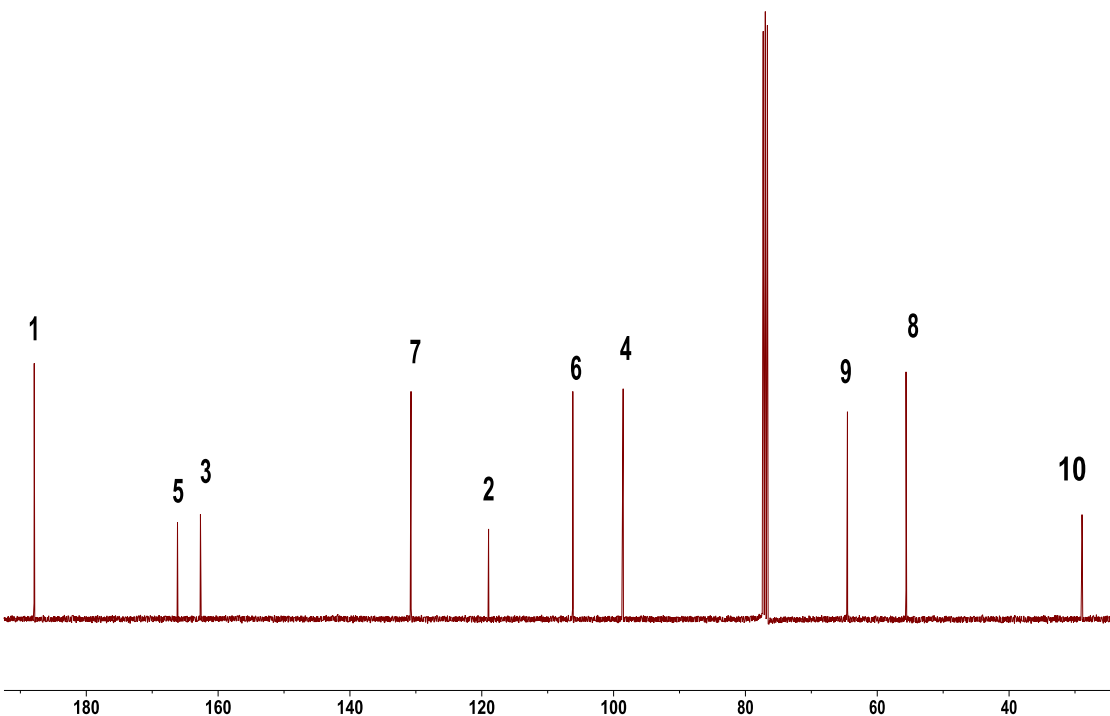


**Figura 18S(3.3)** Espectros de RMN( $\text{CDCl}_3$ ) de **24b**: a)  $^1\text{H}$  y b)  $^{13}\text{C}$ .

a)

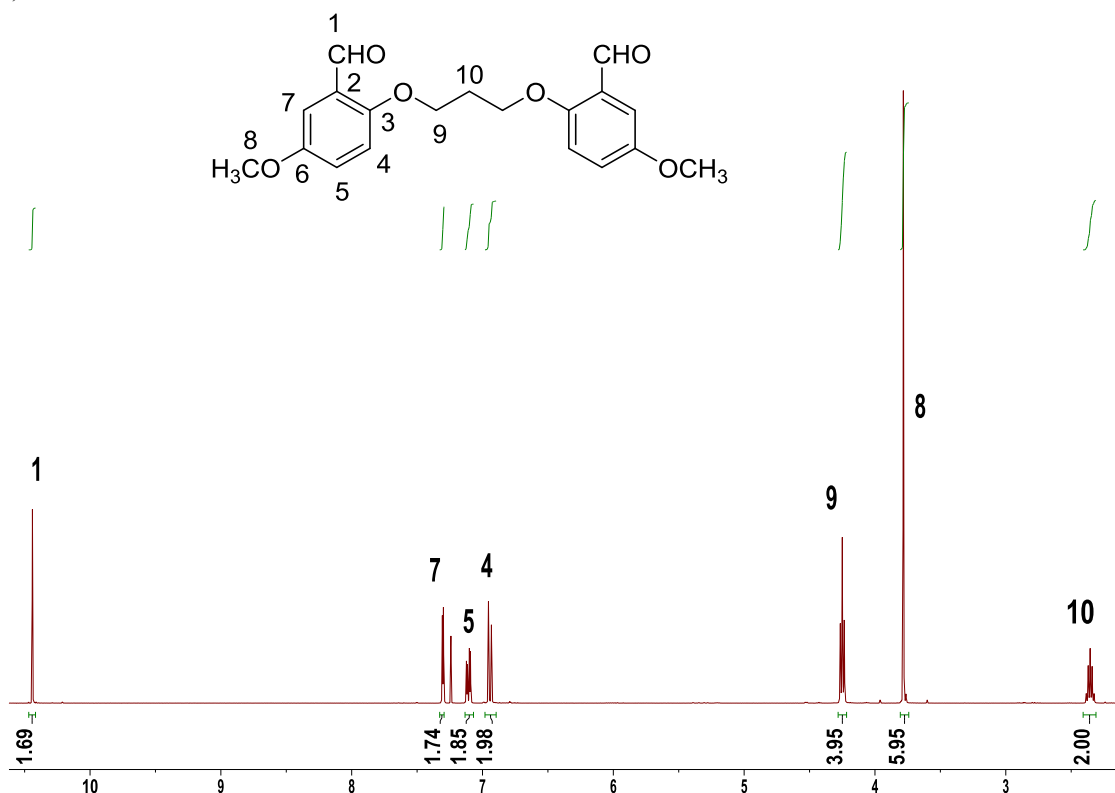


b)

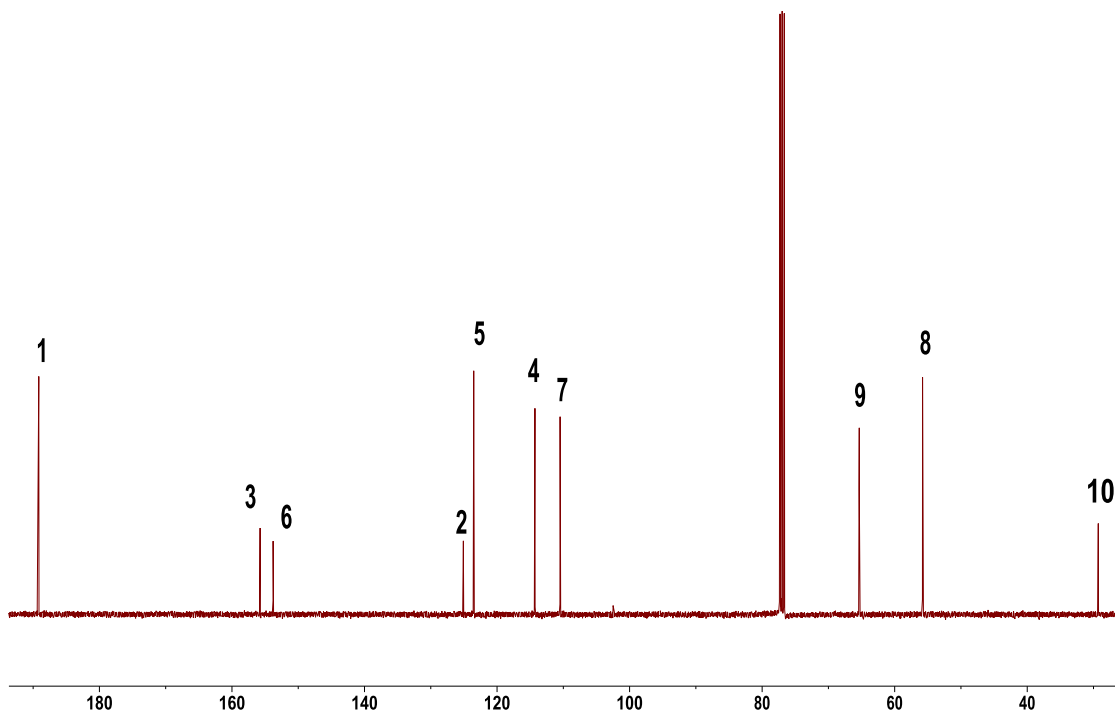


**Figura 19S(3.3)** Espectros de RMN ( $\text{CDCl}_3$ ) de **24c**: a)  $^1\text{H}$  y b)  $^{13}\text{C}$ .

a)

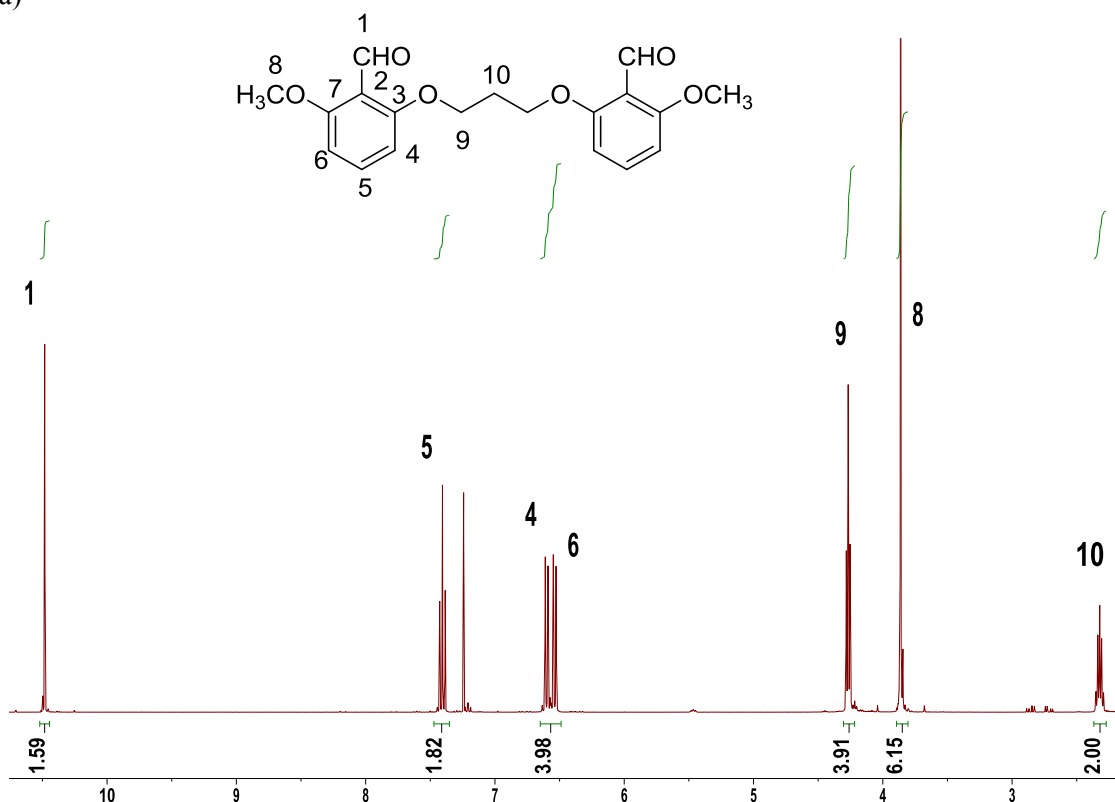


b)



**Figura 20S(3.3)** Espectros de RMN ( $\text{CDCl}_3$ ) de **24d**: a)  $^1\text{H}$  y b)  $^{13}\text{C}$ .

a)



b)

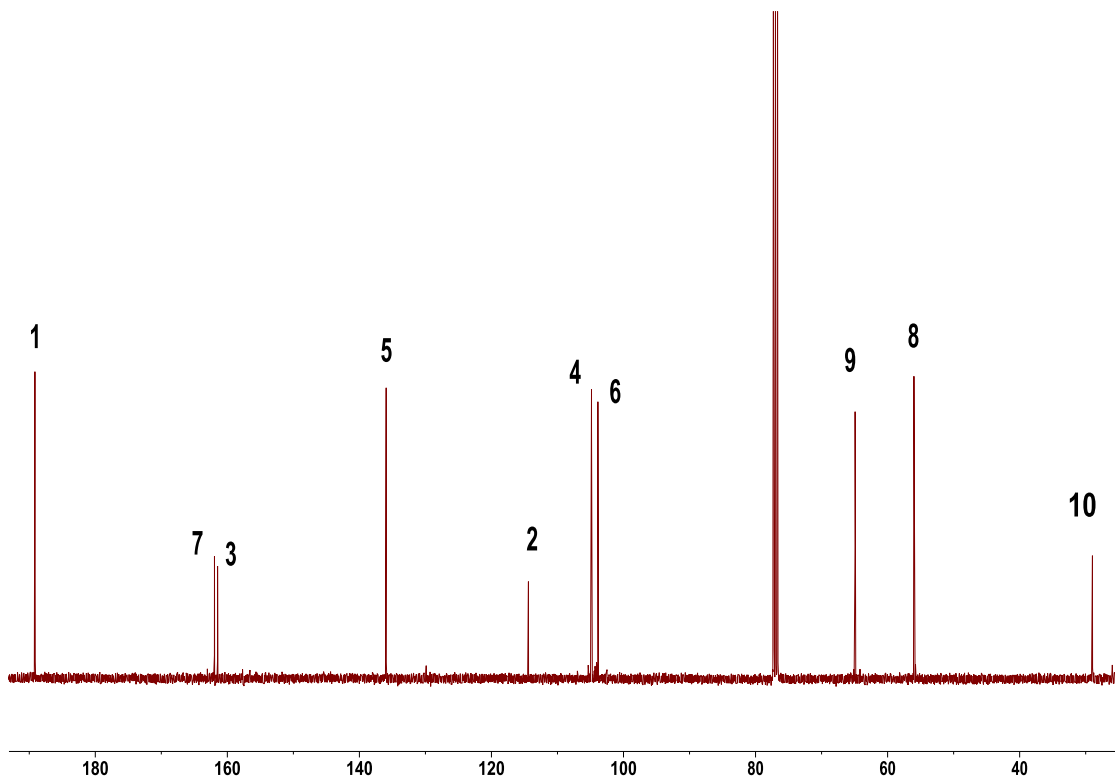
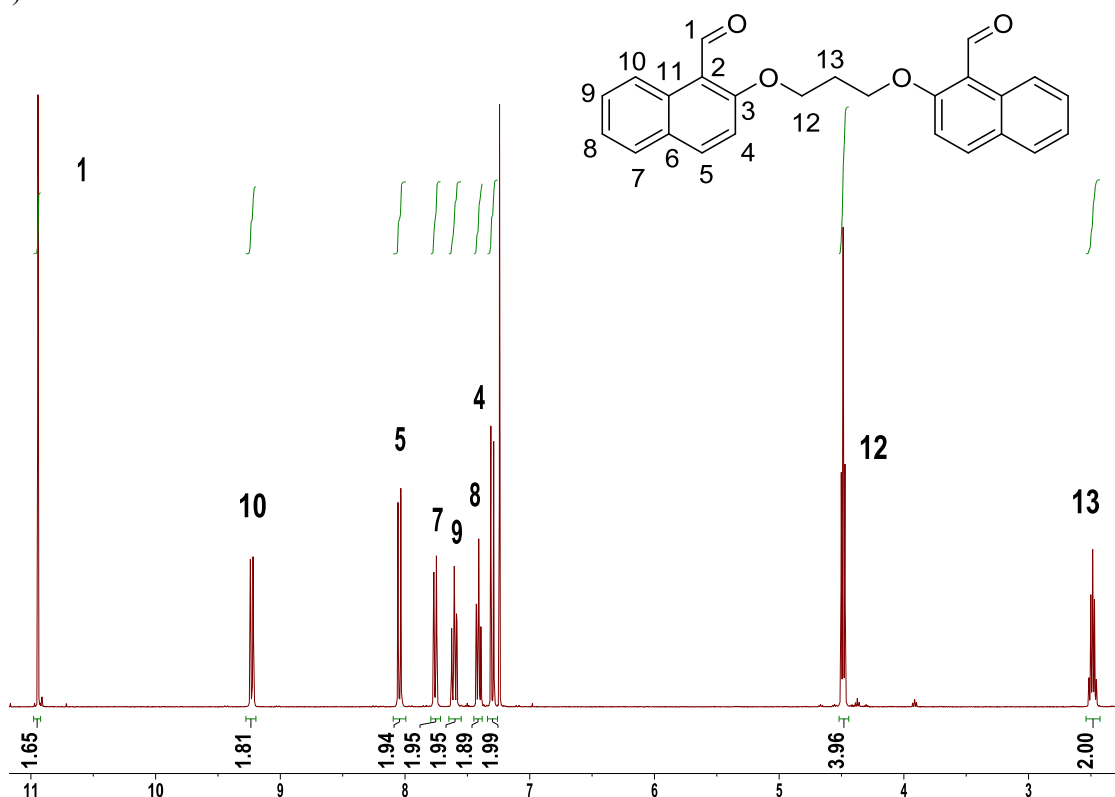
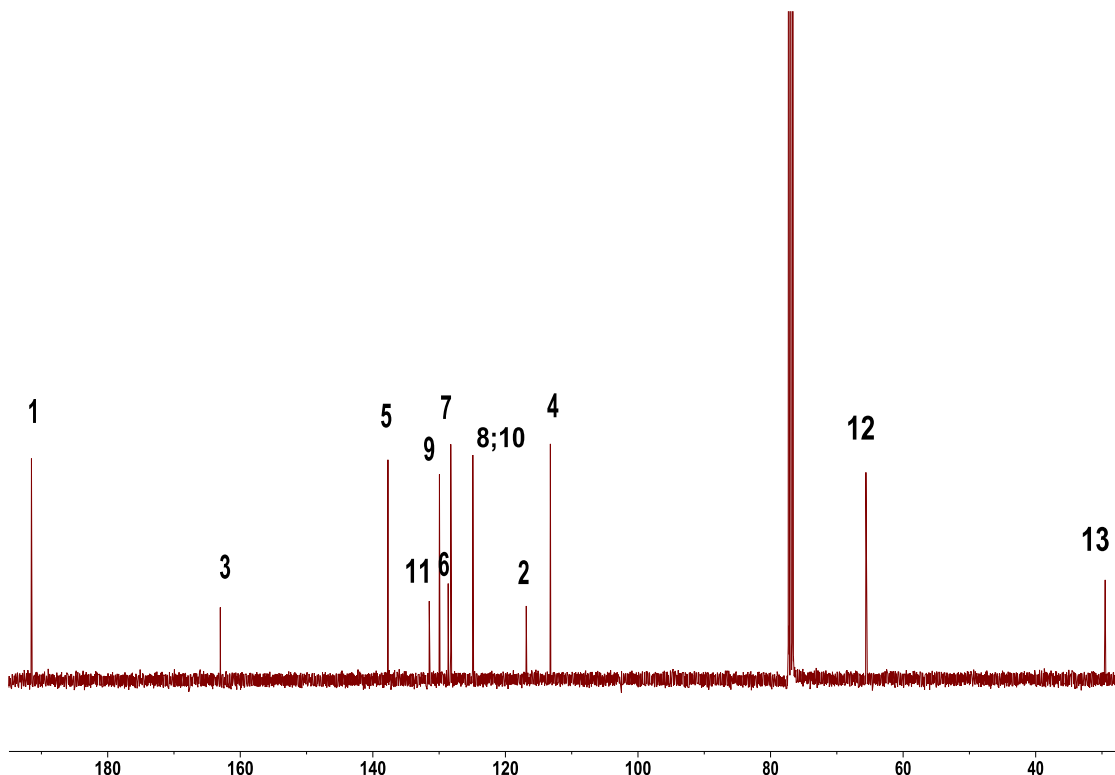


Figura 21S(3.3) Espectros de RMN( $\text{CDCl}_3$ ) de **26**: a)  $^1\text{H}$  y b)  $^{13}\text{C}$ .

a)

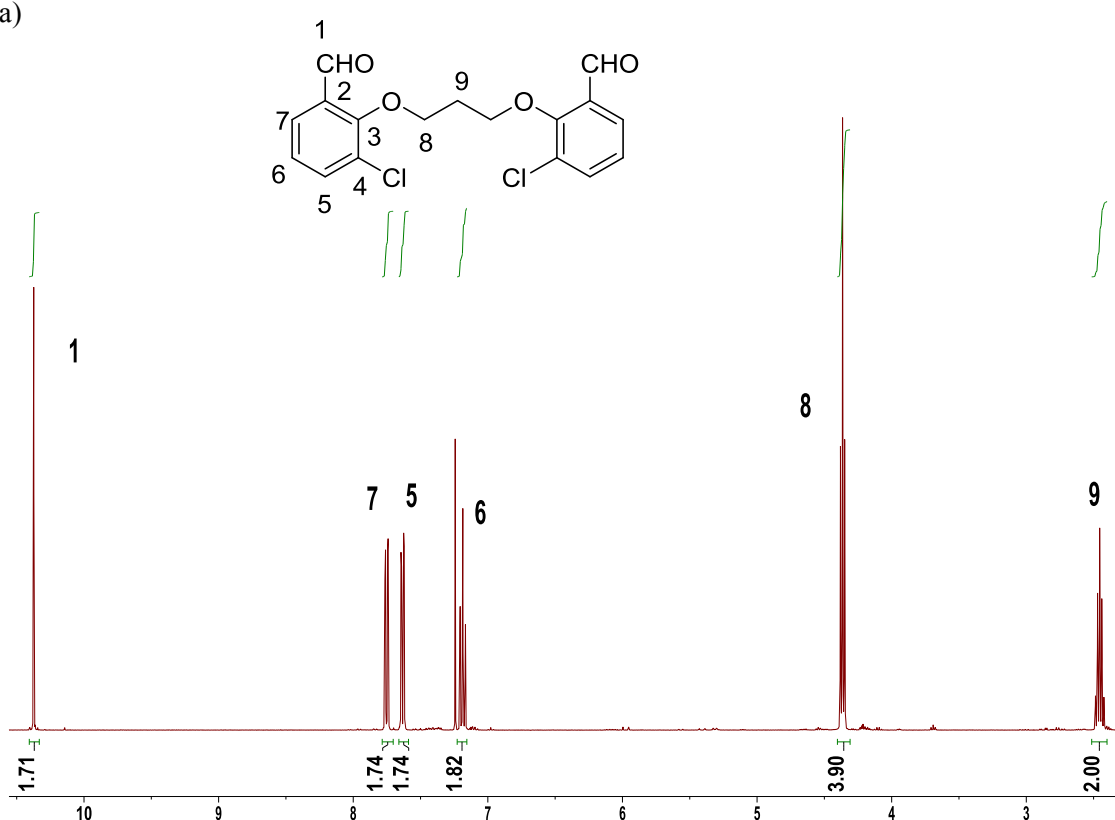


b)

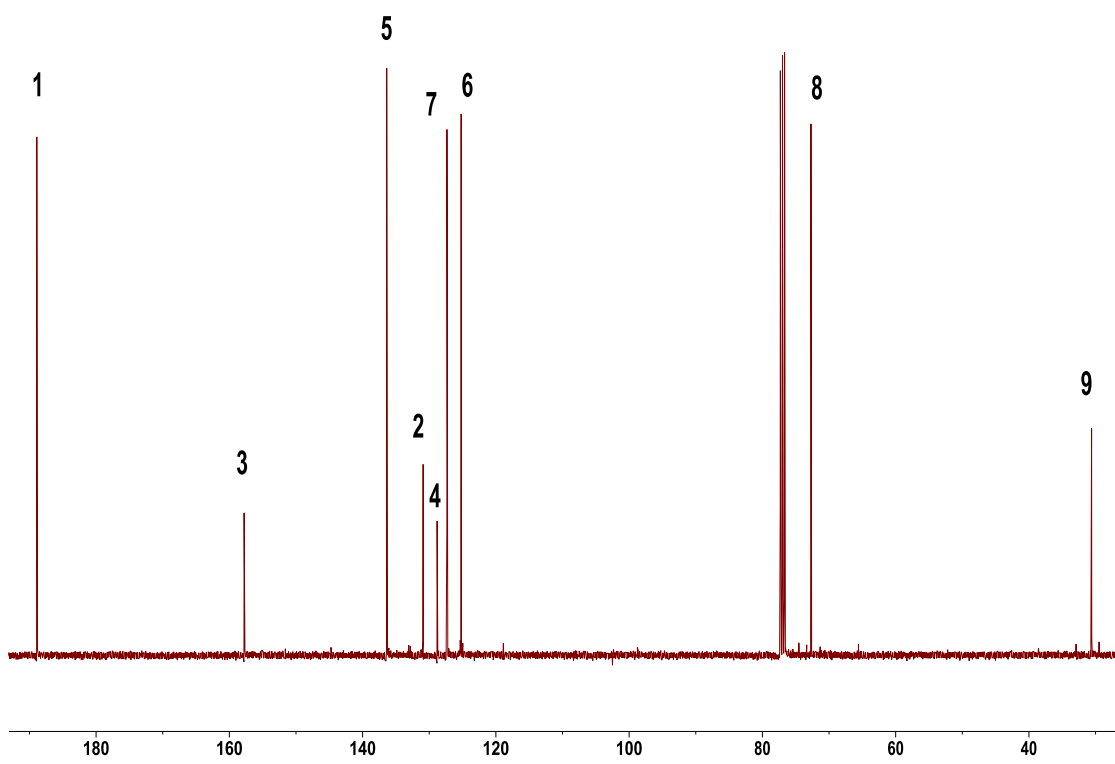


**Figura22S(3.3)** Espectros de RMN ( $\text{CDCl}_3$ ) de **28**: a)  $^1\text{H}$  y b)  $^{13}\text{C}$ .

a)

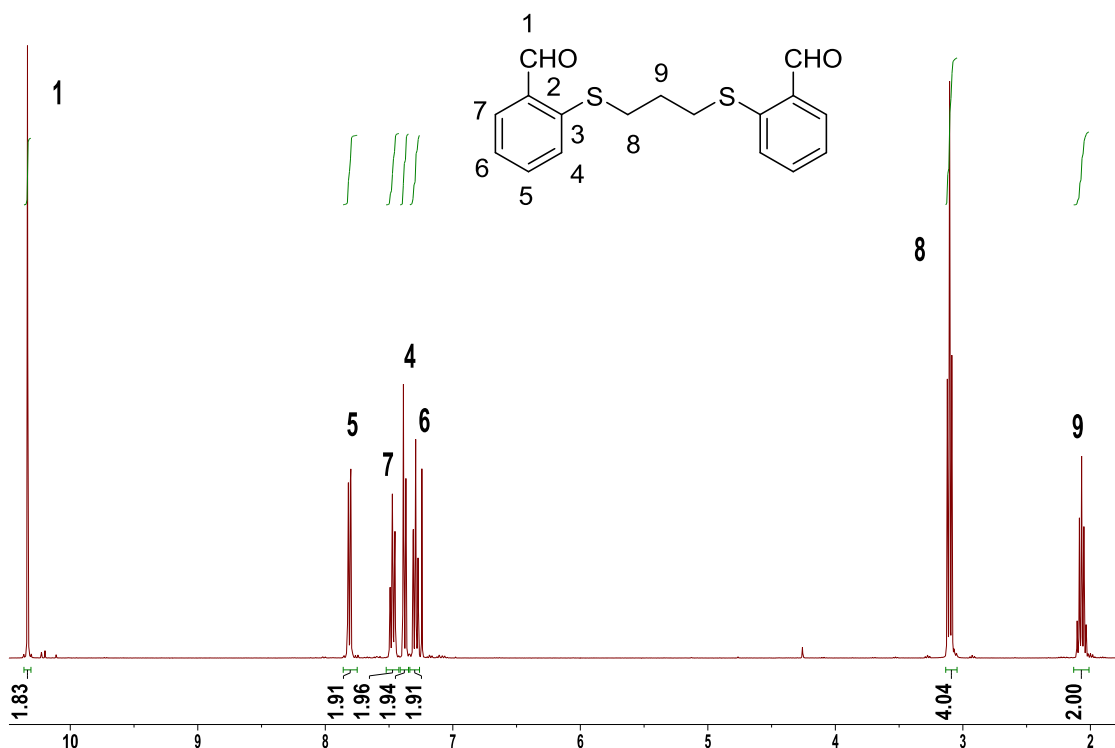


b)

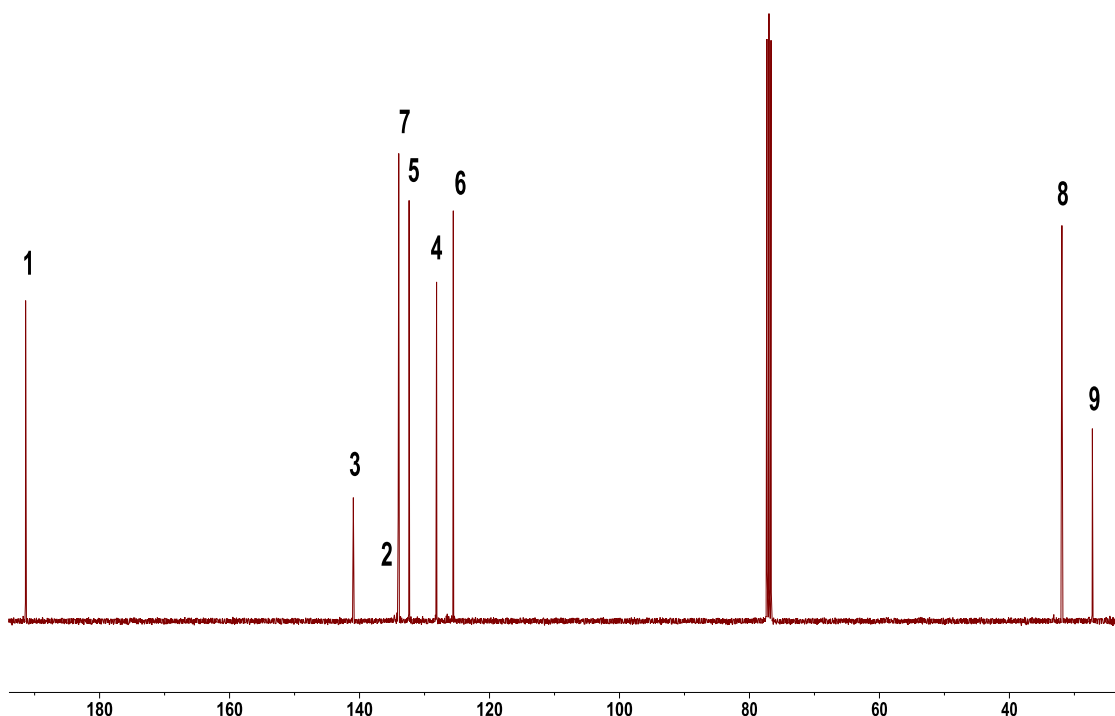


**Figura23S(3.3)** Espectros de RMN( $\text{CDCl}_3$ ) de **31**: a)  $^1\text{H}$  y b)  $^{13}\text{C}$ .

a)

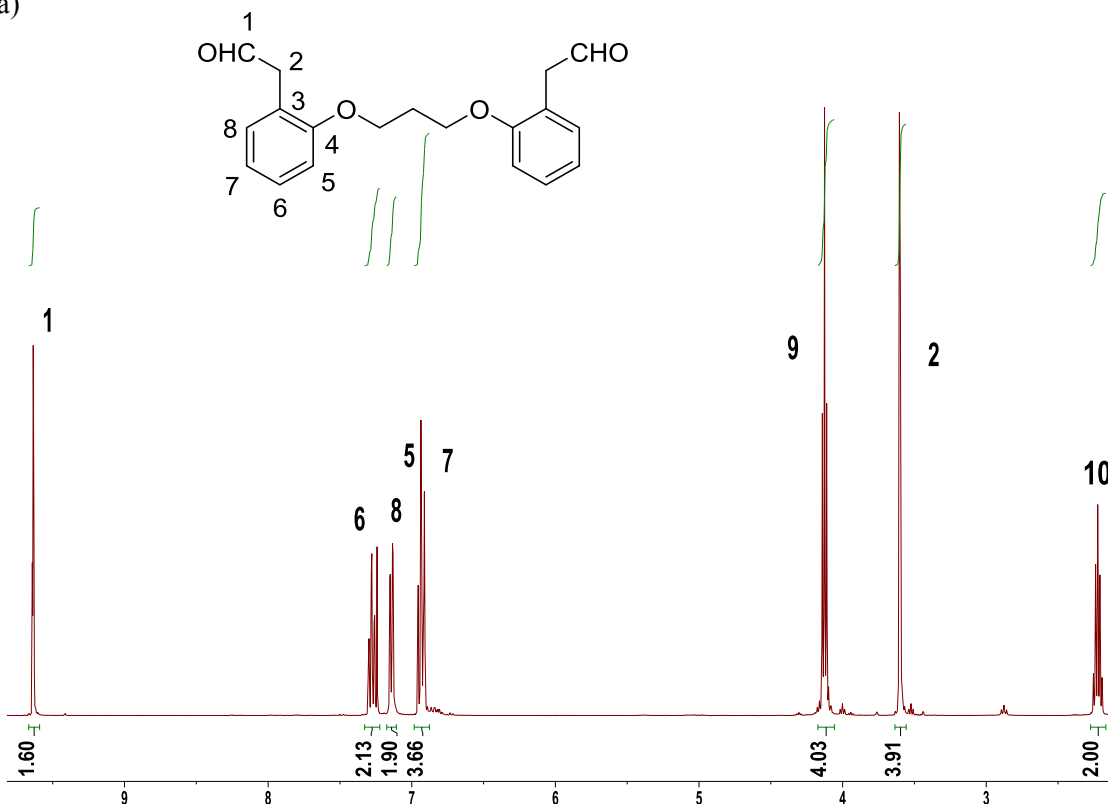


b)

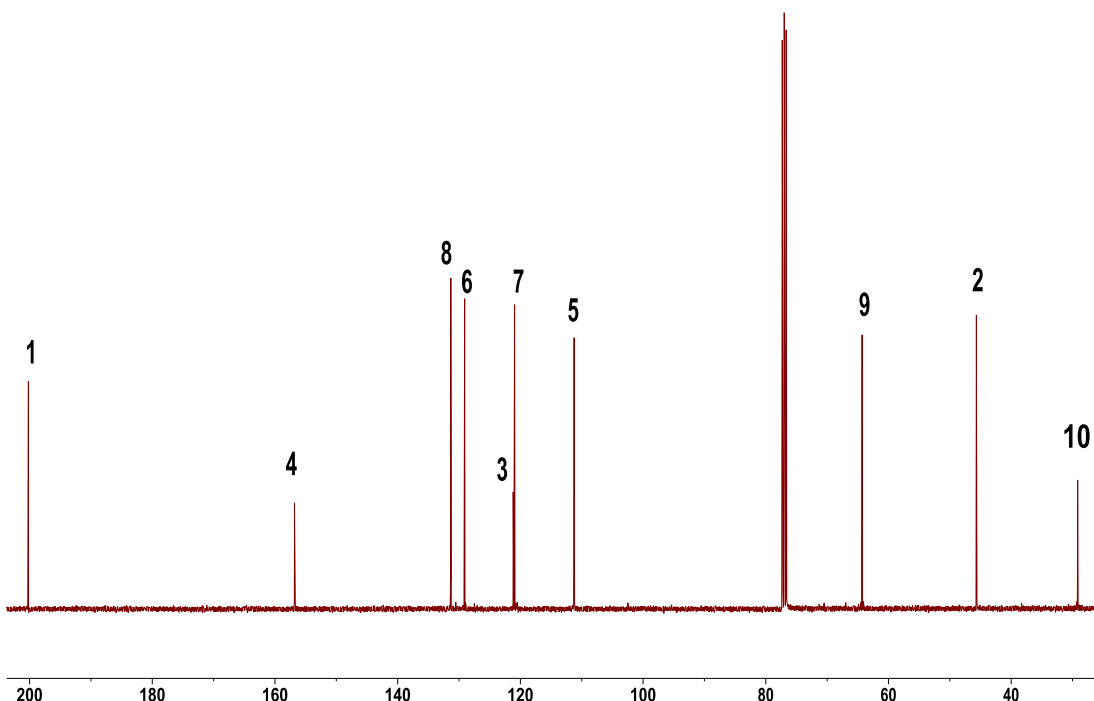


**Figura24S(3.3)** Espectros de RMN ( $\text{CDCl}_3$ ) de **34**: a)  $^1\text{H}$  y b)  $^{13}\text{C}$ .

a)

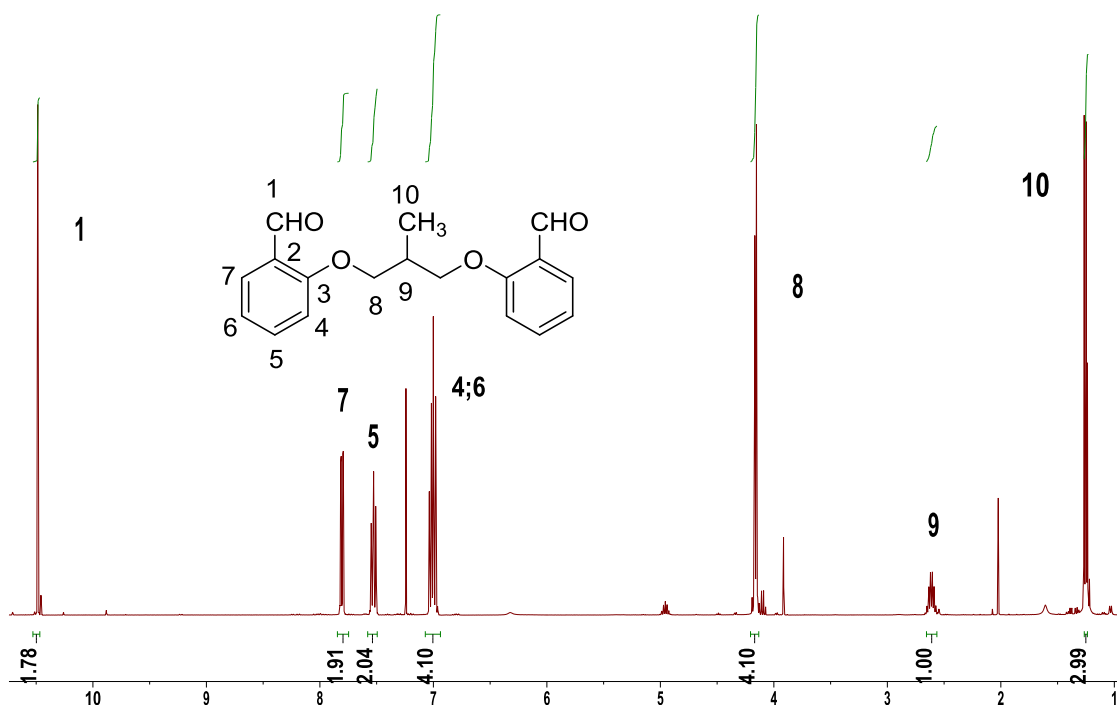


b)

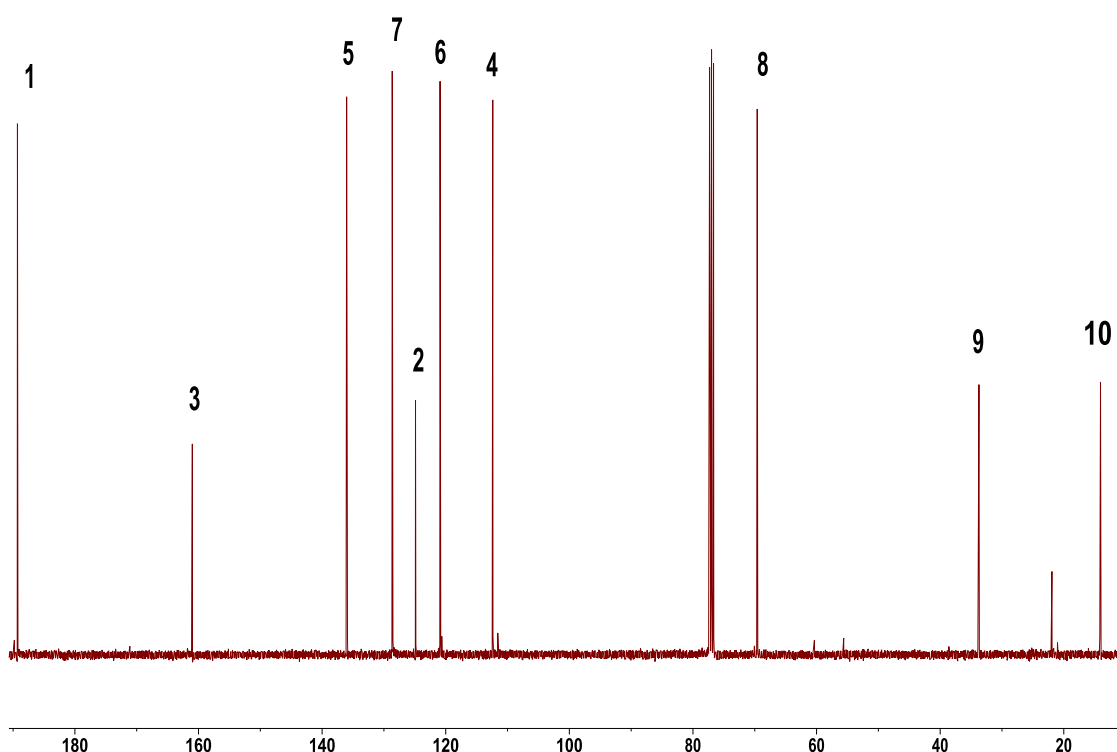


**Figura 25S(3.3)** Espectros de RMN( $\text{CDCl}_3$ ) de **38**: a)  $^1\text{H}$  y b)  $^{13}\text{C}$ .

a)

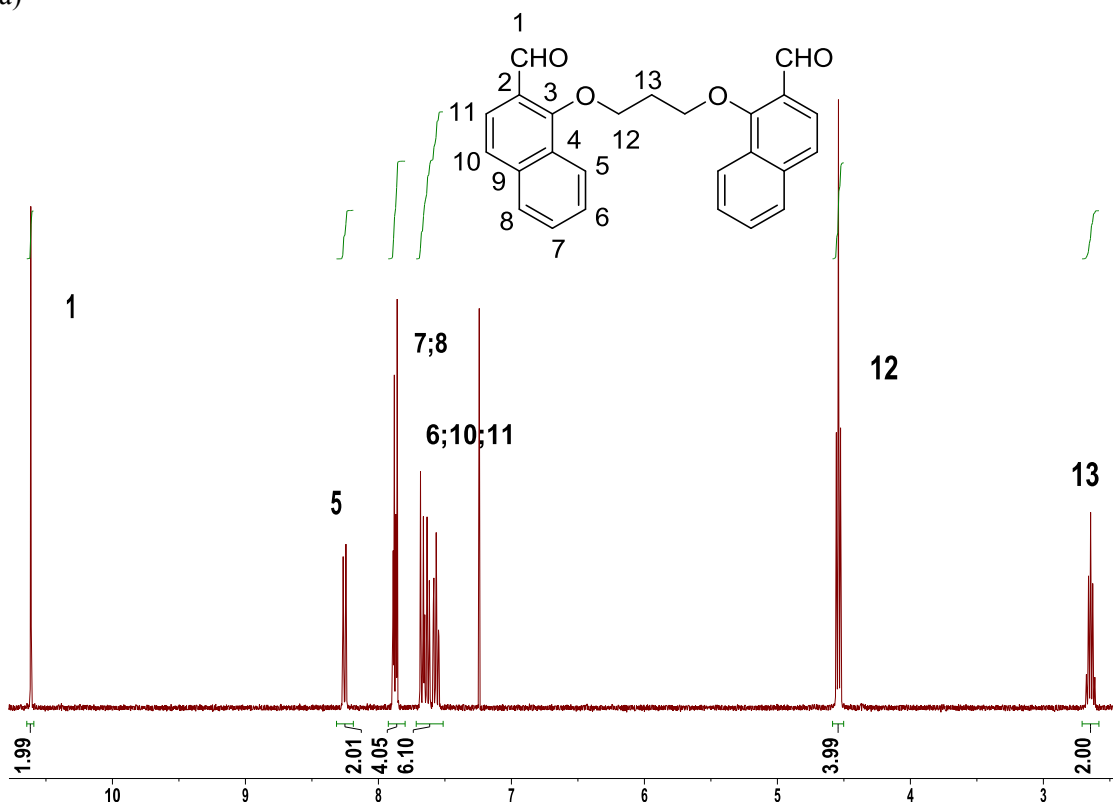


b)

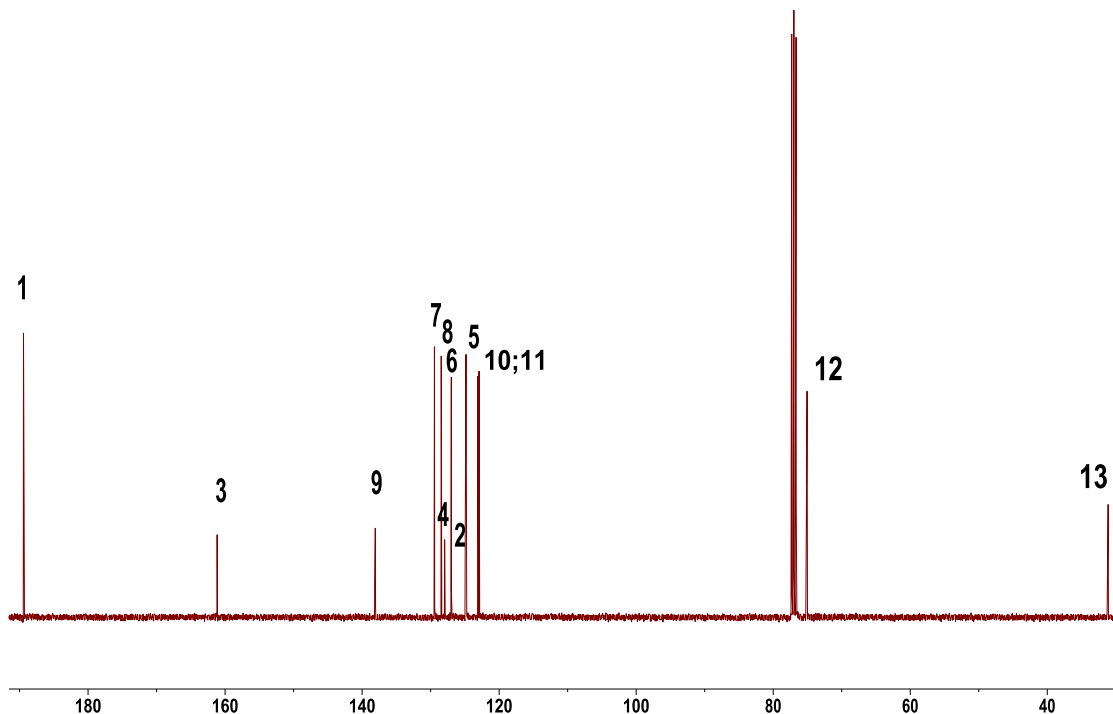


**Figura 26S(3.3)** Espectros de RMN ( $\text{CDCl}_3$ ) de **42**: a)  $^1\text{H}$  y b)  $^{13}\text{C}$ .

a)

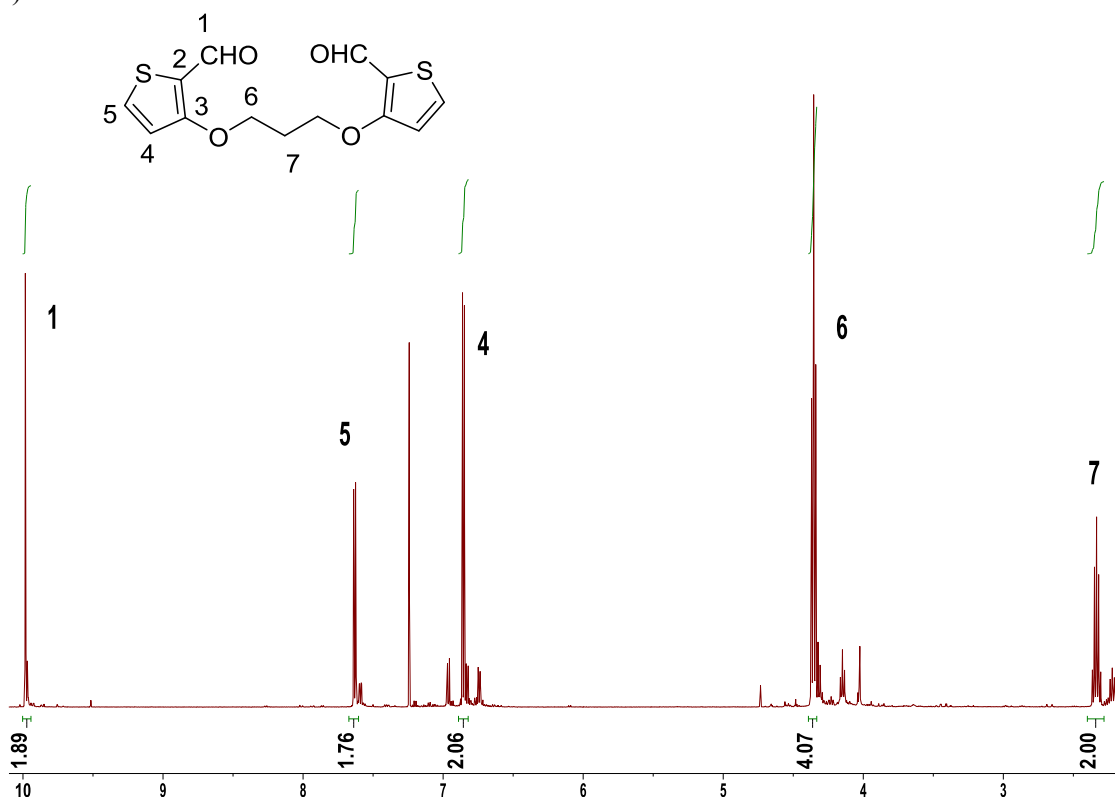


b)

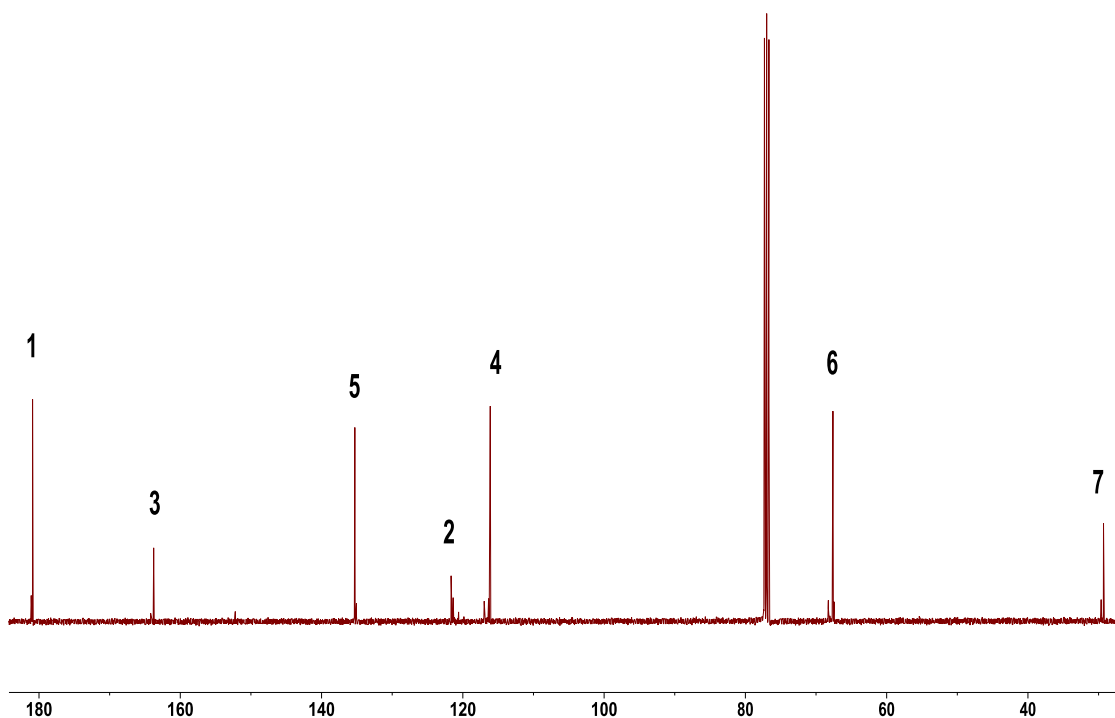


**Figura 27S(3.3)** Espectros de RMN ( $\text{CDCl}_3$ ) de **46**: a)  $^1\text{H}$  y b)  $^{13}\text{C}$ .

a)

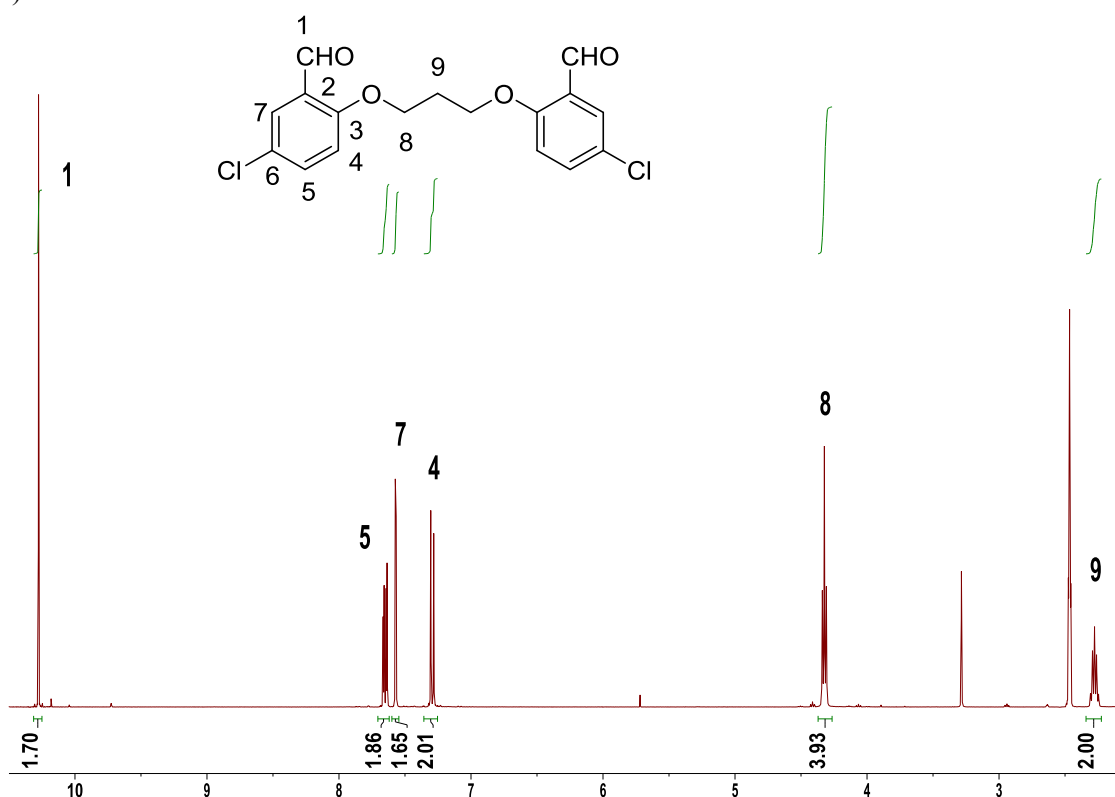


b)

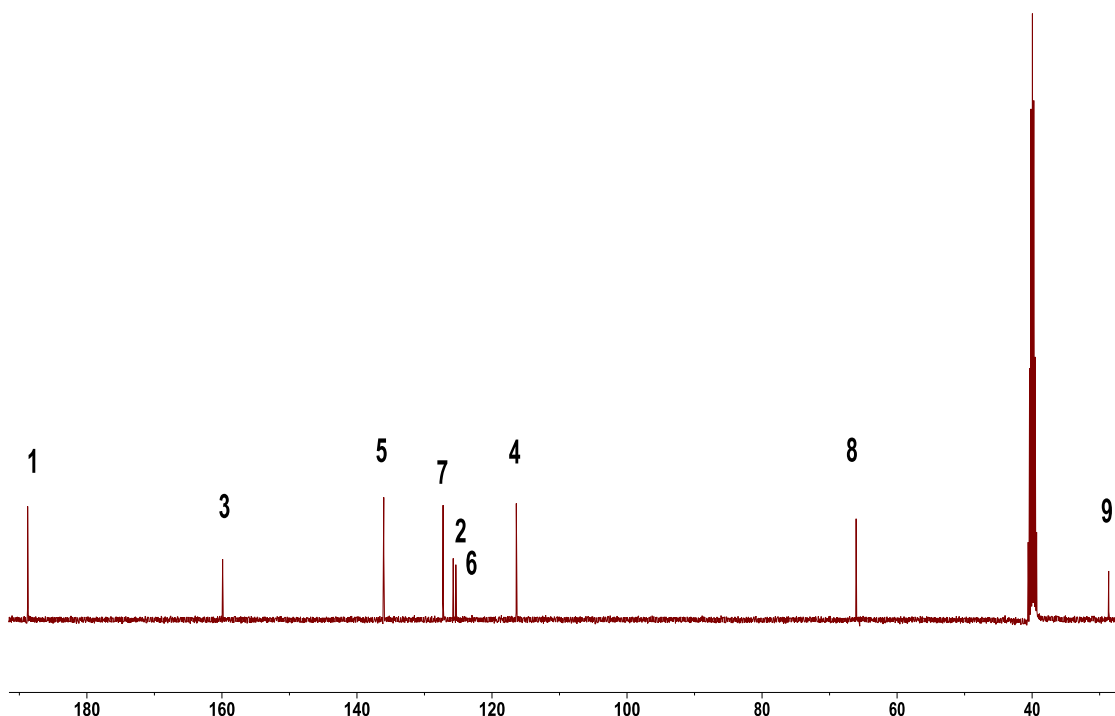


**Figura 28S(3.3)** Espectros de RMN (DMSO-*d*<sub>6</sub>) de **51a**: a) <sup>1</sup>H y b) <sup>13</sup>C.

a)

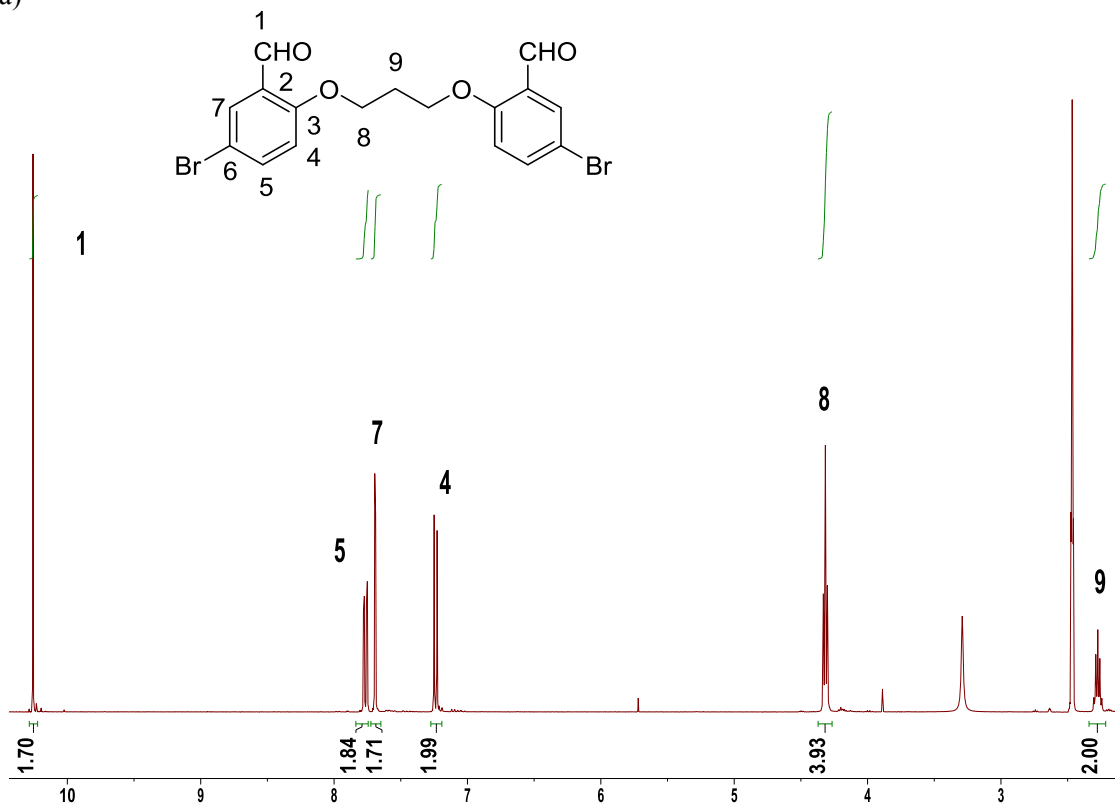


b)

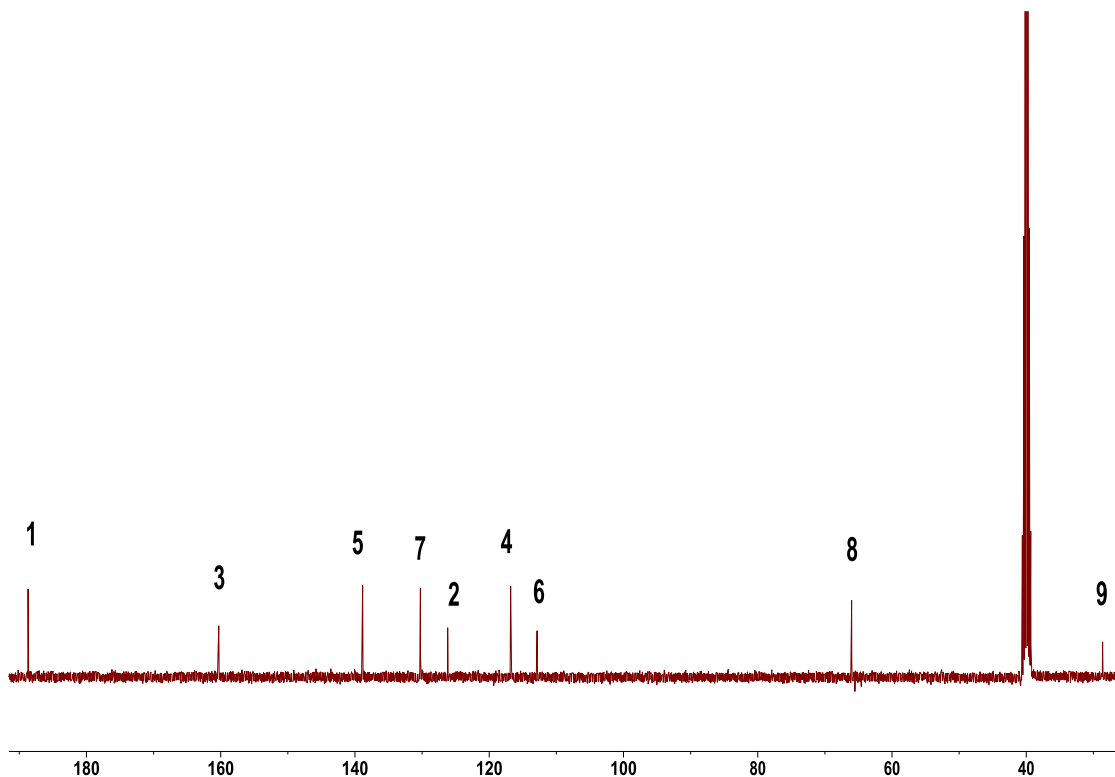


**Figura29S(3.3)** Espectros de RMN(DMSO-*d*<sub>6</sub>) de **51b**: a) <sup>1</sup>H y b)<sup>13</sup>C.

a)



b)



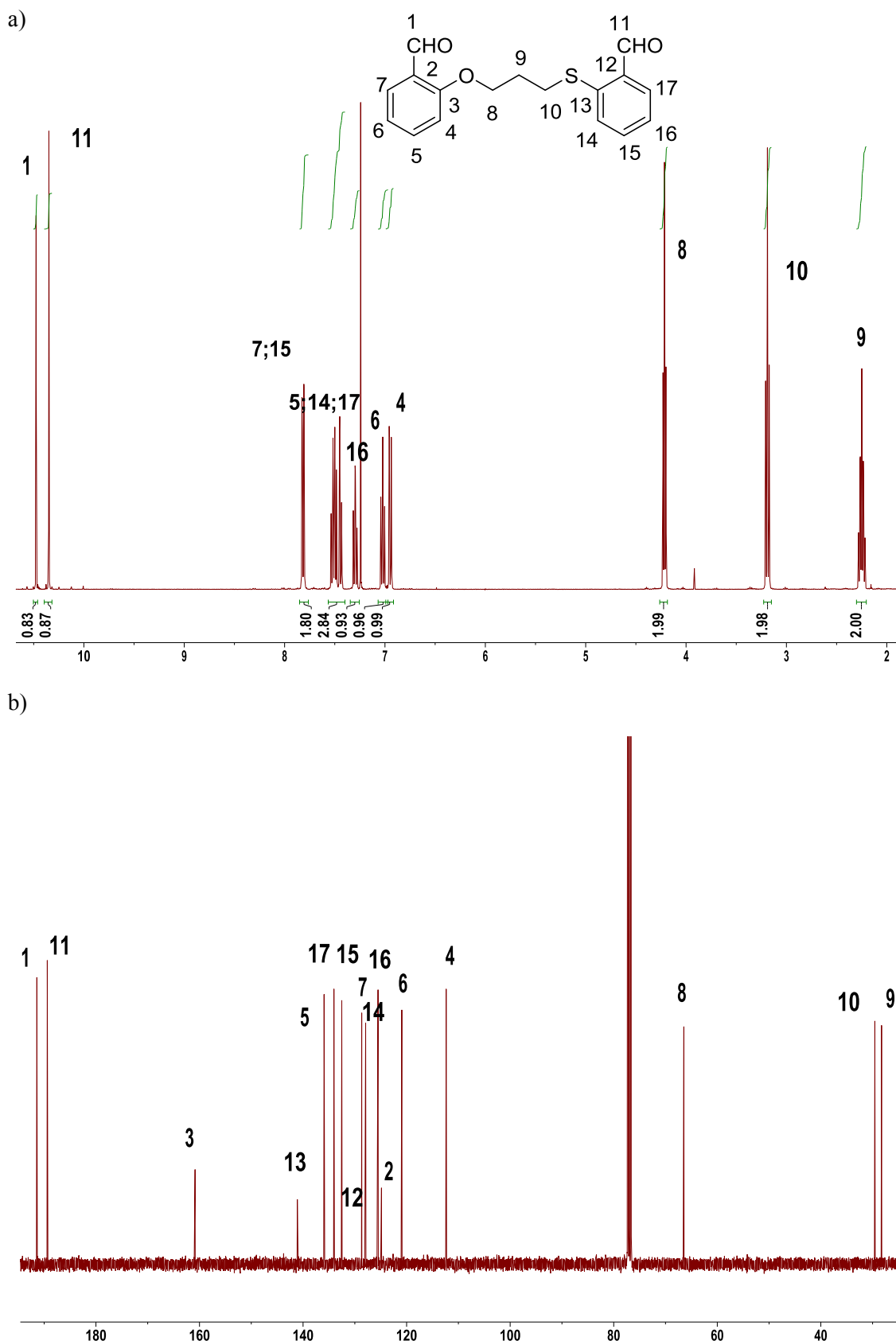
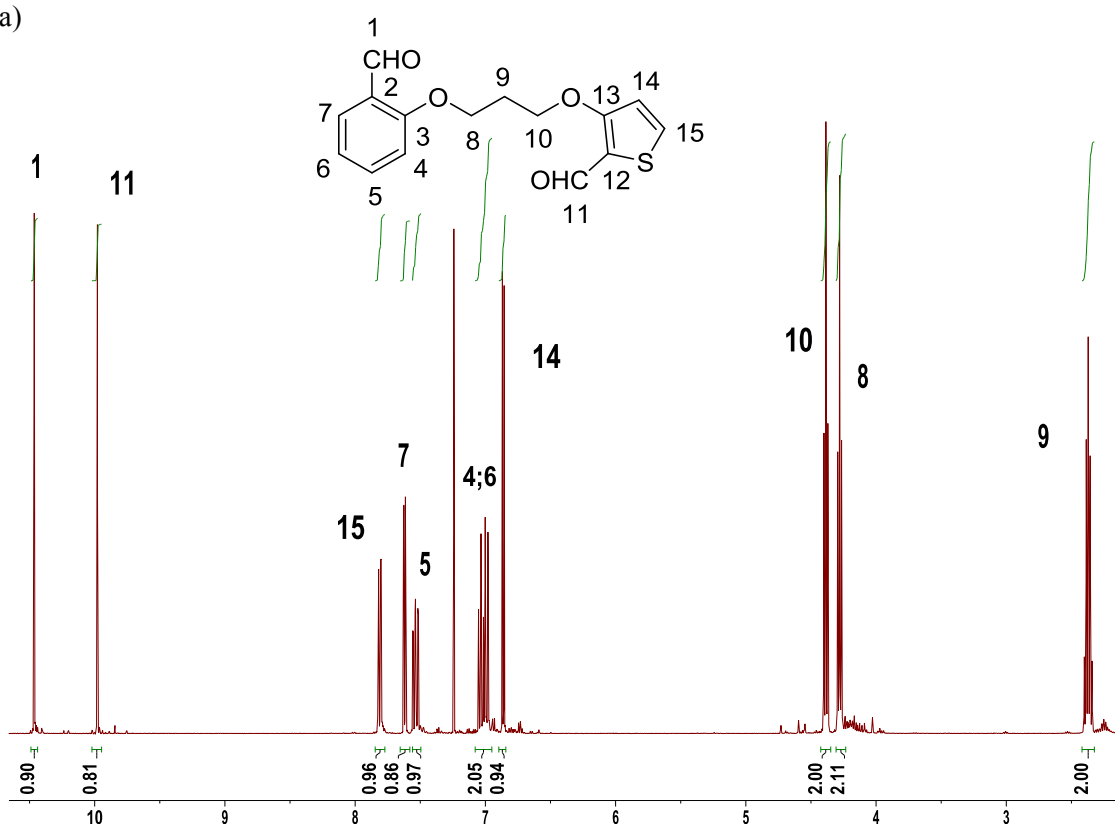
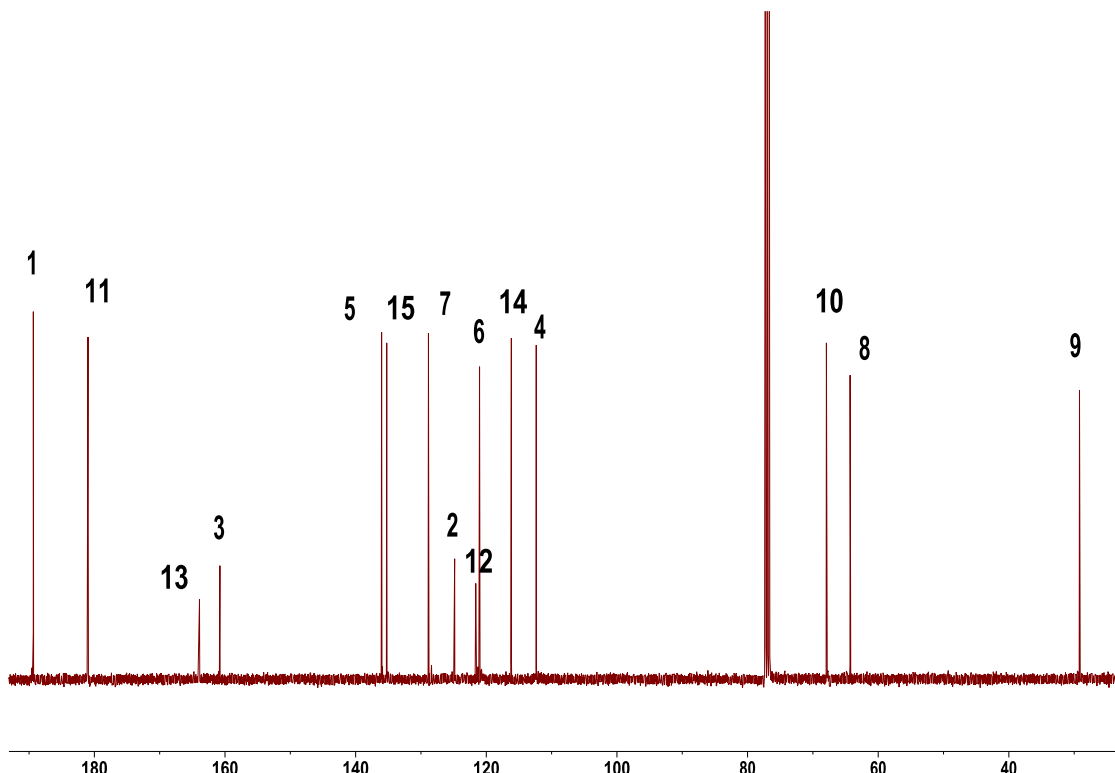
**Figura 30S(3.3)** Espectros de RMN ( $\text{CDCl}_3$ ) de **55**: a)  $^1\text{H}$  y b)  $^{13}\text{C}$ .

Figura 31S(3.3) Espectros de RMN ( $\text{CDCl}_3$ ) de **58**: a)  $^1\text{H}$  y b)  $^{13}\text{C}$ .

a)

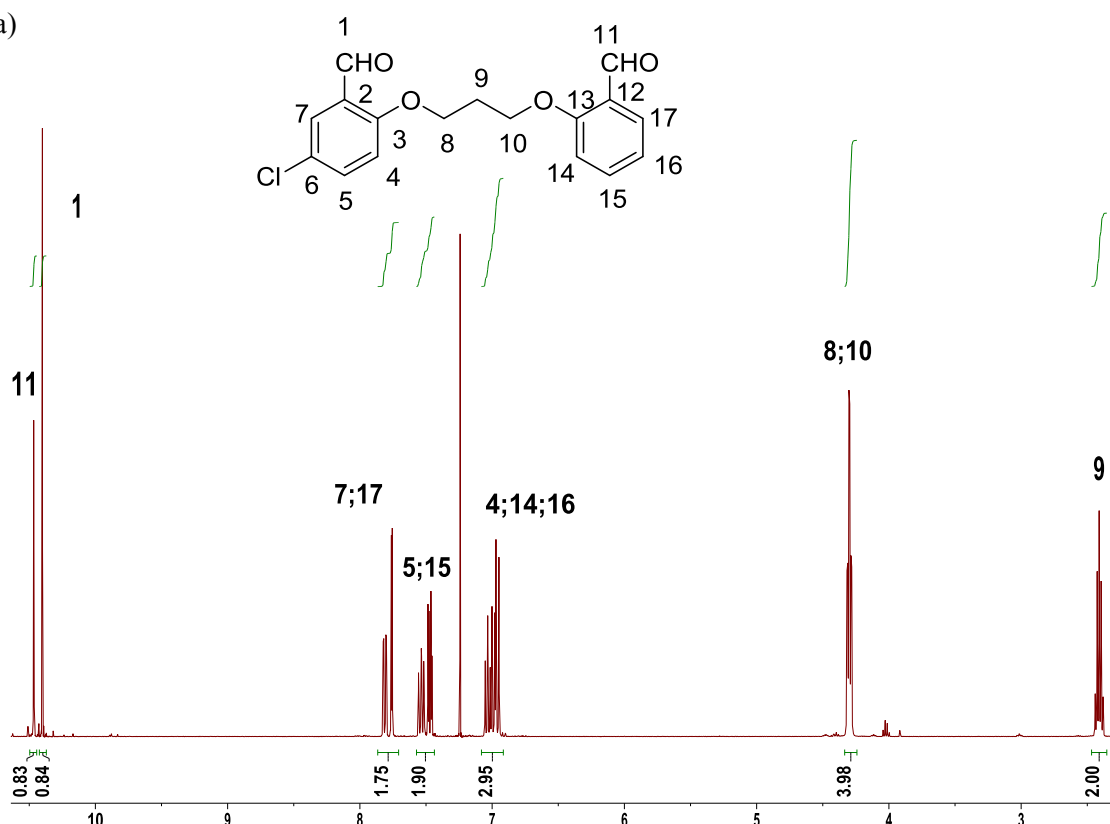


b)

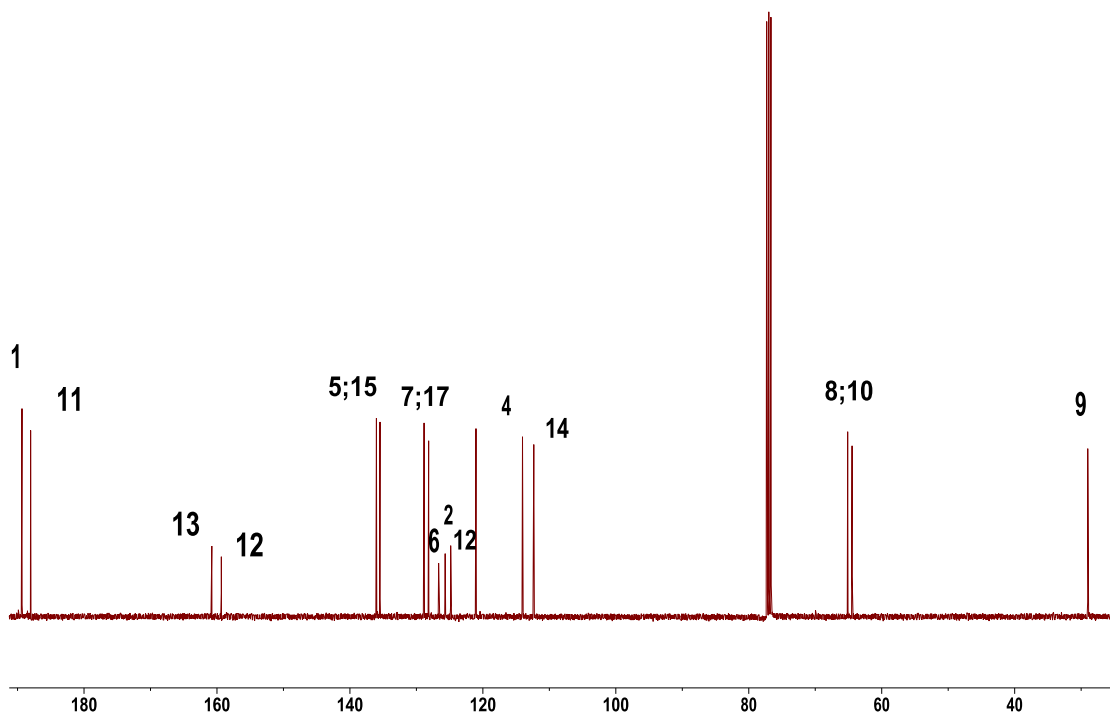


**Figura32S(3.3)** Espectros de RMN ( $\text{CDCl}_3$ ) de **61a**: a)  $^1\text{H}$  y b)  $^{13}\text{C}$ .

a)

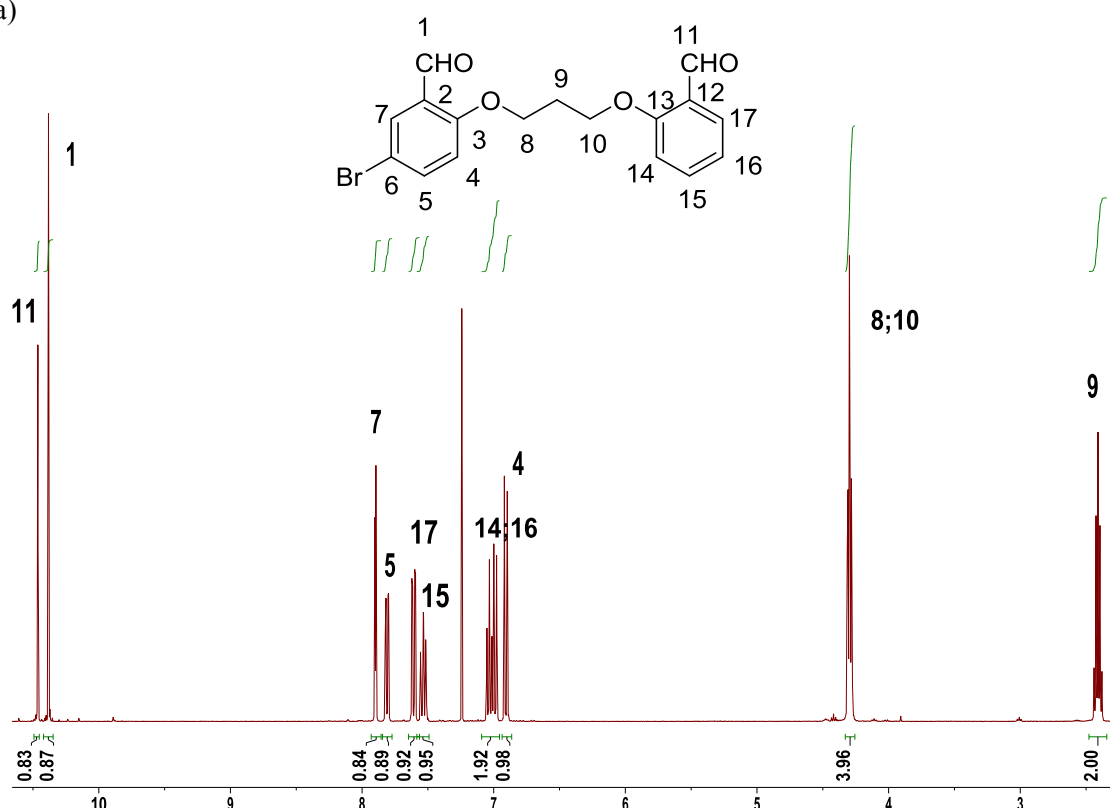


b)

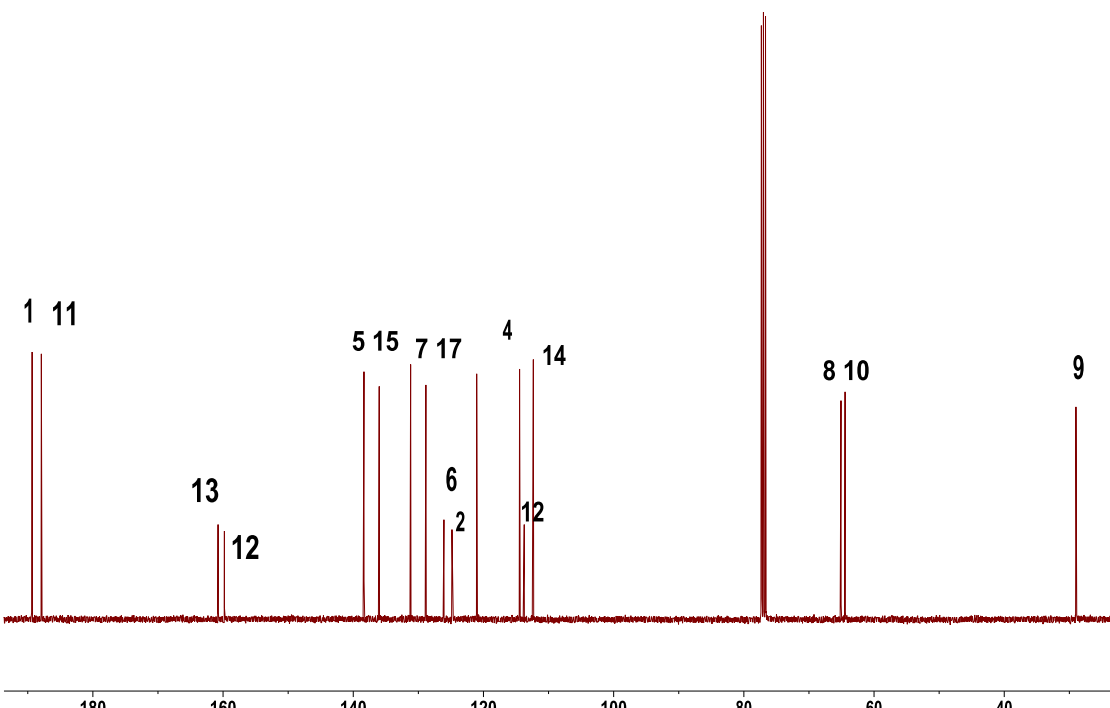


**Figura 33S(3.3)** Espectros de RMN( $\text{CDCl}_3$ ) de **61b**: a)  $^1\text{H}$  y b)  $^{13}\text{C}$ .

a)

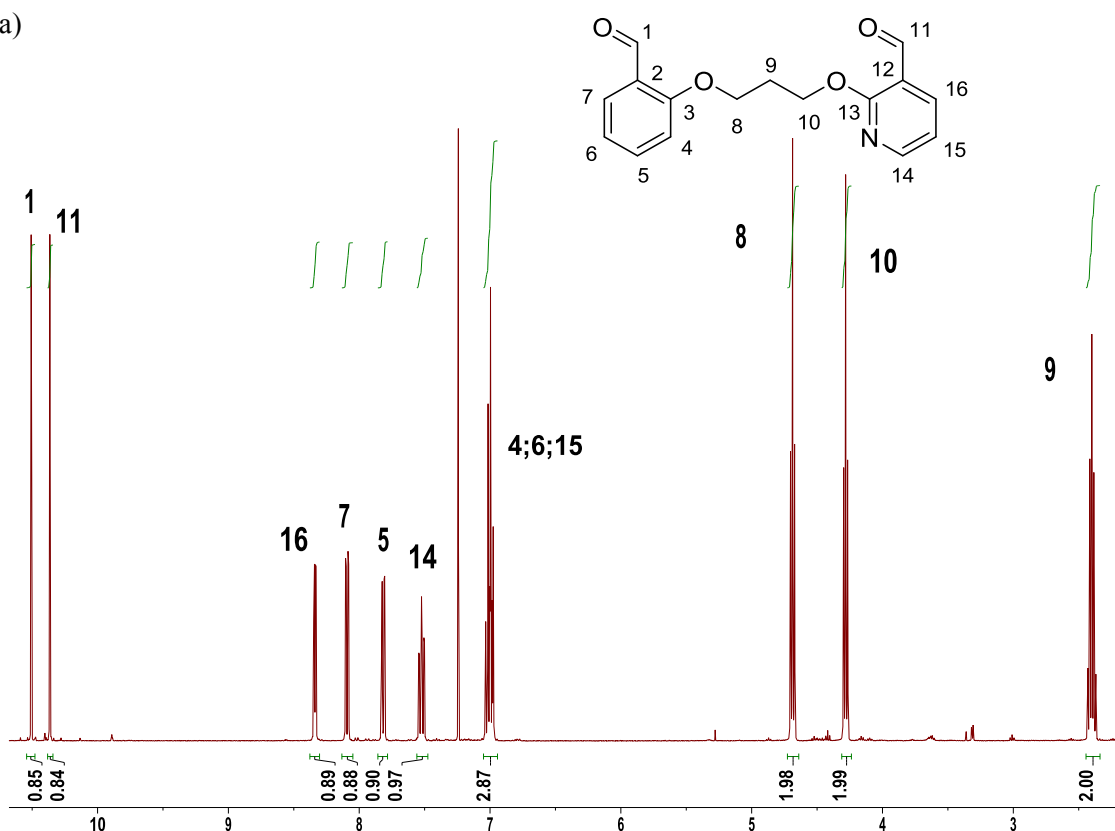


b)

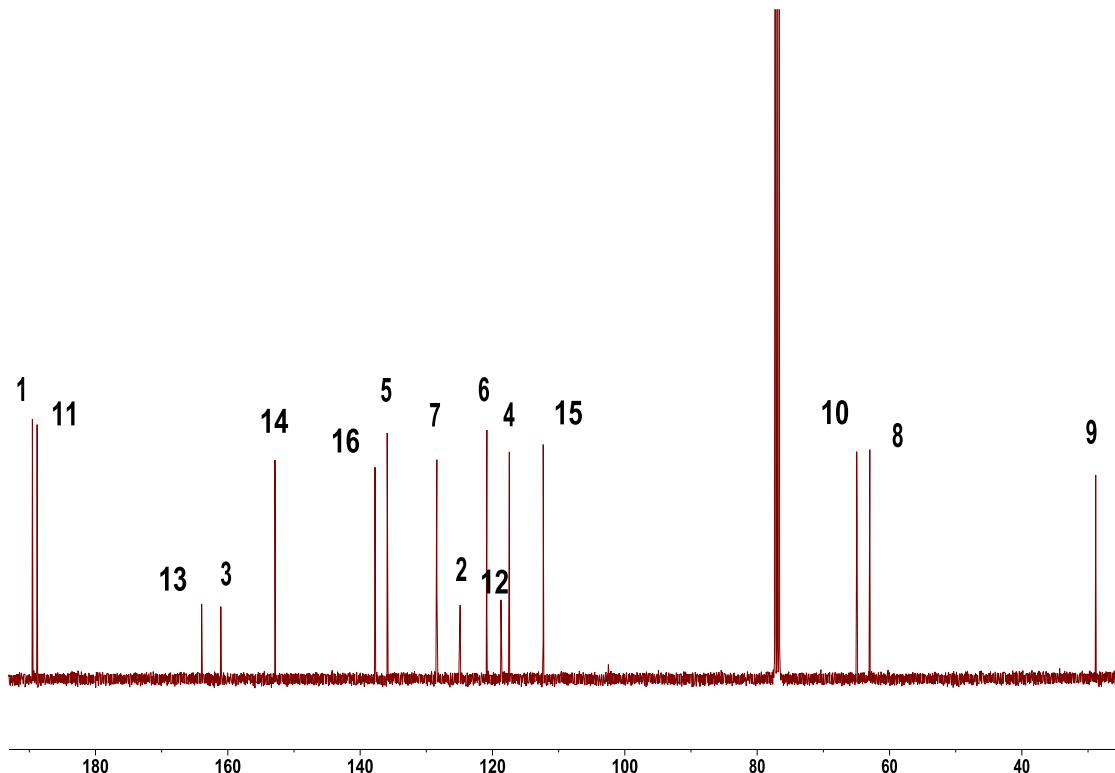


**Figura34S(3.3)** Espectros de RMN ( $\text{CDCl}_3$ ) de **67**: a)  $^1\text{H}$  y b)  $^{13}\text{C}$ .

a)

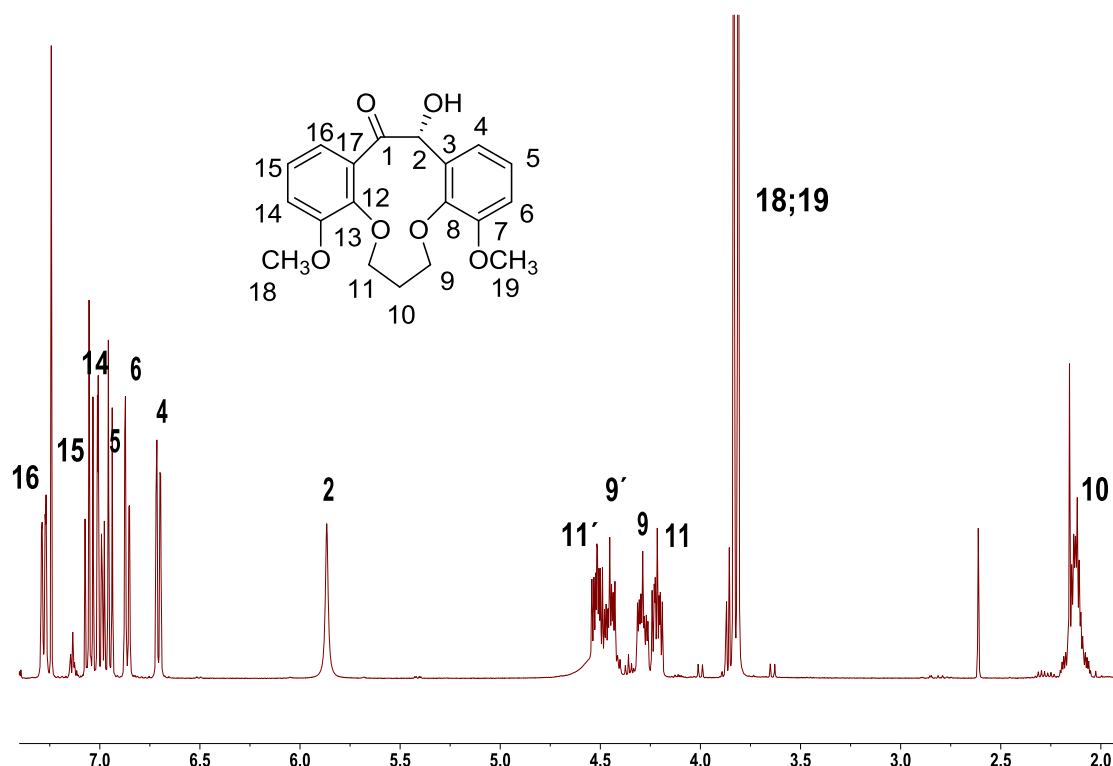


b)

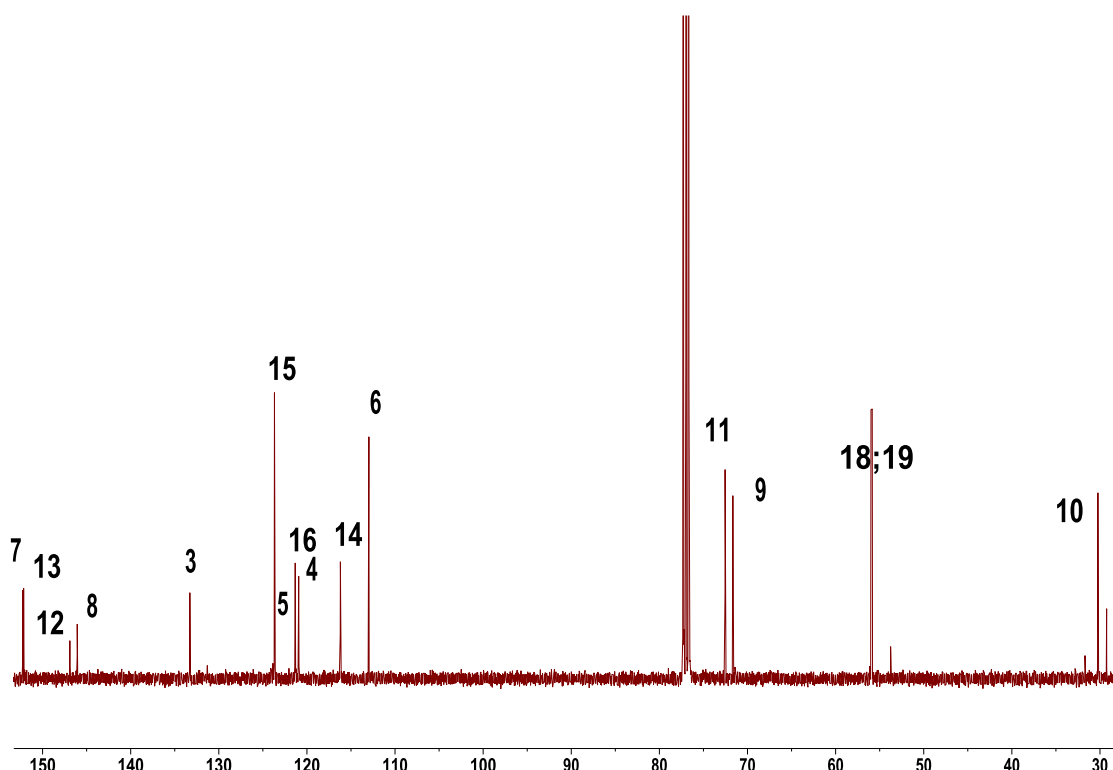


**Figura 35S(3.3)** Espectros de RMN( $\text{CDCl}_3$ ) de **68**: a)  $^1\text{H}$ ; b)  $^{13}\text{C}$ ; c) 2D  $^1\text{H}$ - $^1\text{H}$  COSY; d) HSQC y e) HMBC.

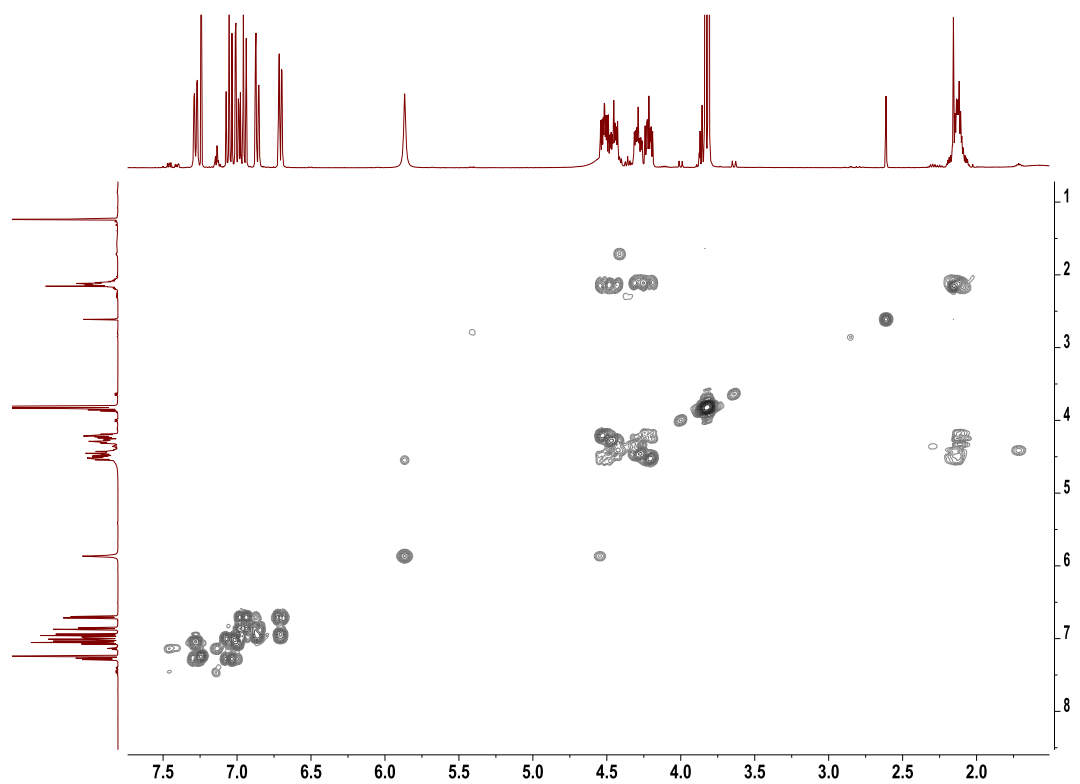
a)



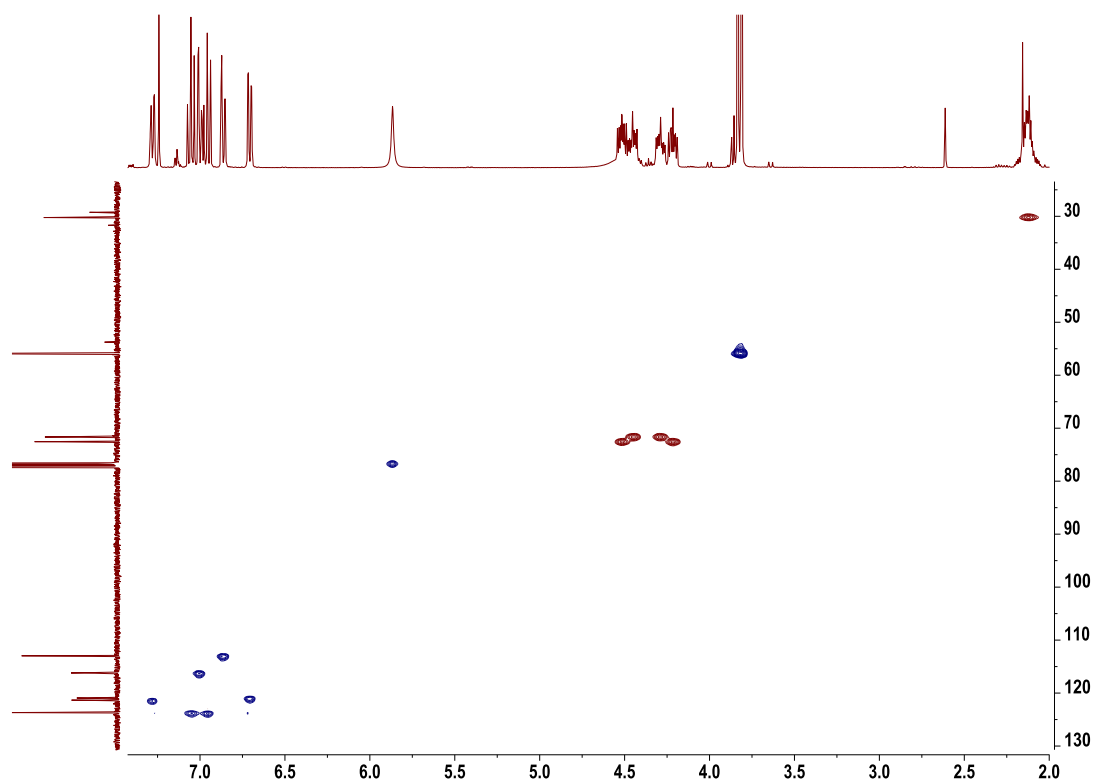
b)



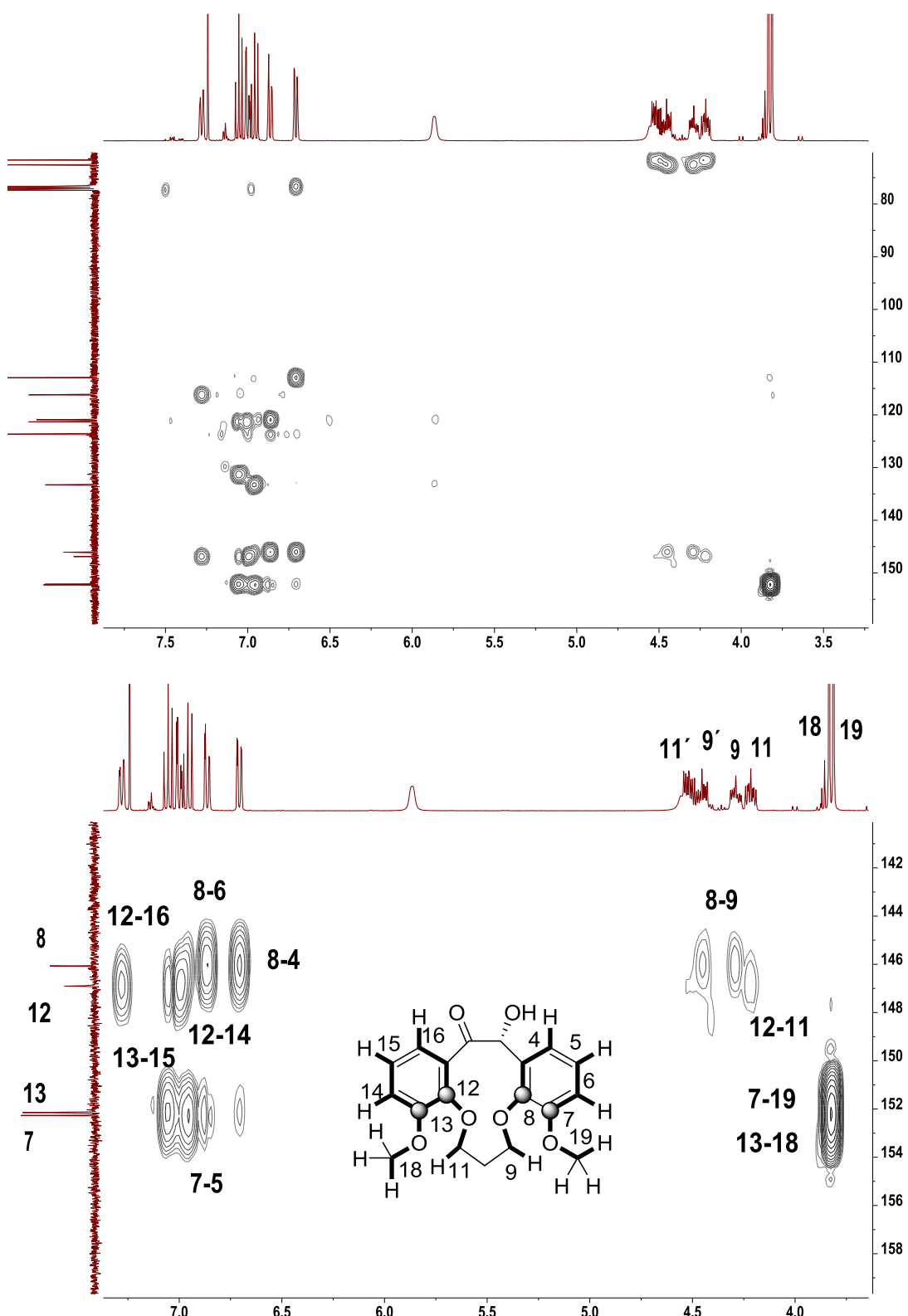
c)



d)

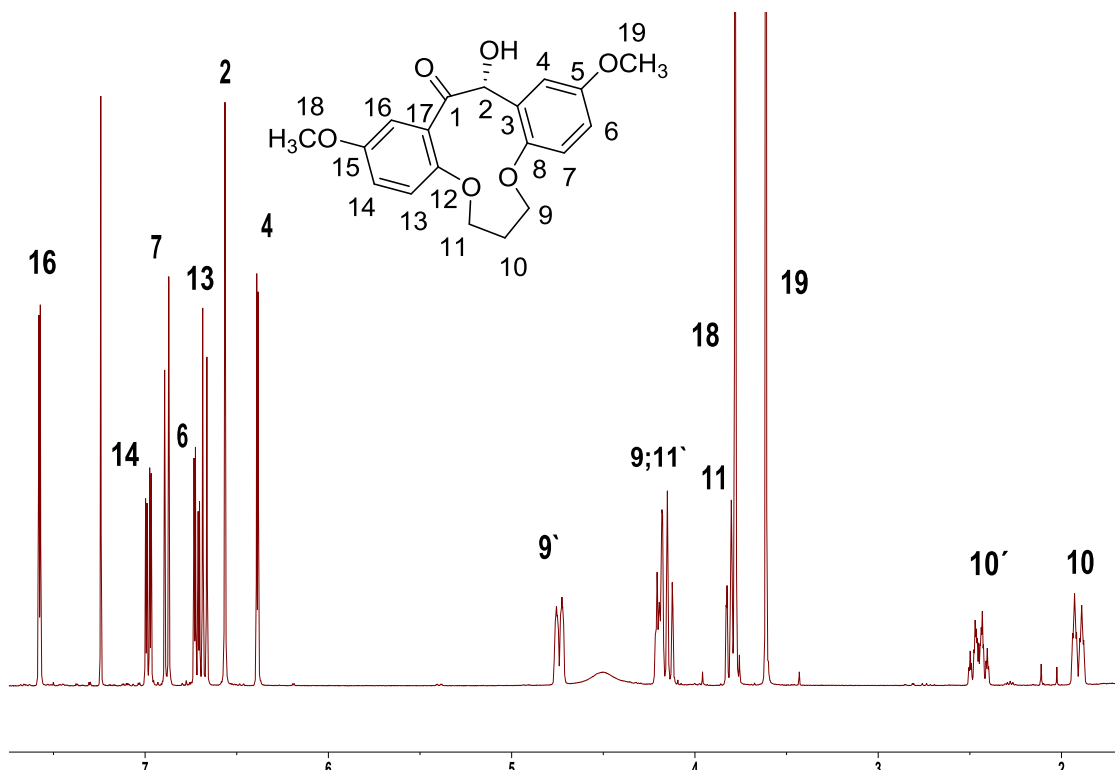


e)

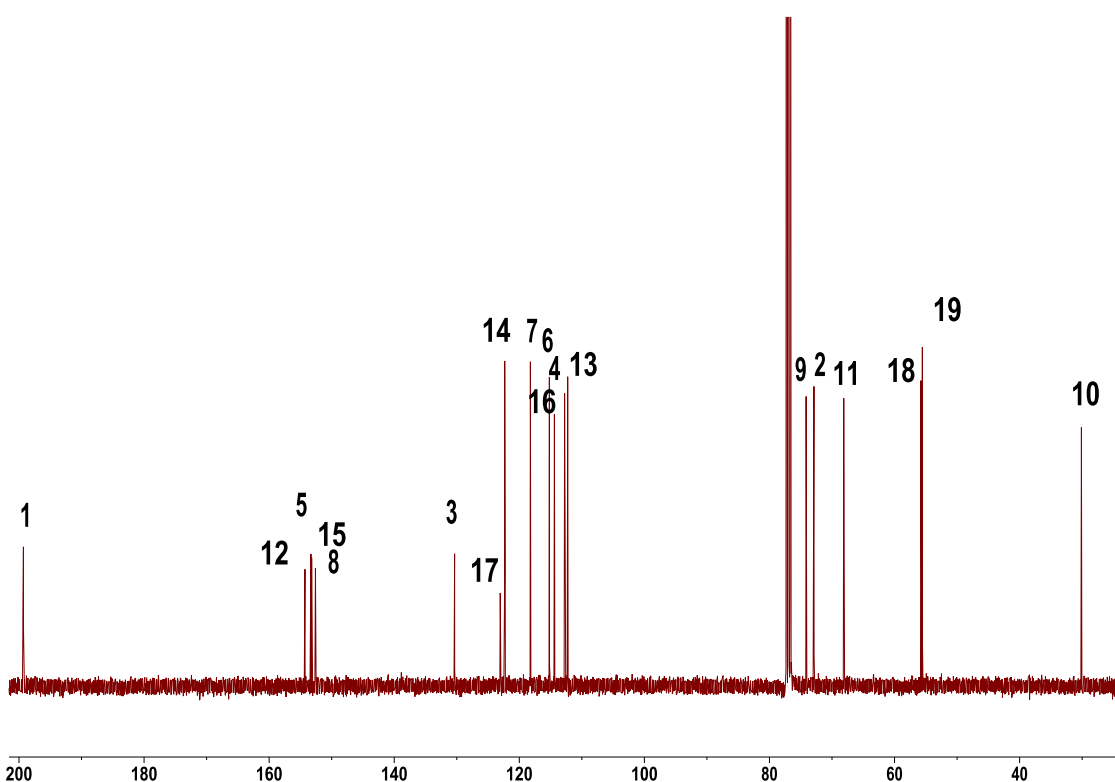


**Figura 36S(3.3)** Espectros de RMN( $\text{CDCl}_3$ ) de **69**: a)  $^1\text{H}$ ; b)  $^{13}\text{C}$ ; c) 2D  $^1\text{H}$ - $^1\text{H}$  COSY; d) HSQC y e) HMBC.

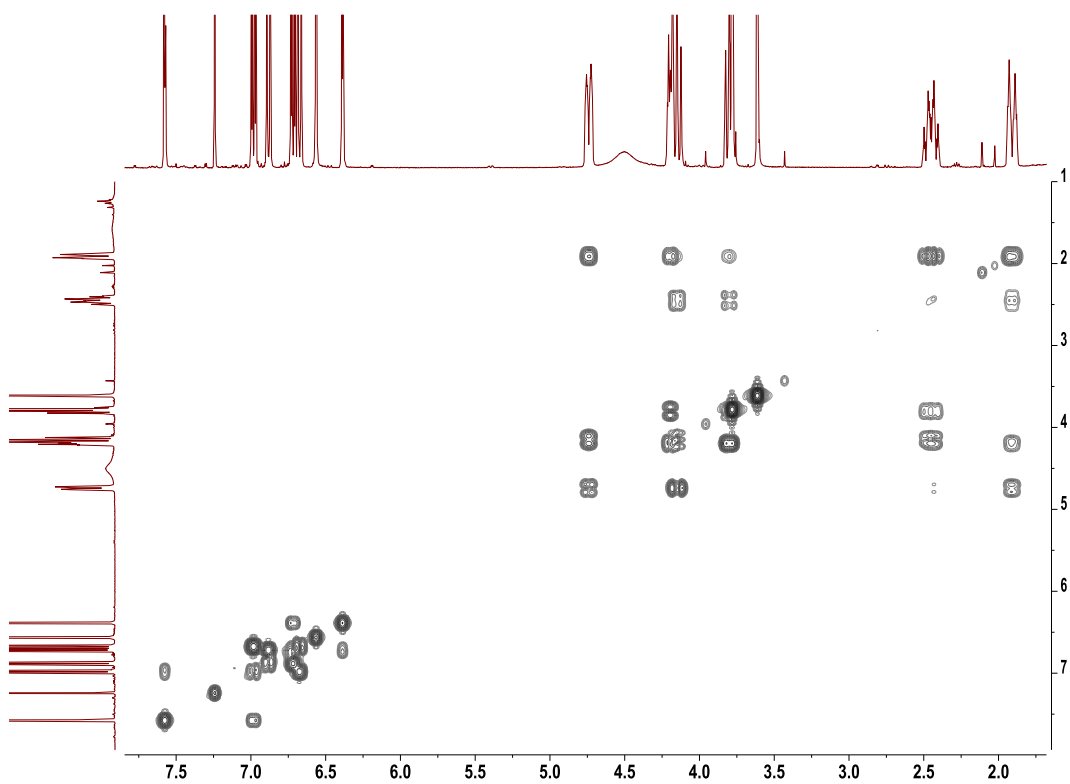
a)



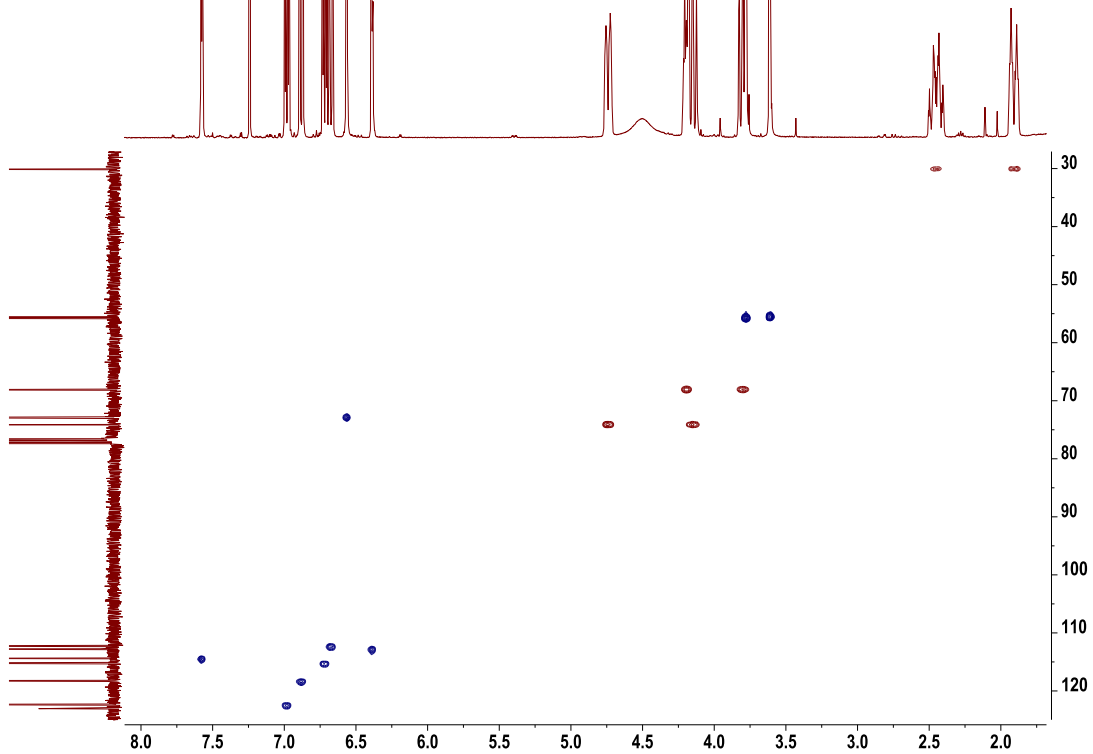
b)



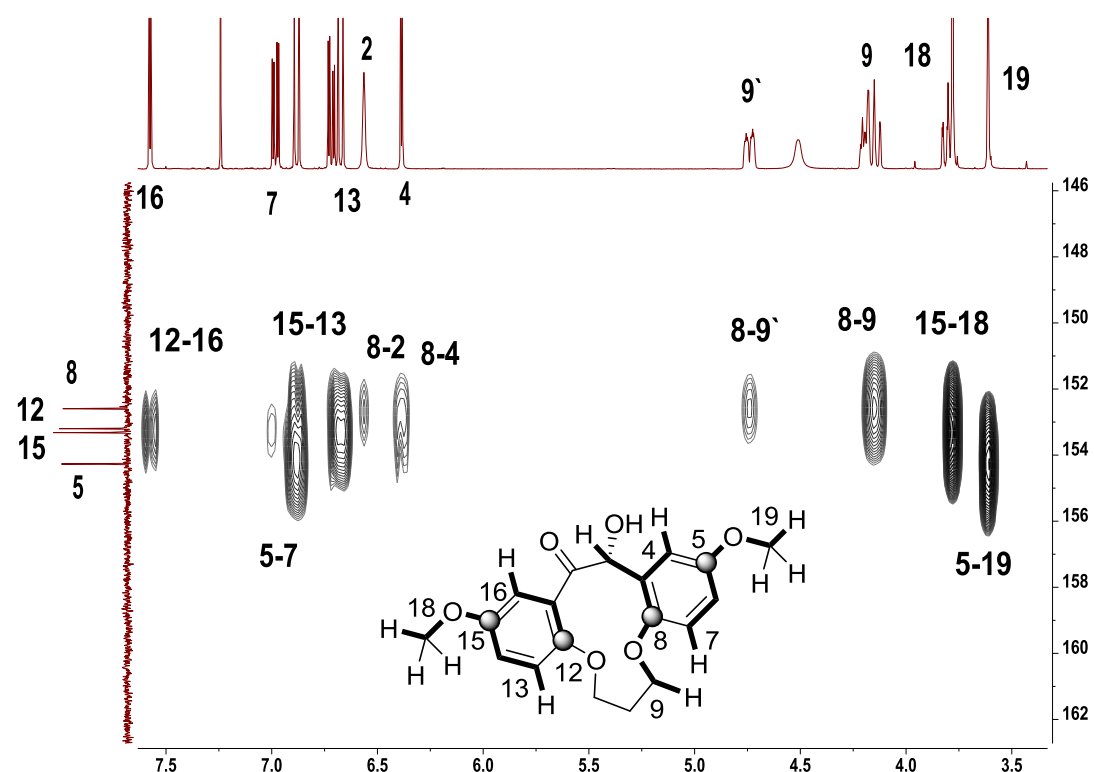
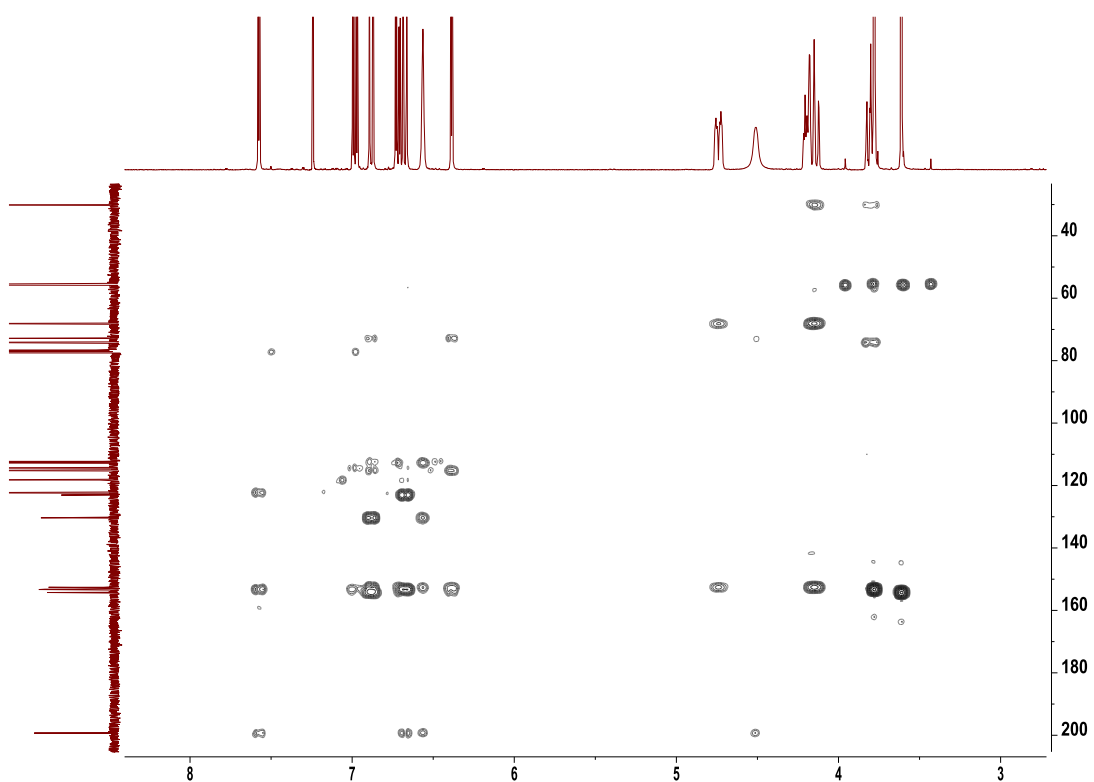
c)



d)

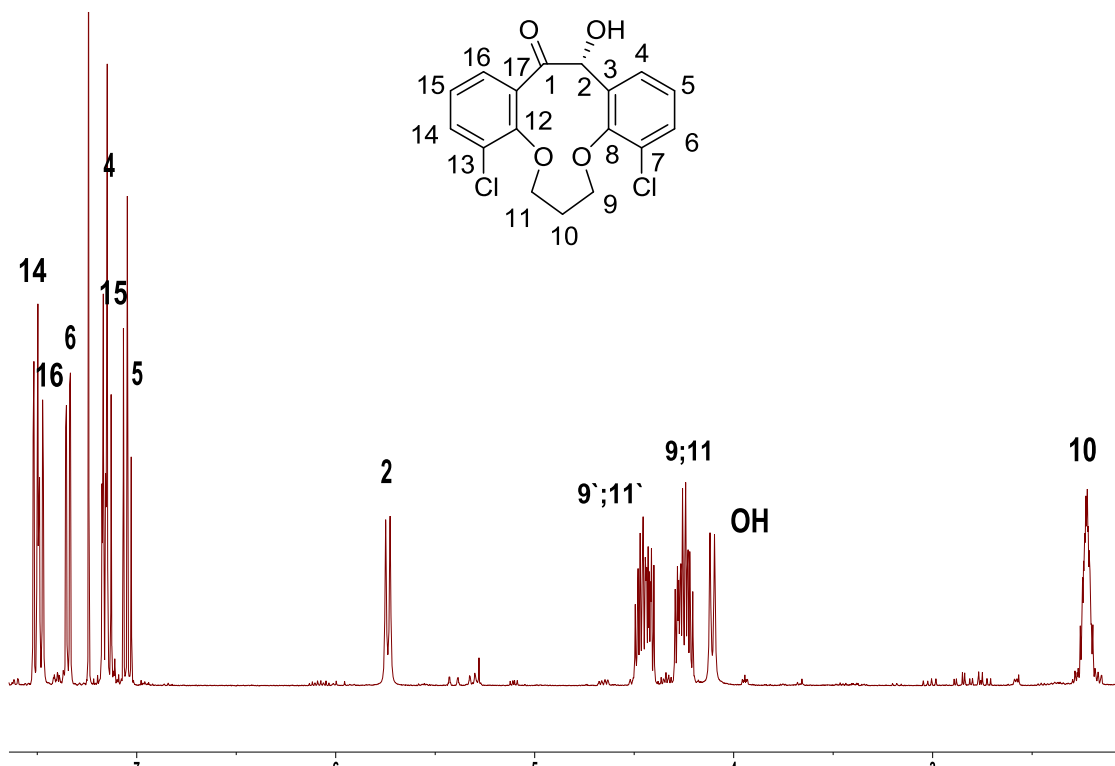


e)

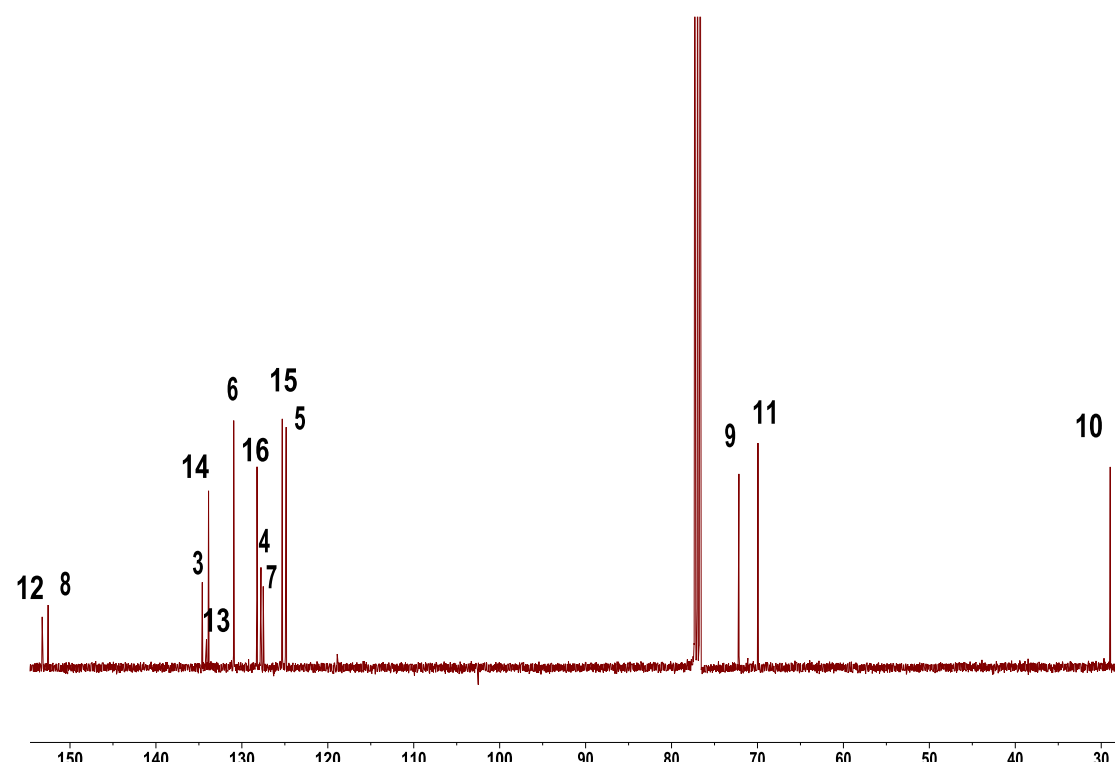


**Figura 37S(3.3)** Espectros de RMN ( $\text{CDCl}_3$ ) de **70**: a)  $^1\text{H}$ ; b)  $^{13}\text{C}$ ; c) 2D  $^1\text{H}$ - $^1\text{H}$  COSY; d) HSQC y e) HMBC.

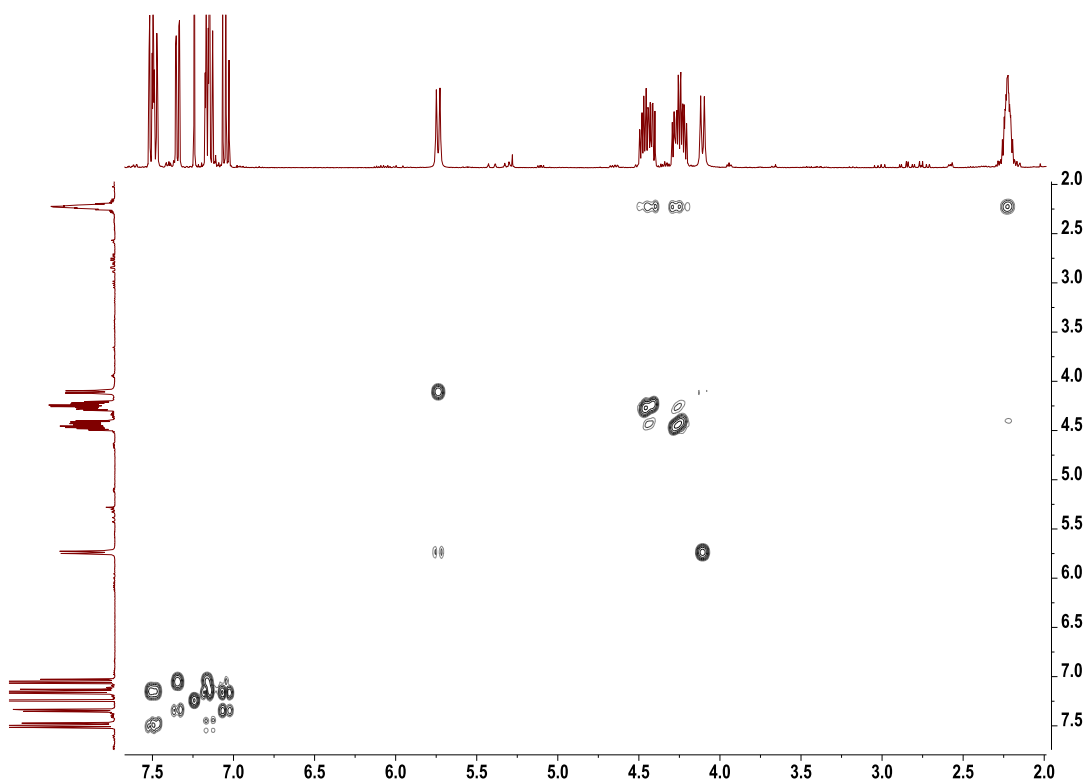
a)



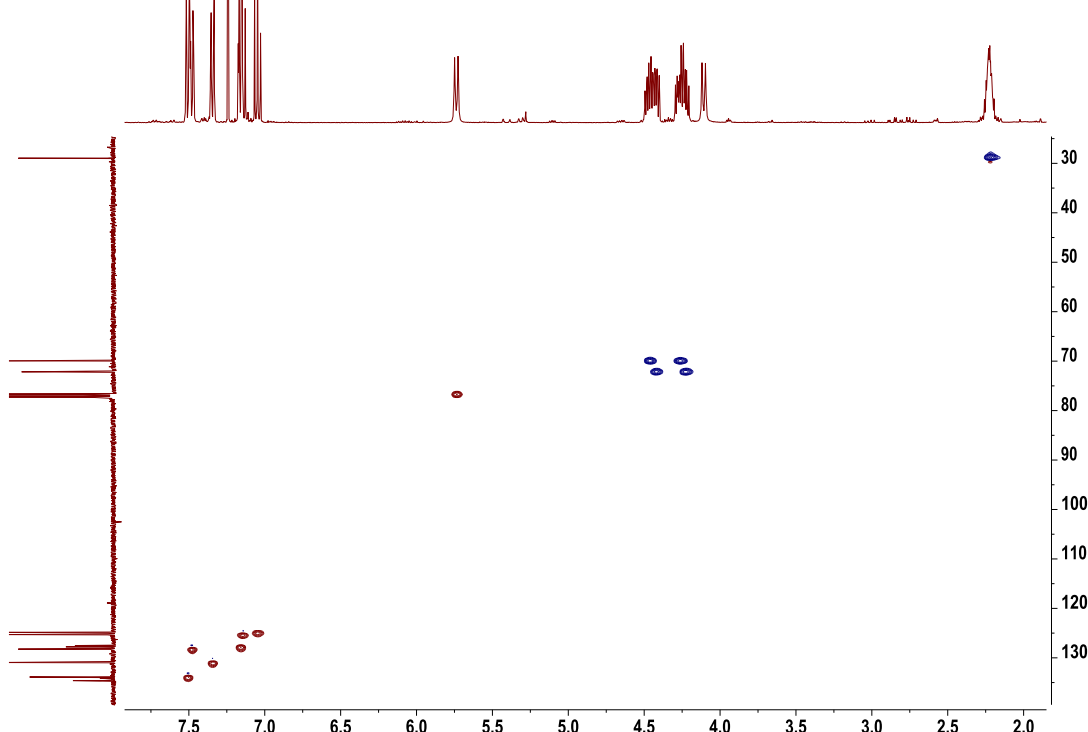
b)



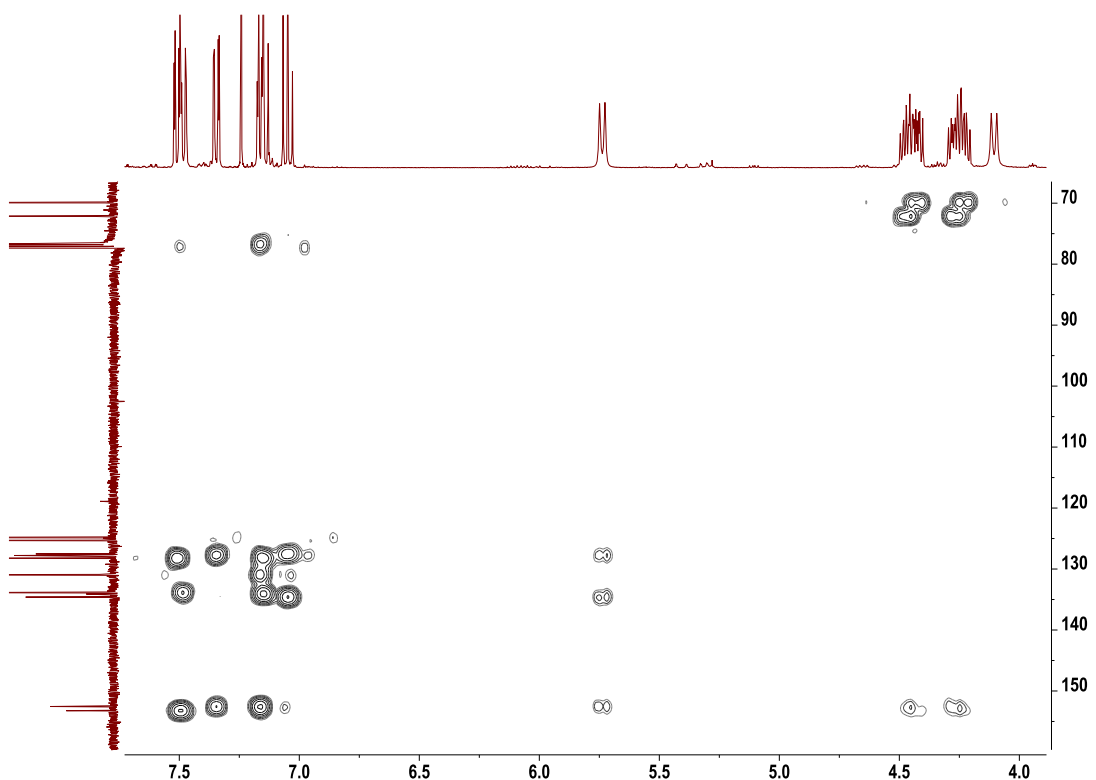
c)



d)

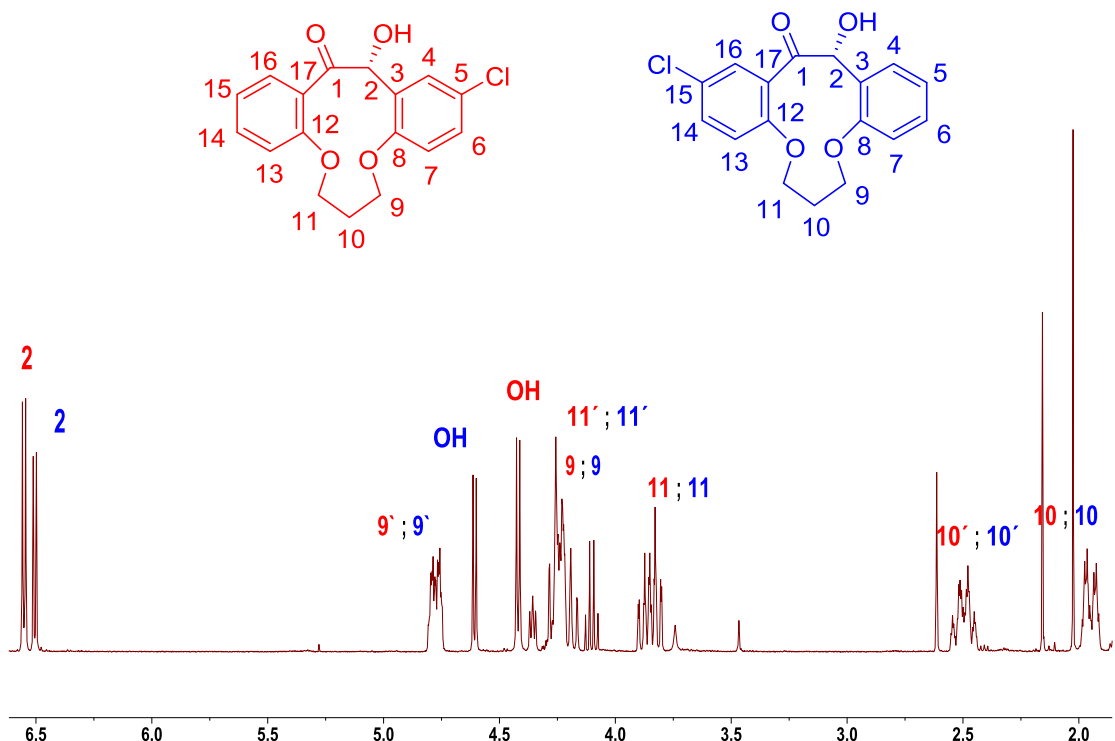
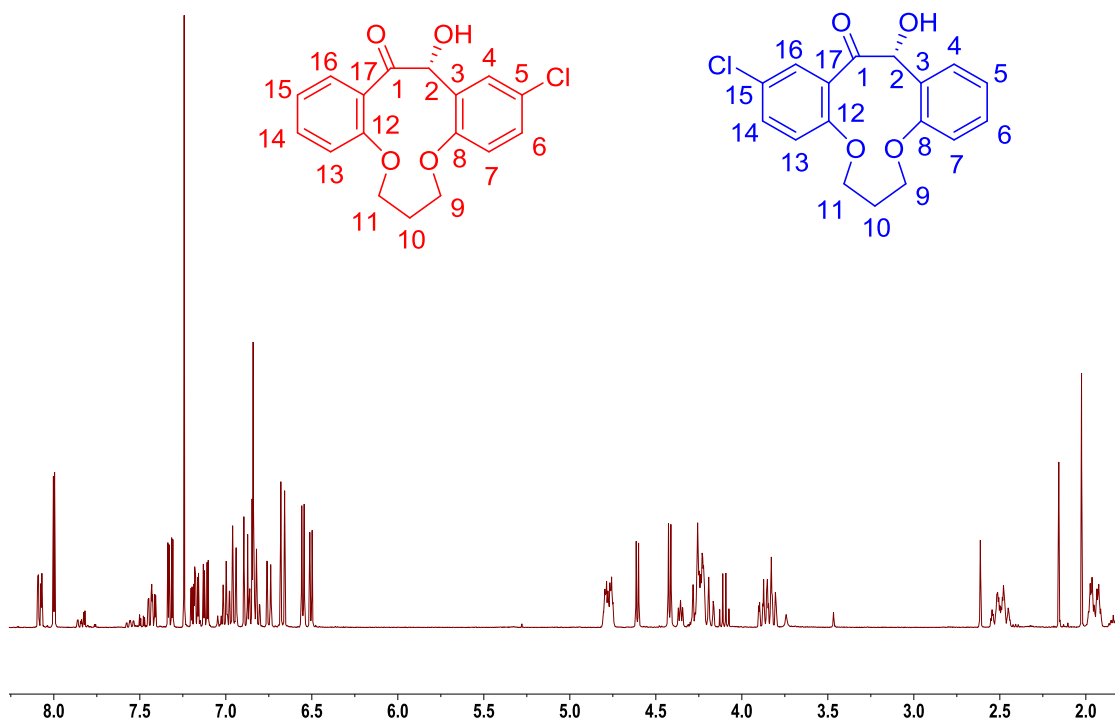


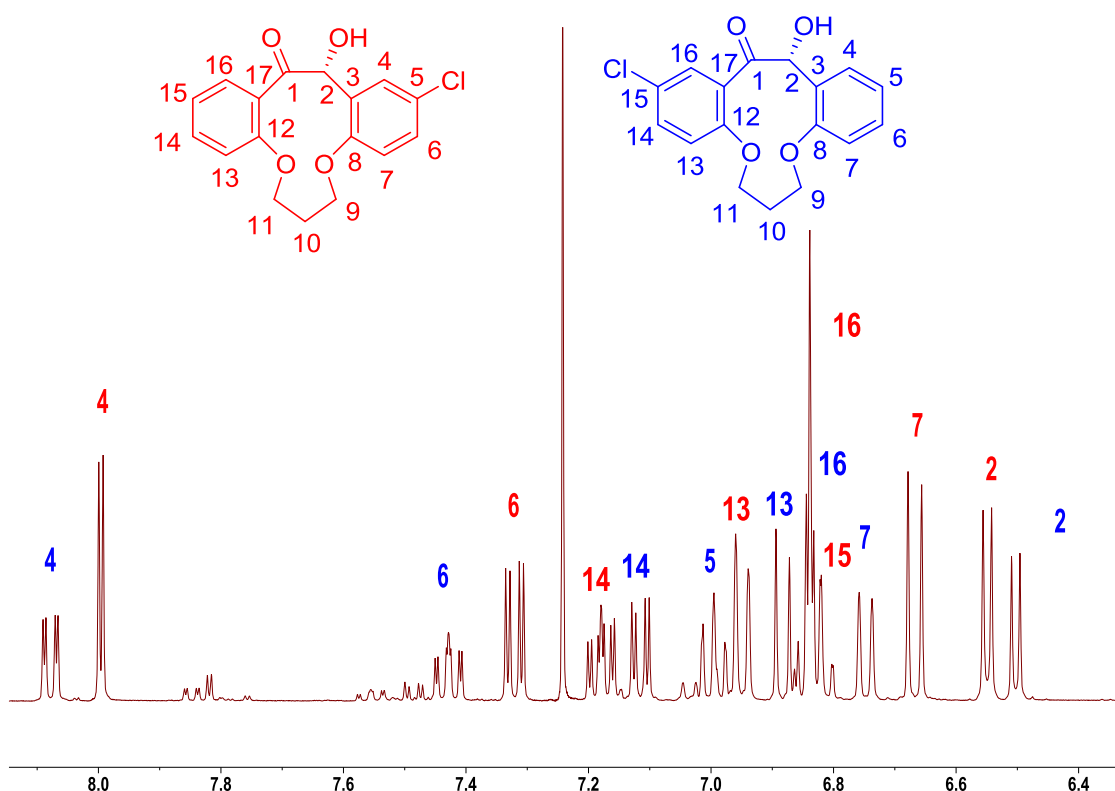
e)



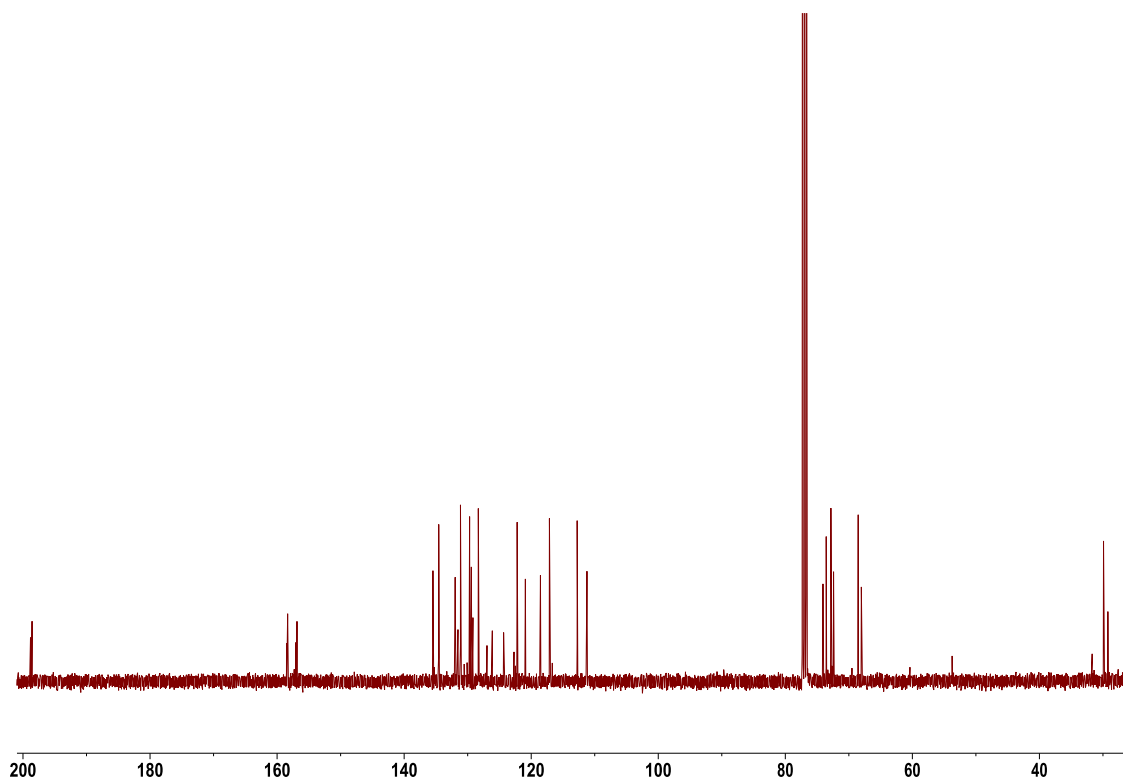
**Figura 38S(3.3)** Espectros de RMN( $\text{CDCl}_3$ ) de **71e,f**: a)  $^1\text{H}$ ; b)  $^{13}\text{C}$ ; c) 2D  $^1\text{H}$ - $^1\text{H}$  COSY; d) HSQC y e) HMBC.

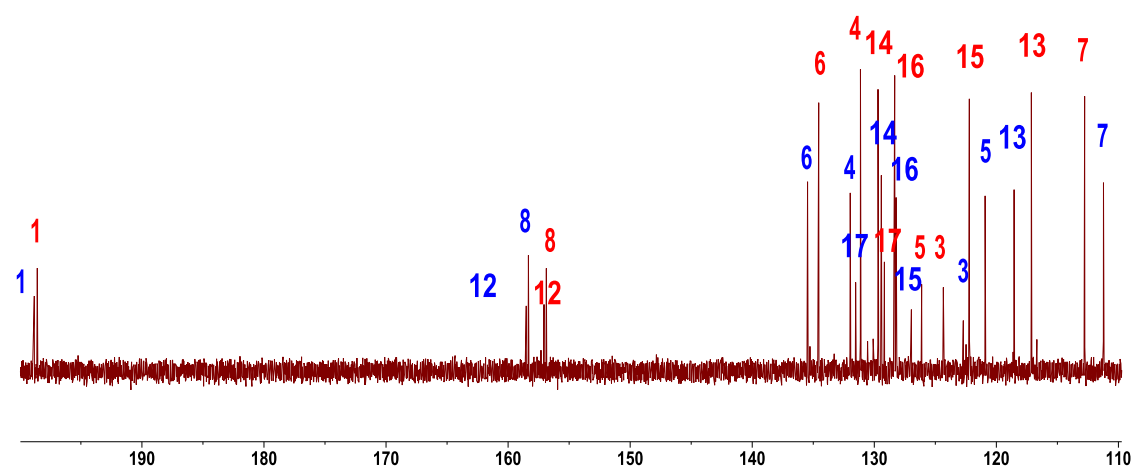
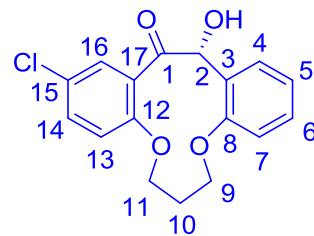
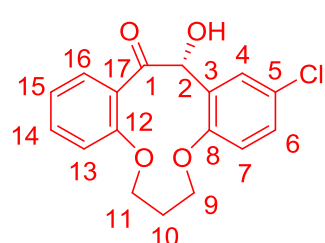
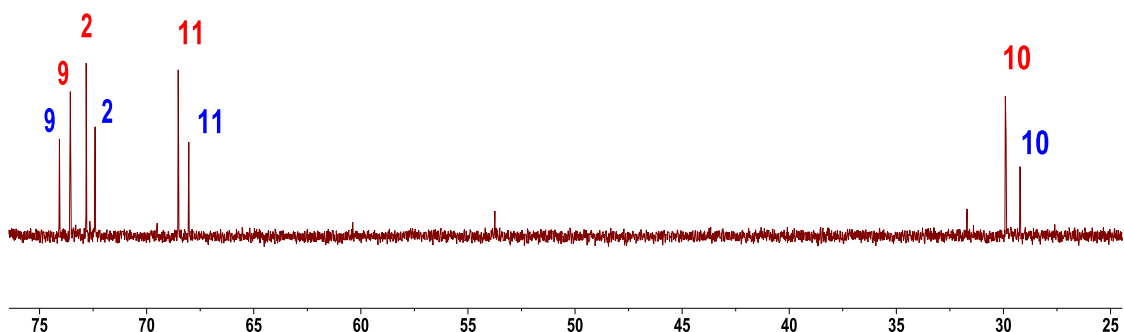
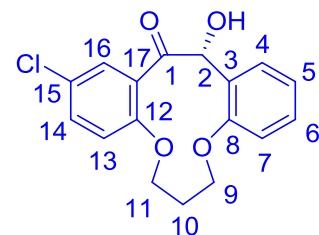
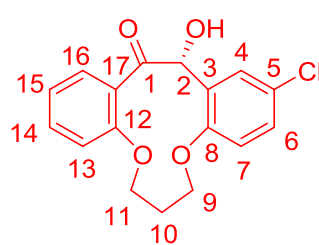
a)

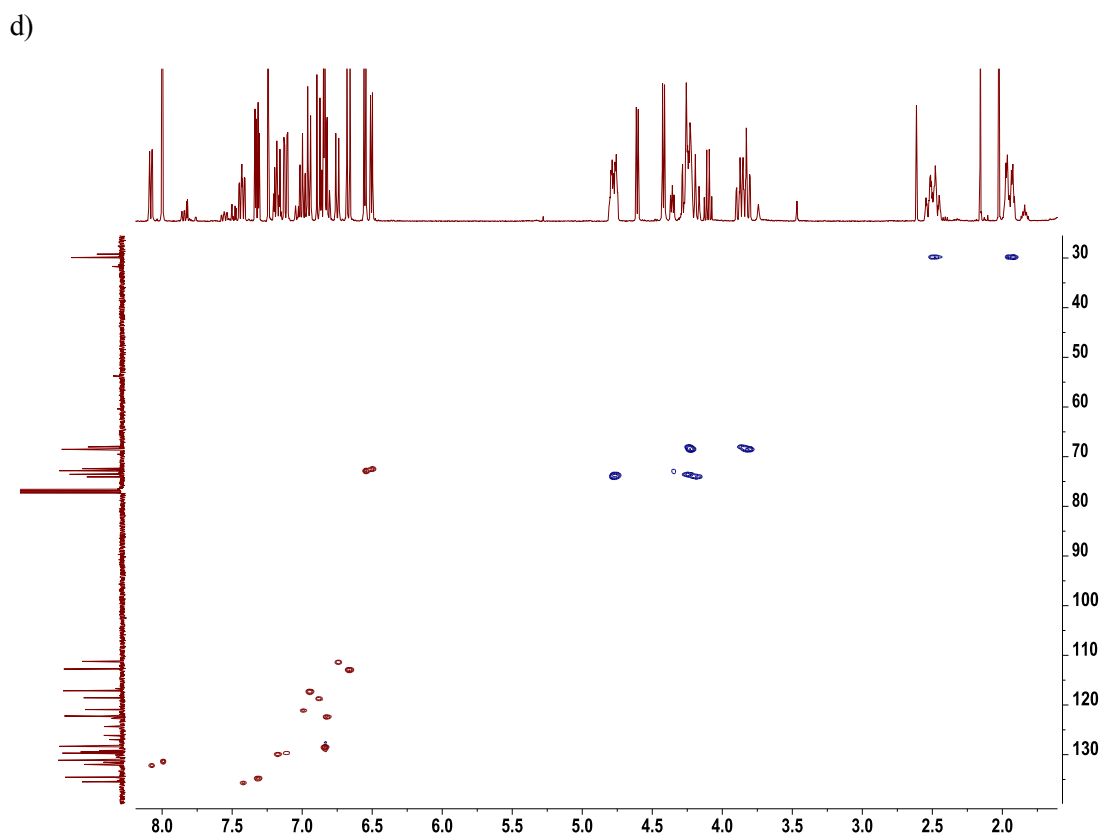
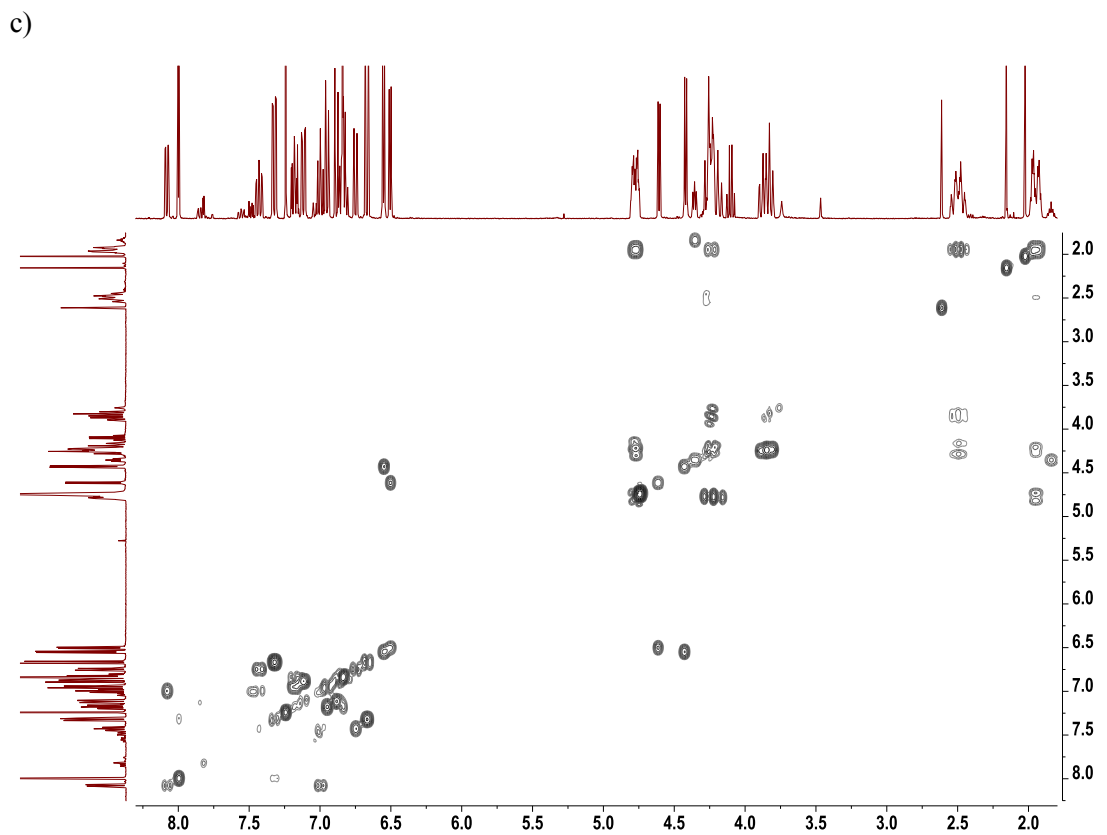




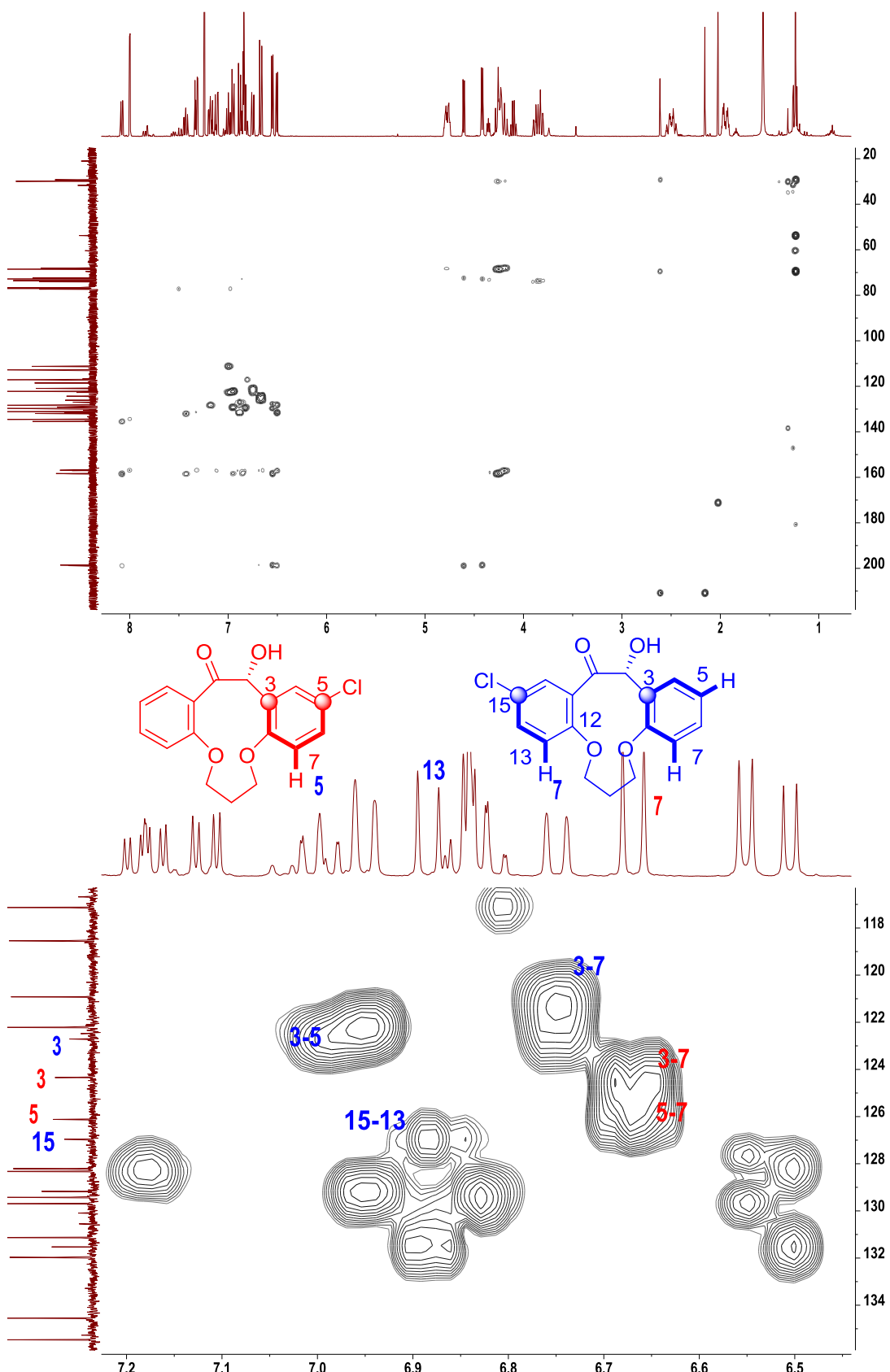
b)

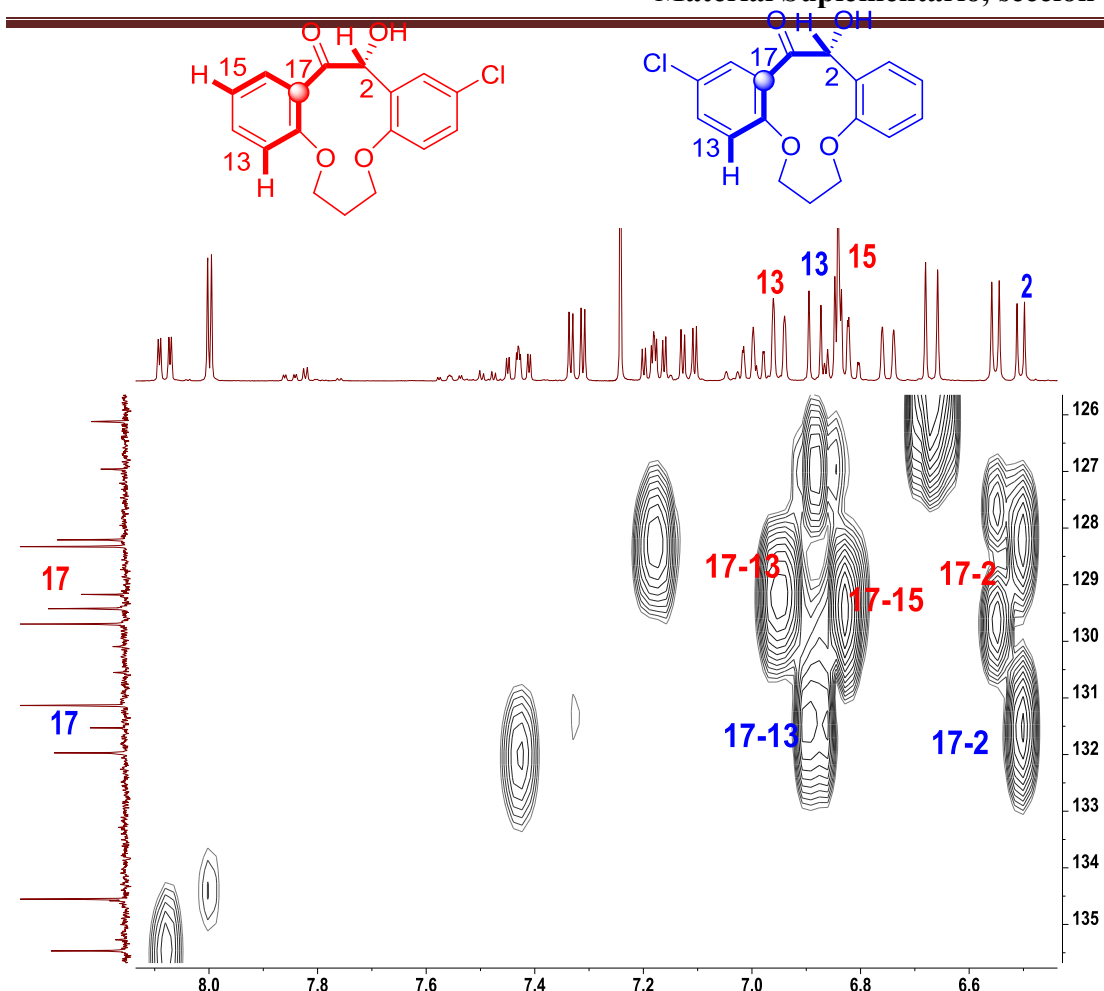






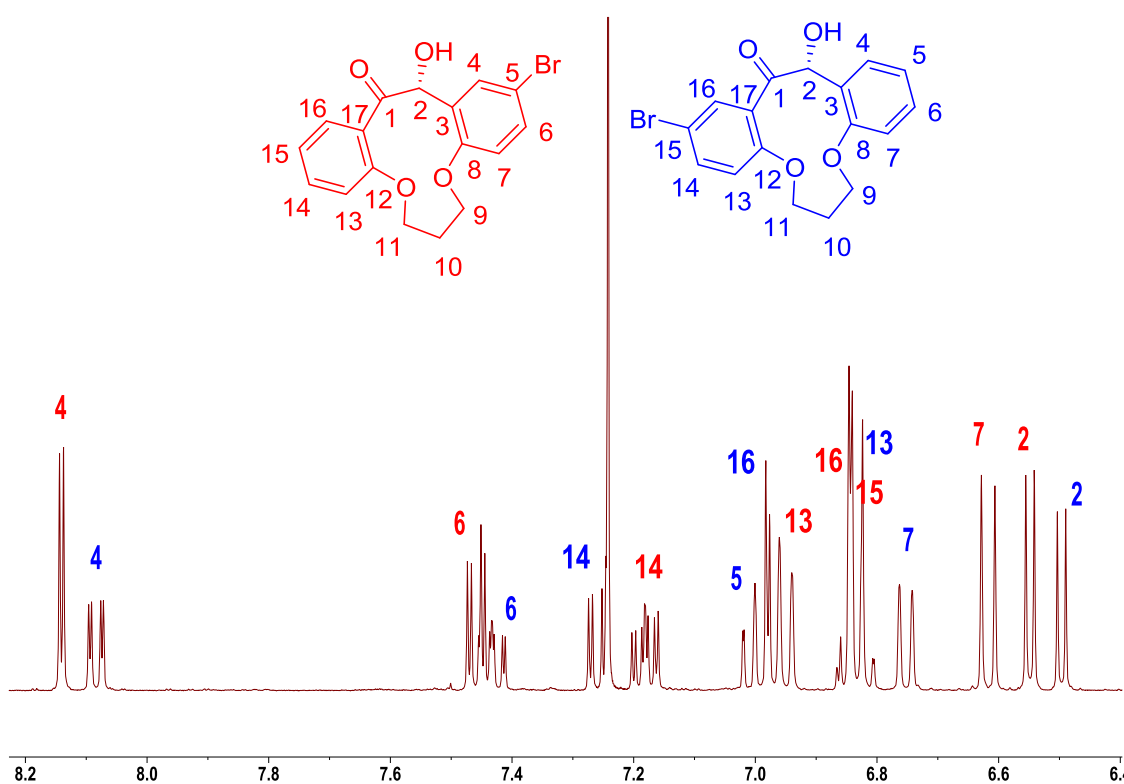
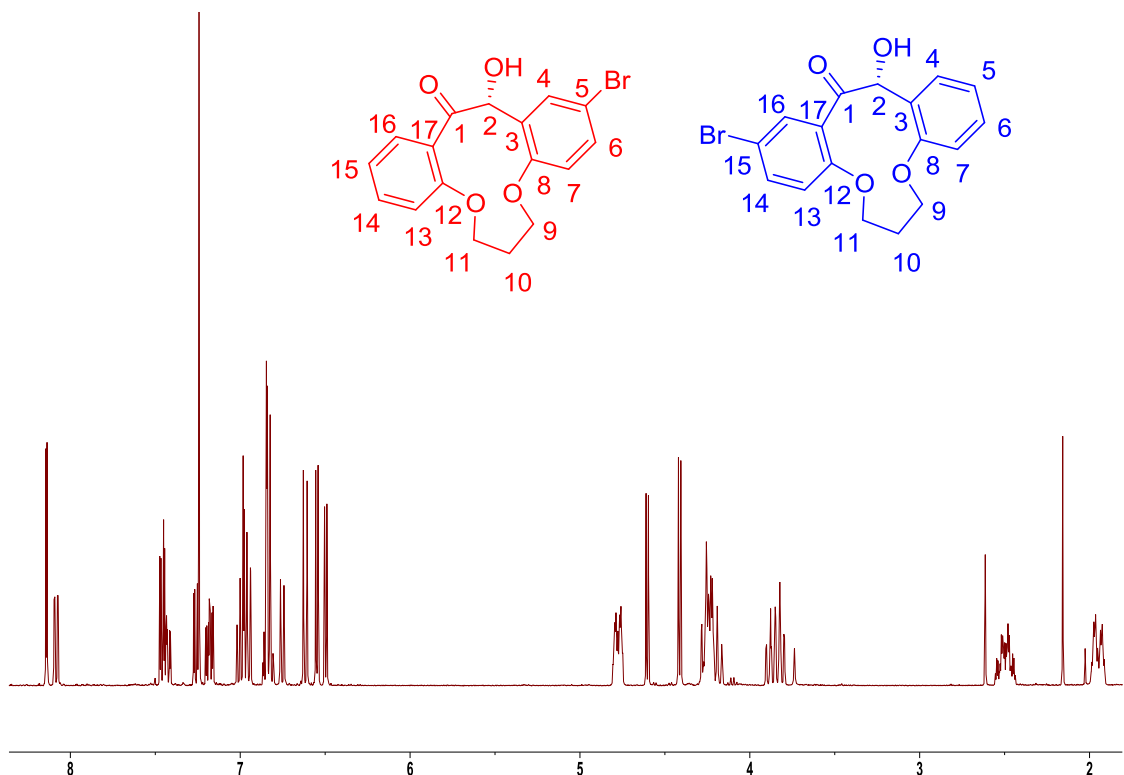
e)

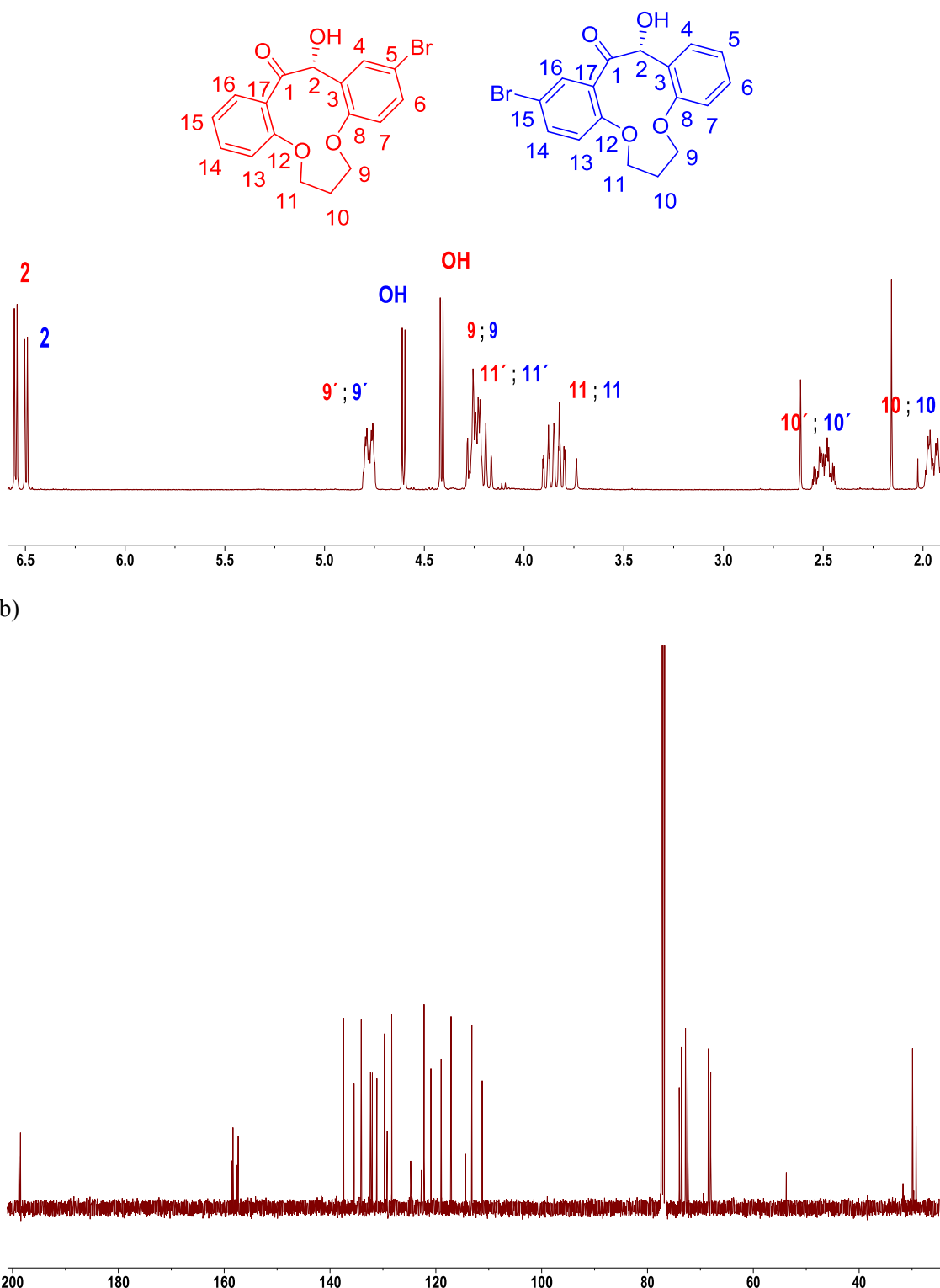


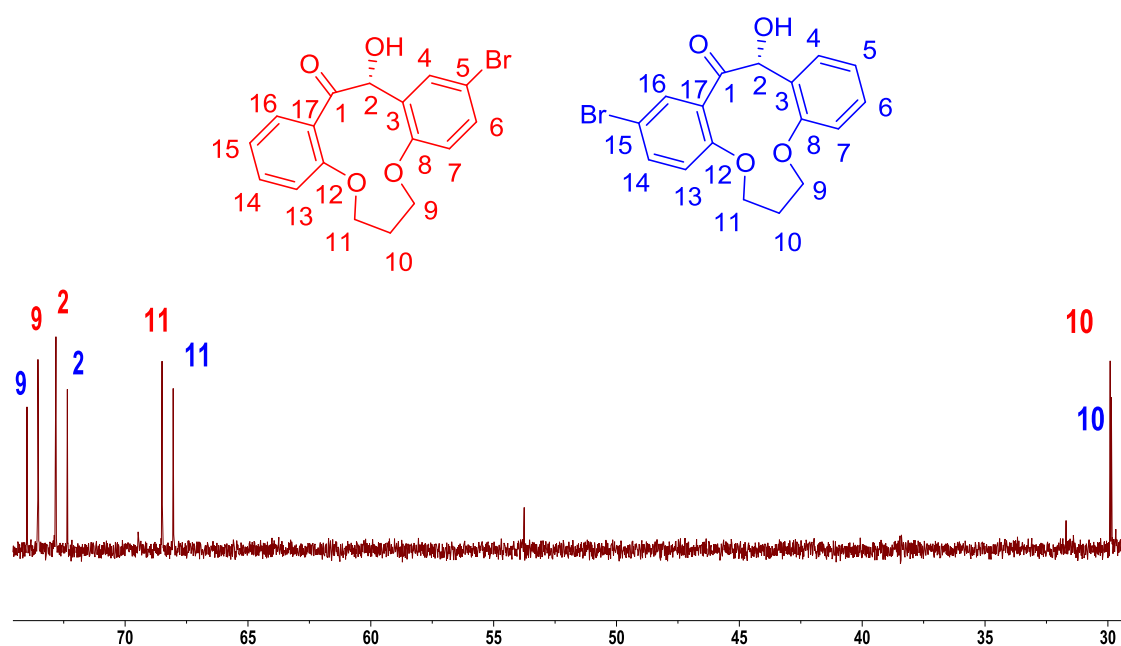
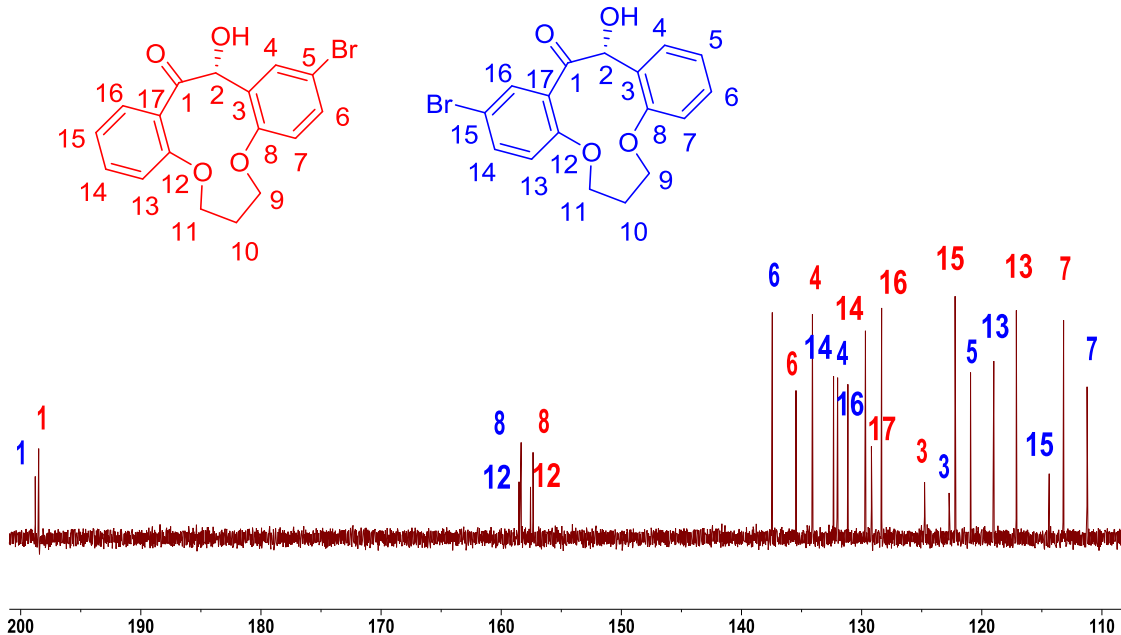


**Figura39S(3.3)** Espectros de RMN( $\text{CDCl}_3$ ) de **72e,f**: a)  $^1\text{H}$ ; b)  $^{13}\text{C}$ ; c) 2D  $^1\text{H}$ - $^1\text{H}$  COSY; d) HSQC y e) HMBC.

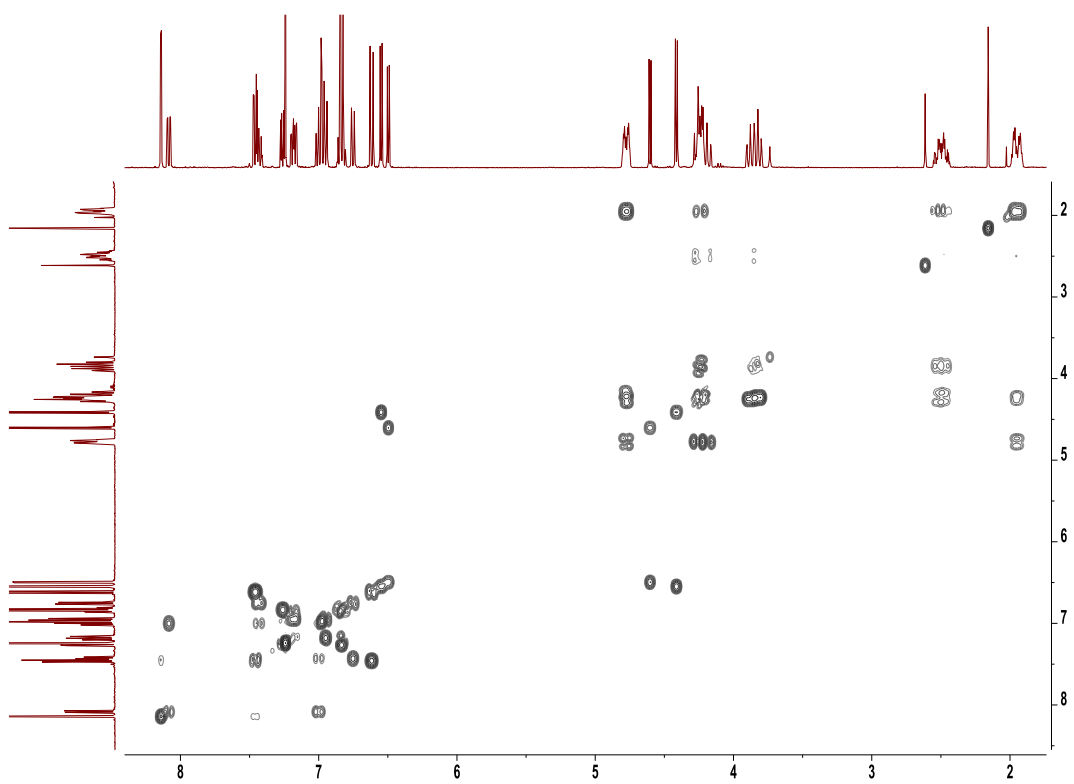
a)



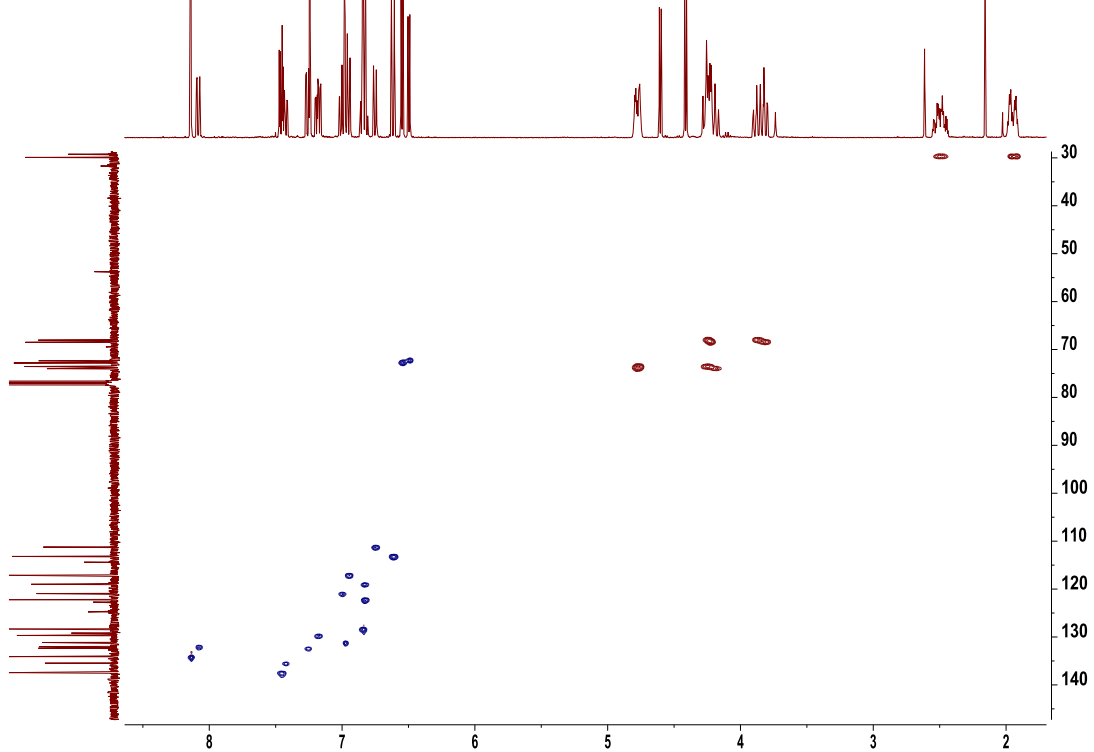




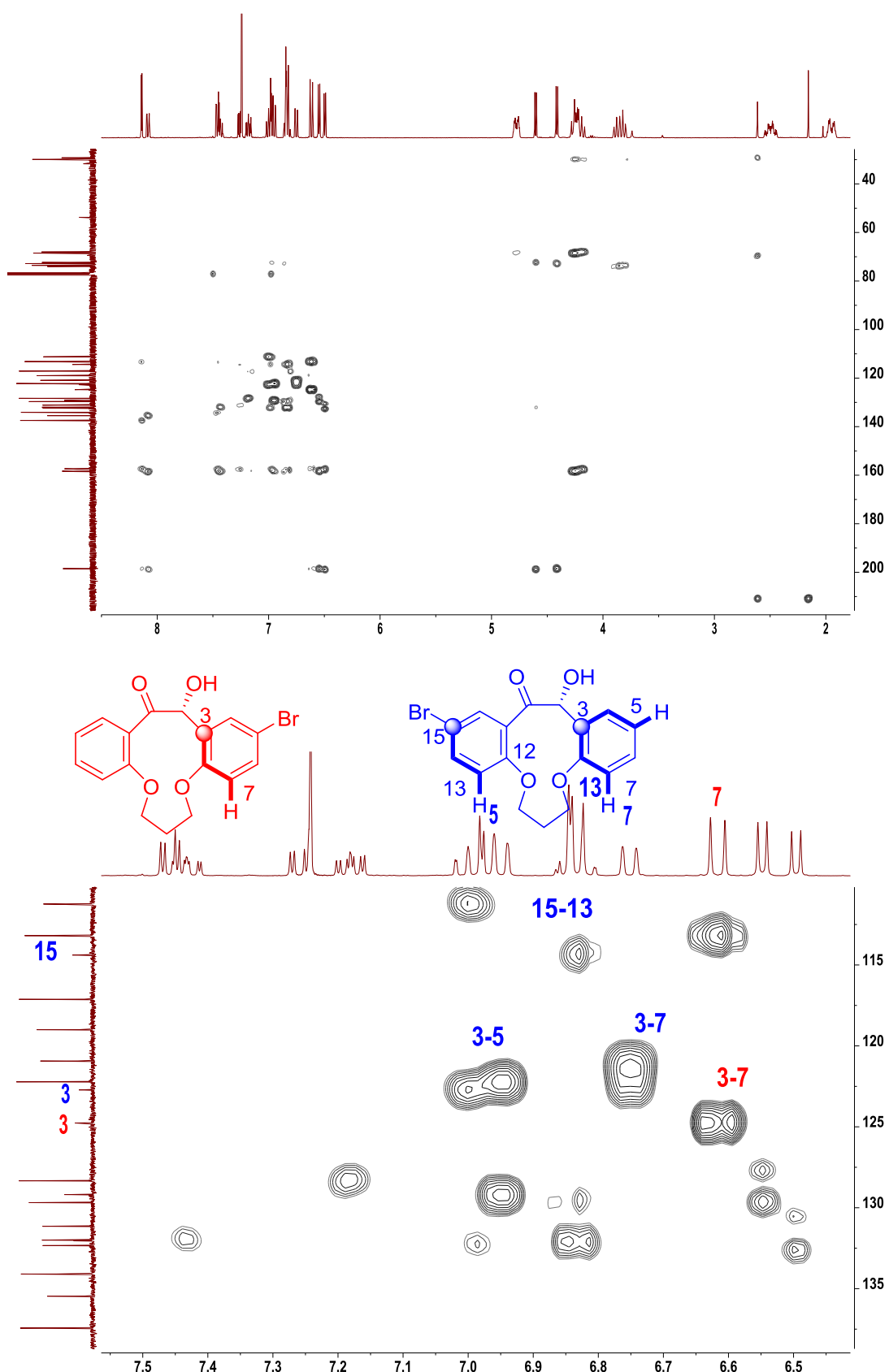
c)



d)

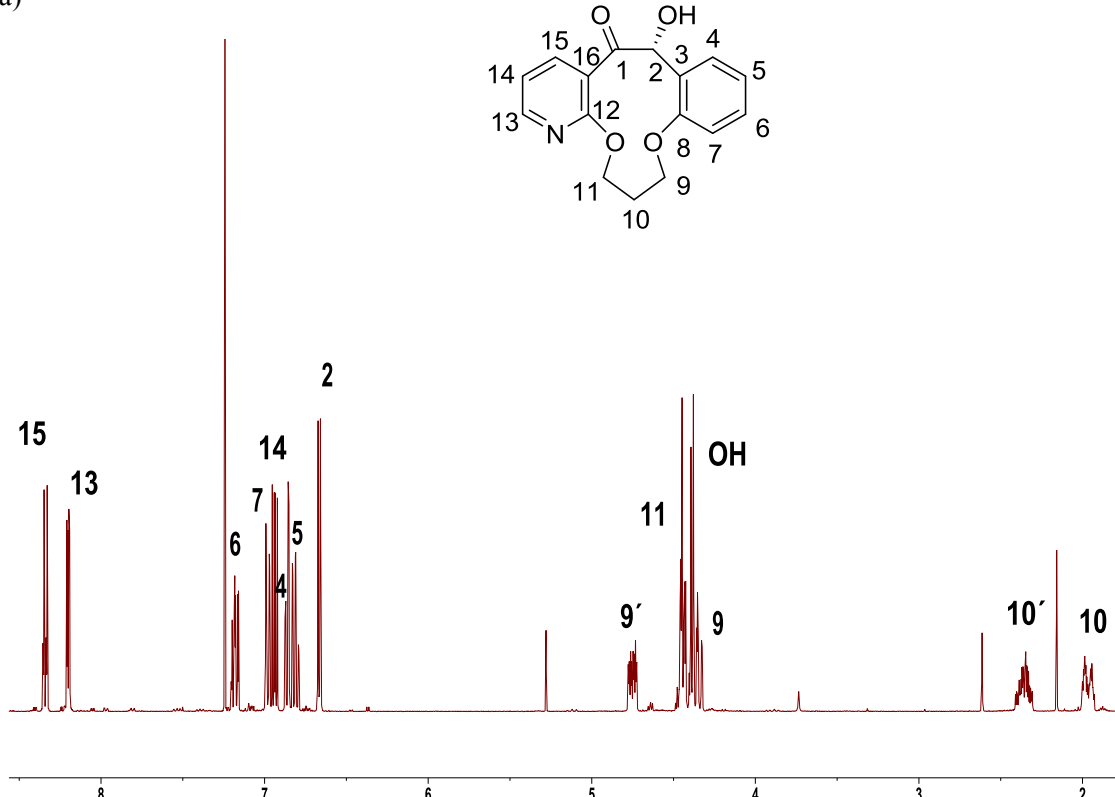


e)

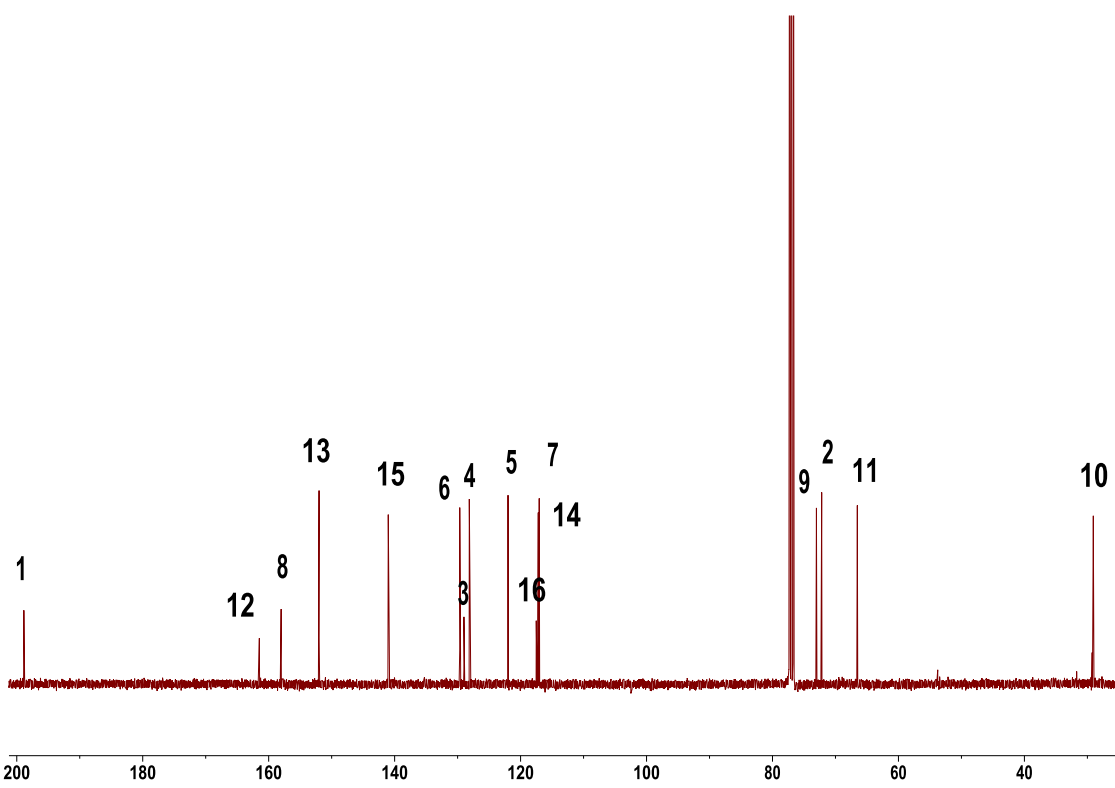


**Figura 40S(3.3)** Espectros de RMN( $\text{CDCl}_3$ ) de **73e**: a)  $^1\text{H}$ ; b)  $^{13}\text{C}$ ; c) 2D  $^1\text{H}$ - $^1\text{H}$  COSY; d) HSQC y e) HMBC.

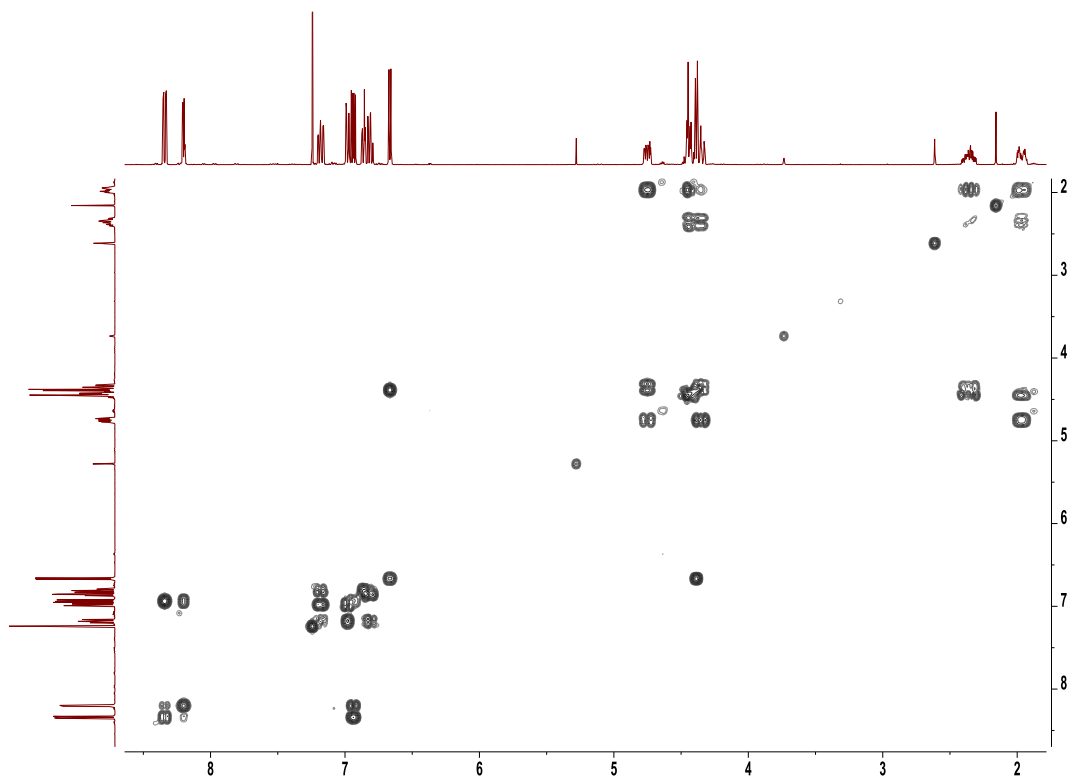
a)



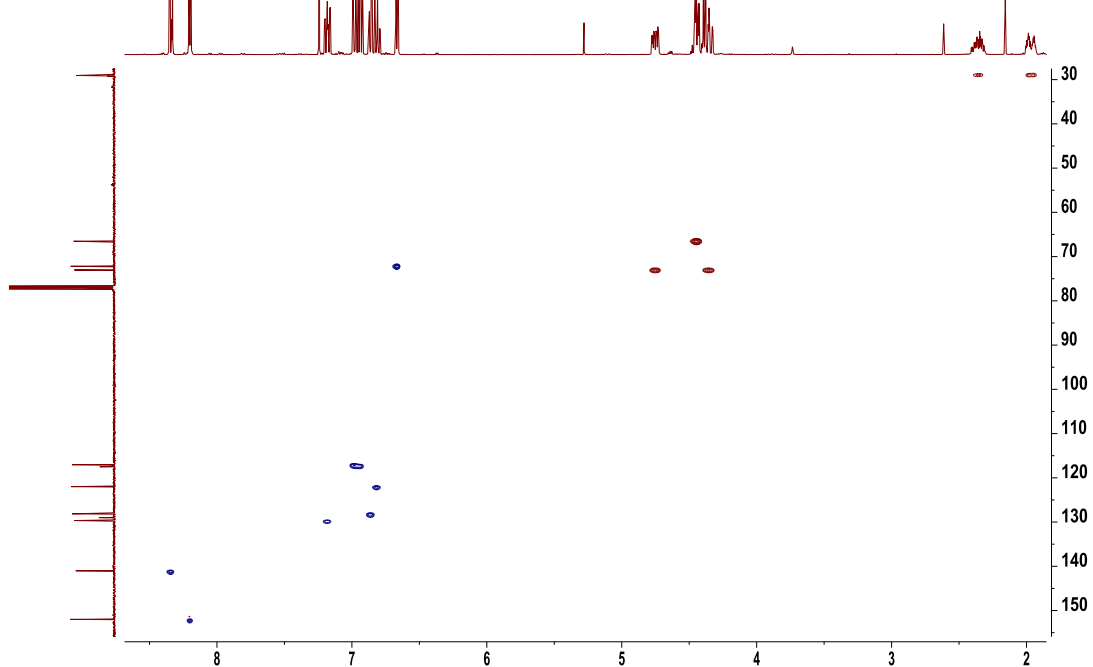
b)



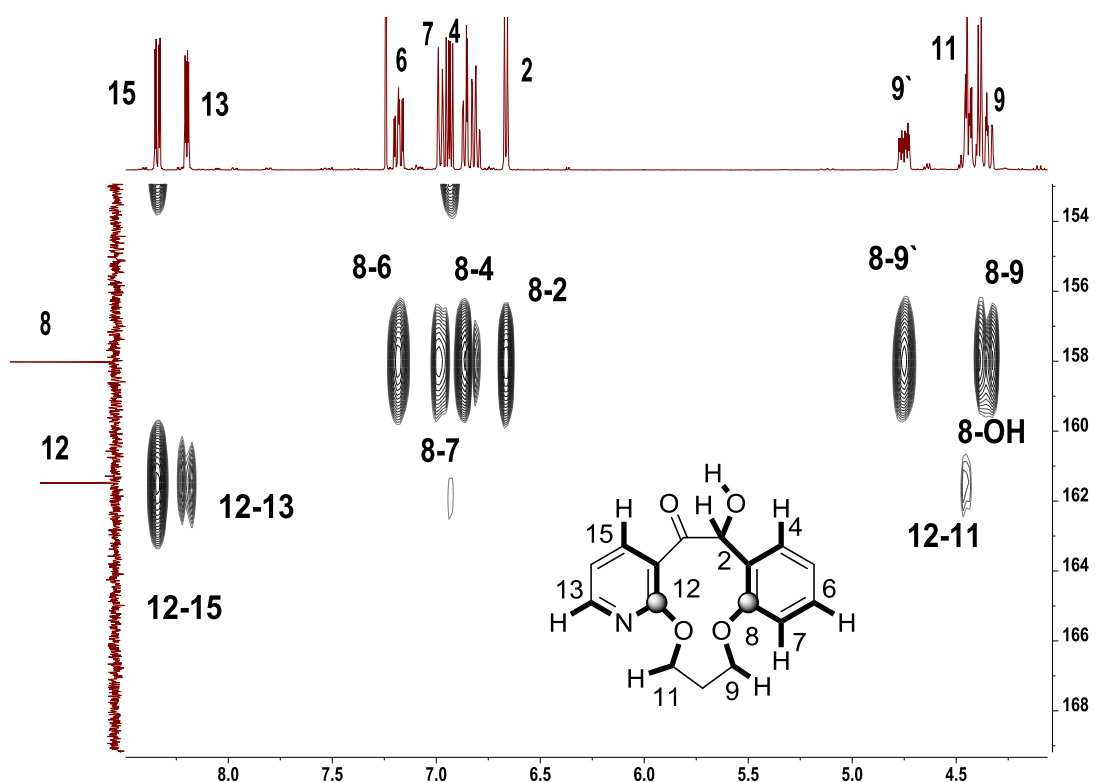
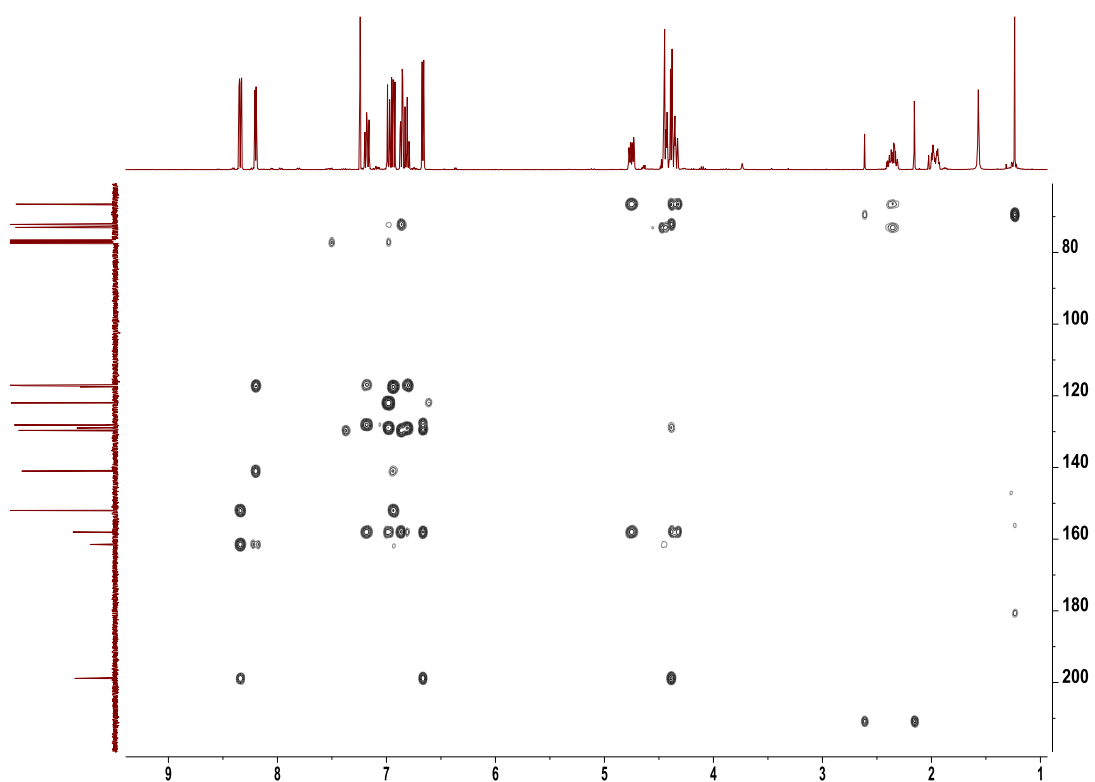
c)

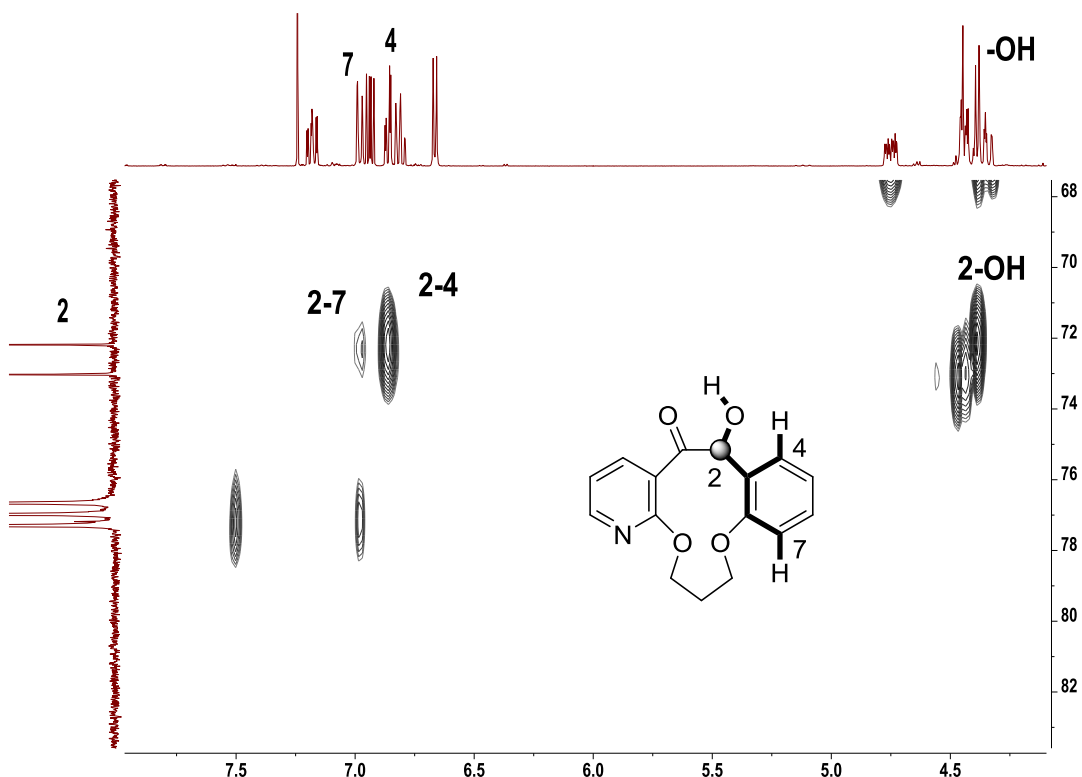
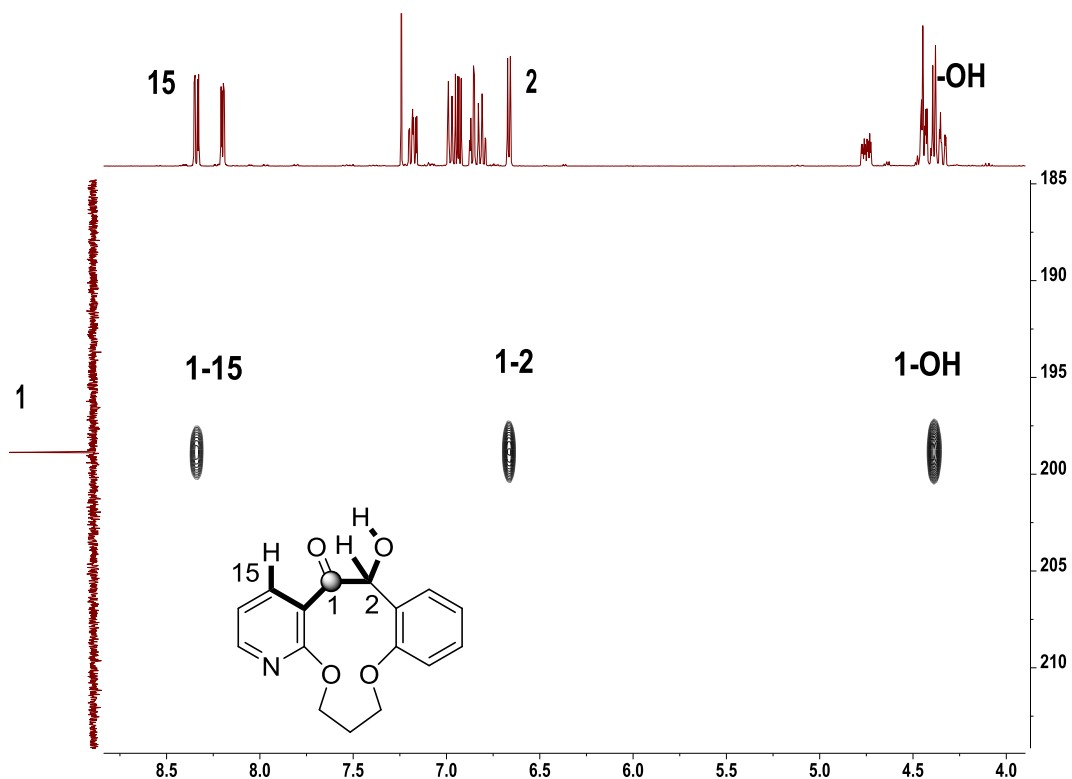


d)



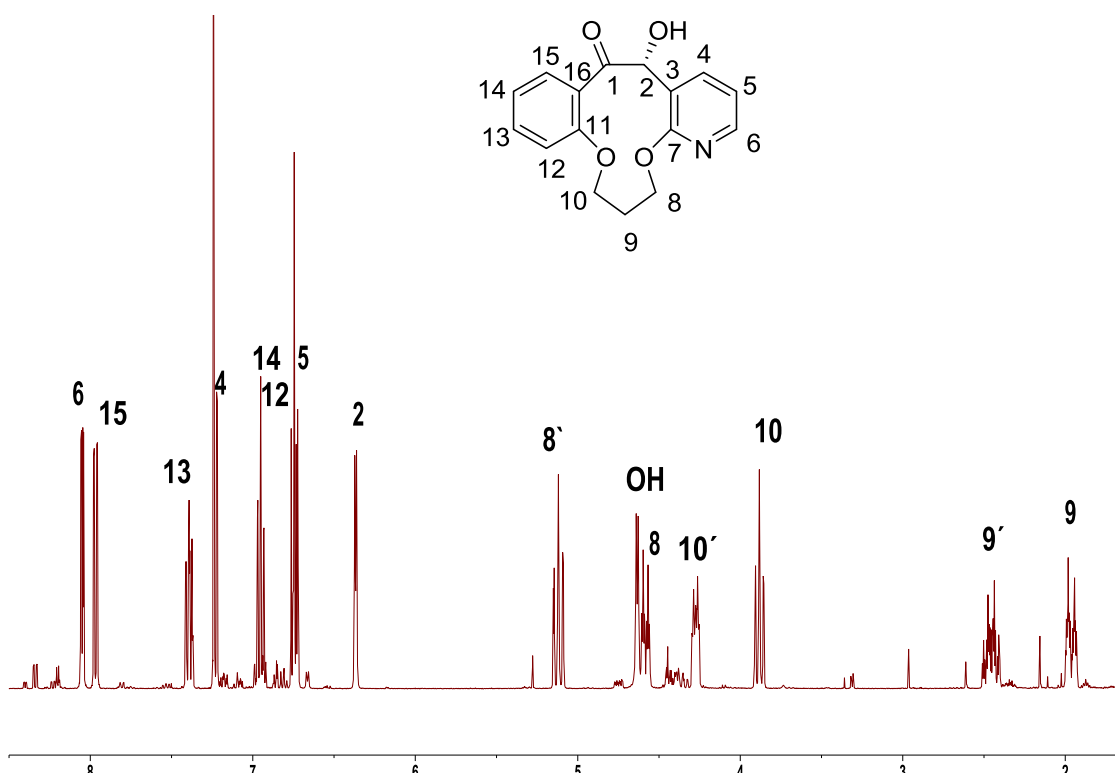
e)



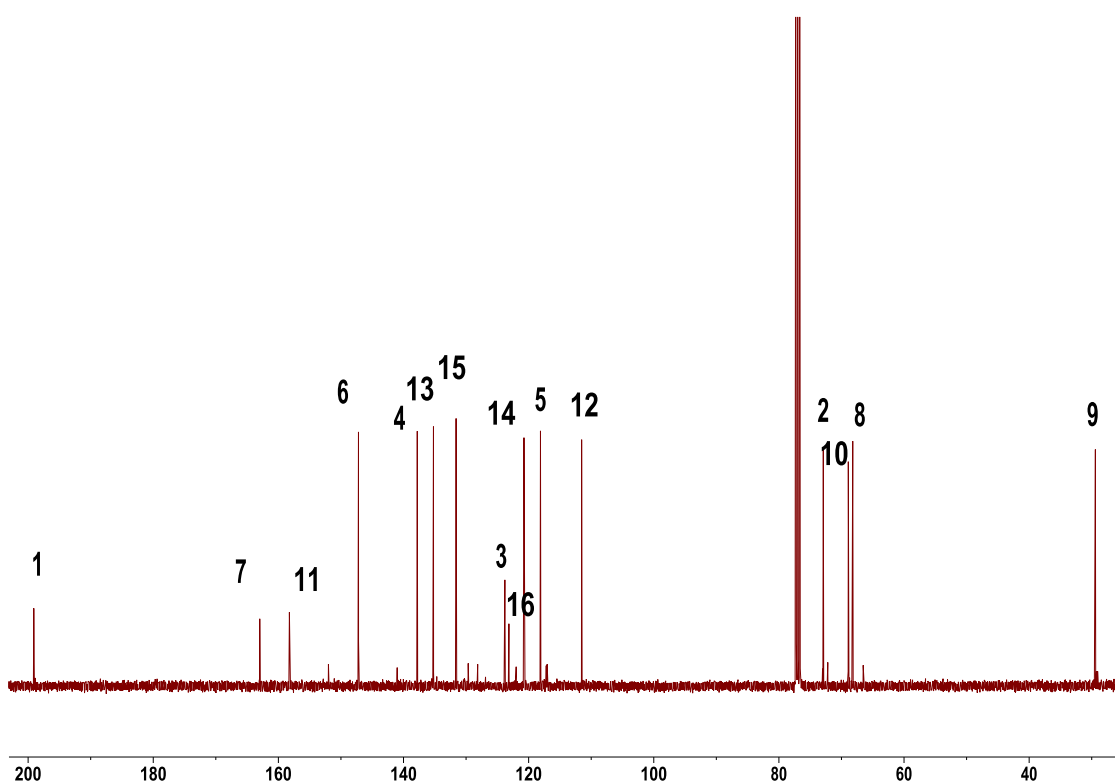


**Figura 41S(3.3)** Espectros de RMN( $\text{CDCl}_3$ ) de **73f**: a)  $^1\text{H}$ ; b)  $^{13}\text{C}$ ; c) 2D  $^1\text{H}$ - $^1\text{H}$  COSY; d) HSQC y e) HMBC.

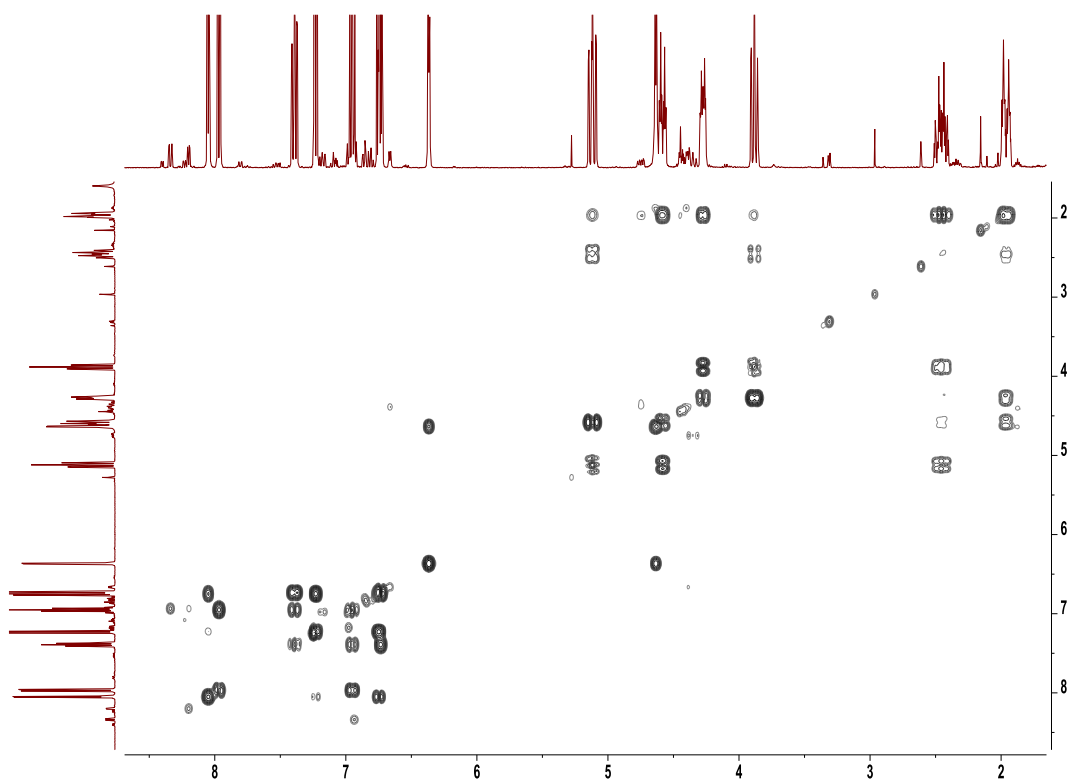
a)



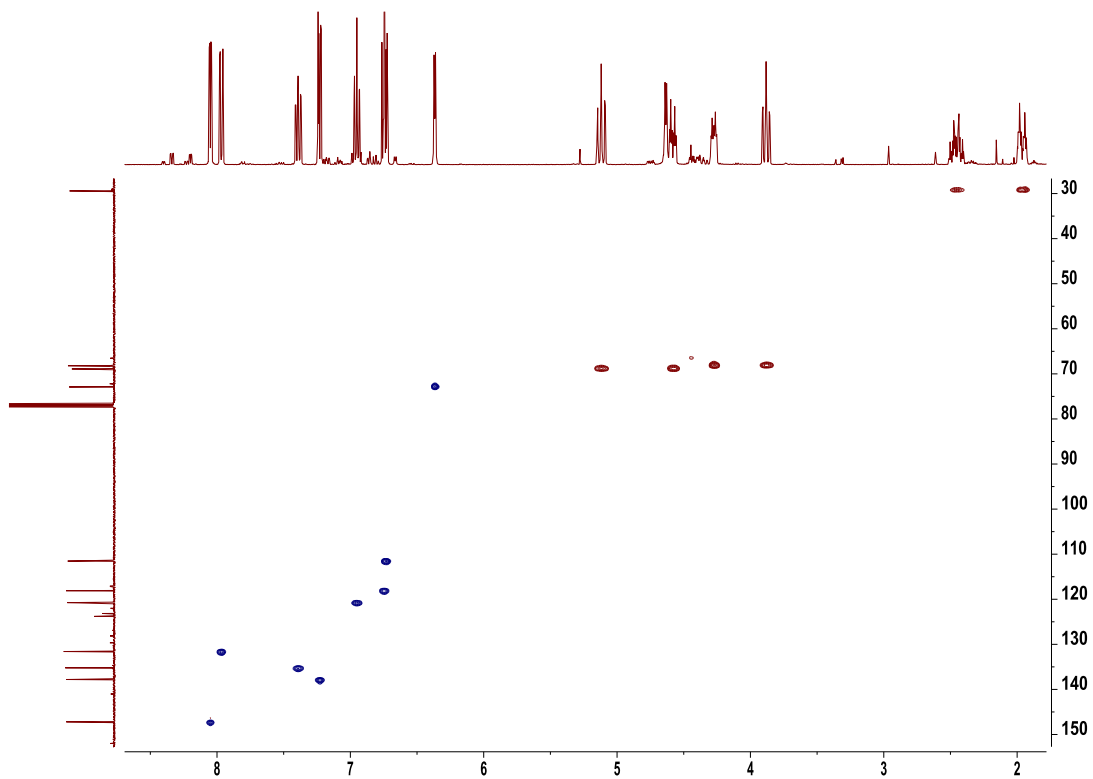
b)



c)



d)



e)

